المدخل لتحليل الأبعاد الثلاثة لحركة جسم الإنسان في المجال الرياضي

دكتور عادل عبد البصير على

مركز الكتاب للنشر

حمُّوقُ الطبع محمُوظة

الطبعة الأولى ١٩٩٨



مصر الجديدة: ٢١ شارع الخليفة المأمون - القاهرة ت: ٢٩٠٦٢٥٠ - فاكس: ٢٩٠٦٢٥٠ مدينة نصر: ٧١ شارع ابن النفيس - المنطقة السادسة - ت: ٢٧٢٣٩٨

إهداء

إلى المهتمين بالميكانيكا الحيوية في مجال التربية الرياضية والرياضة.. من دارسين ومدرسين ومدربين الى زوجتى وأبنائي الى كل من ساهم في إخراج هذا العمل إلى حيز الوجود



تقدير

منذ وقت قريب، فتن العلماء بحركة جسم الانسان، ويؤكد ذلك تقرير كل من اريستوتل Arristotle، وليونارد دافينش Leonardo Davinci.

وفى بداية القرن العشرين اكتشف كل من مارى Mary، مايوبريدج -Muy bridge، براون Broun، فيشر Fisher طرق فنية جديدة لدراسة الحركة.

وفى سنة (١٩٥٠م) أتاح ظهور السرعة العالية للتصوير، وإمكانات الحساب، دائرة أفق جديدة لدراسة الأوضاع العادية لجسم الإنسان والخطوة المبتورة كما فى بيوميكانيكية الرياضة ودراسة الإصابات.

كما أن التقدم العظيم في حل الزمن الحقيقي للبيانات أدى إلى انفجار للإمكانات في هذا المجال.

لذا فإن هذا المؤلف يسلط الأضواء على حركة جسم الإنسان، ولماذا يركز على الأبعاد الثلاثة ؟

وبالتأكيد فإن تحديث التطبيق العلمى للبيانات التى يمتلكها، أتاح الفرصة وشجع دراسة الأبعاد الثلاثة، ومع ذلك قدرة قياس الأبعاد الثلاثة للحركة لم تعطينا آلياً القدرة على التحليل أو أى رؤية لصلاحية القياسات.

يُسهل التحليل في مستويين Biplanar analysis تسلسل التحليل في اتجاهين الأهداف الحركة في مستويات متنوعة (المستوى السهمي Sagittal)، (المستوى الأمامي Frantal Plane)، (المستوى الأمامي Frantal Plane)، وهكذا) ولكن في الحقيقة تحليل الأبعاد الثلاثة يضع في الحسبان جميع مرفولوچية وعدم انتظام جسم الإنسان وحركاته المعقدة، والمتعددة الاتجاهات.

وهدفنا الاساسى فى هذا المرجع عرض فن تحليل الأبعاد الثلاثة للذين . يعملون فى مجال دراسة حركة جسم الإنسان وبخاصة الباحثون فى مجال الإنشطة الرياضية والذين يرغبون فى فهم مفاهيم خطوط هذا النوع من التحليل، وبخاصة المدرس، والمدرب، وطلاب الدراسات العليا، ومرحلة البكالوريوس فى مجال التربية الرياضية والرياضة، والذين سيجدون فى هذا الكتاب بغيتهم وسوف يستطيعون الاستفادة من محتوياته.

ويعتبر هذا الكتاب مرجع فنى للمجال العلمى للميكانيكا الحيوية فى الحركات الرياضية، ويعرض كل من الإمكانات ووضع النواة لتحليل الأبعاد الثلاثة لحركة جسم الإنسان.

ويحتوى كل جزء على الكثير من الأجزاء الفنية للحصول على انتاج التحليل ذو الثلاثة أبعاد.

وقد راعيت أن يشتمل هذا الكتاب على أربعة أبواب يمكن الاسترشاد بها بحرية.

الباب الأول: ويعرض اختذال وتنسيق البيانات وجاءت في ثلاثة فصول، الفصل الأول احتوى على تجهيزات الأبعاد الثلاثة، تحليل حركة الأعضاء، الجينيوميتر. والفضل الثاني اشتمل على الكهرومغناطيس والإحساسات الصوتية، وإعادة بناء التصوير المساحى. والفصل الثالث اشتمل على تقدير المقوة الديناميكية، والاستخلاصات والملخص ومراجع الباب الأول.

أما الباب الثانى: فيعرض قواعد إعادة بناء الأبعاد الثلاثة وجاءت فى ثلاث فصول، الفصل الأول احتوى على نظم الإحداثيات الفراغية، تكنيك إعادة البناء، الكاميرا الثابتة، التكنيك الكلاسيكي البناء، التكنيكات المتداخلة لإعادة البناء، الفصل الثالث اشتمل على إقلال خطأ إعادة تركيب الإحداثيات، أنواع الكاميرات وتشويش العدسة، فنيات إعادة البناء، المراجع الخاصة بالباب الثاني.

كما يعرض الباب الثالث: الإجراءات الأساسية لتصوير الأبعاد الثلاثة بالفيديو، واشتمل على ثلاثة فصول، الفصل الأول يعرض تقويم السيطرة على البيانات والعمليات، كثرة التضليل في الحساب، عامل التحكم الأفضل،

فى حين اشتمل الفصل الثانى على اشتراكات البرامج «الغلق ـ الرفع»، تطور نظم البرامج، أما الفصل الثالث فيعرض كاميرات الفيديو، الفيديو ذو السرعة العالية، الاستنتاجات والتنبؤ، المراجع الخاصة بالباب الثالث.

ويعرض الباب الرابع: النظم التي تعتمد على وسائل الالكترونية البصرية وجاء في ثلاثة فصول، الفصل الأول يحتوى على المكونات الرئيسية لنظام قياس الأبعاد الثلاثة، العلامات المباشرة وغير المباشرة، أنظمة صمامات الإضاءة الثنائية، العلامات ذات العواكس الخلفية (الارتجاعية)، الفصل الثاني يحتوى على أجهزة الرصد الموجهة وغير الموجهة، توليف جهاز الرصد، الكاشف عن العلامة، الكشف المبدئي، وأسلوب معاملة الإشارة، مستوى الحاسب الآلي، المعاملة الأساسية، والفصل الثالث اشتمل على عملية إعادة بناء مركبات الأبعاد الثلاثة، تقسيم نظم قياس الحركة للأبعاد الثلاثة، الخلاصة، مراجع الباب الرابع.

كما يعرض الباب الخامس: والأخير تطبيقات التحليل ذو الأبعاد الثلاثة في الانشطة الرياضية، وجاء في ثلاثة فصول، الفصل الأول يحتوى على التنس، والثاني يحتوى على التزحلق على الماء، والفصل الثالث يحتوى على القفز بالزانة، تنس الطاولة وحدود انتشار تحليل الأبعاد الثلاثة مستقبلاً، ومراجع الباب الرابع. كما تم تدعيم كل فصل بالرسومات التوضيحية.

وفى النهاية أتمنى أن يستفيد كل من القارئ والمتخصص فى مجال الميكانيكا الحيوية فى مجال الحركات الرياضية من هذا الكتاب.

والله ولى التوفيق

المؤلف

أ.د.عادل عبد البصير على

(144)

المحتويات

المحتوتات				
م الصفحة	الموضوع			
ţ	تقديم			
ز	قائمة المحتويات			
ی	قائمة الجداول			
. 4	قائمة الأشكال			
	البابالأول			
	اختزال وتنسيق البيانات			
40	الفصل الأول :			
77	أولاً: تجهيزات الأبعاد الثلاثة			
**	ثانياً: تحليل حركة الأعضاء			
۳۱	ثالثاً: المچينيوميتر			
40	الفصل الثاني :			
٣٧	أولأ: الكهرومغناطيسي والاحساسات الصوتية			
٣٩	ثانياً: اعادة تركيب التصوير المسامى			
٤٥	الفصل الثالث :			
٤٧	أولاً: مقياس التسارع			
٤٩	ثانياً: تقدير القوة الديناميكية			
۲٥	ثالثاً: الاستخلاصات والملخص ـ المراجع			
	البابالثاني			
	قواعد إعادة بناء الأبعاد الثلاثة			
٥٧	الفصل الأول :			
11	أولاً: نظم الإحداثيات الفراغية			
٦٣	ثانياً: تكنيك إعادة التركيب			
٦٣	ثالثاً: الكاميرا الثابتة			

المحتوبات

~i=9-40₁		
رقم الصفحة	الموضوع	
٦٧	الفصل الثاني :	
٦٩	التكنيك الكلاسكي لإعادة التركيب	
٧٢	التكنيكات المتداخلة لإعادة التركيب	
VV	الفصل الثالث :	
v 9	إقلال خطأ إعادة تركيب الإحداثيات	
٨٥	انواع الكاميرات وتشويش العدسة	
AV	فنيات اعادة التركيب	
90	المراجع	
	البابالثالث الاحمامات الأساس قانضاء	

الباب الثالث الإجراءات الأساسية لنظم تصوير الأبعاد الثلاثة بالقيديو

1 - 1	الفصل الأول:
١٠٤	تقويم السيطرة على البيانات والعمليات
1.0	كثرة التقليل في الحسابات
7 - 1	عامل التحكم الأفضل
١.٧	الفصل الثانى :
١ . ٩	تطبيقات البرامج «الغلق والرفع»
1 - 9	مكونات الحاسب الآلى الداخلية ونظام تطويرها
111	الفصل الثالث :
115	كاميرات اليديو
110	الفيديو و السرعة العالية
188	الاستتنتاجات والتنبؤ
188	المراجع

المحتويات

رقم الصفحة

الموضوع

البابالرابع النظم التى تعتمد على الوسائل الالكترونيـة البصريـة

الفصل الأول :	189
المكونات الرئيسية لنظام قياس الأبعاد الثلاثة	1 2 1
العلامات المباشرة وغير المباشرة	121
انظمة صمامات الإضاءة الثنائية	184
العلامات ذات العواكس الإرتجاعية	1 & &
الفصل الثاني :	124
أجهزة الرصد الموجهة وغير الموجهة	1 2 9
توليف جهاز الرصد	10-
الكاشف عن العلامة	101
الكشف المبدئي	101
أسلوب معاملة الإشارة	101
مستوى الحاسب الآلى	100
المعاملة الأساسية	107
الفصل الثالث :	171
طريقة إعادة تركيب الأبعاد الثلاثة	751
تقسيم نظم قياسي الحركة للأبعاد الثلاثة	177
الخلاصة	177
الفصل الرابع :	۱۷۳
أساليب التهذيب والتفريق المطبقة على الأبعاد الثلاثة	110
المراجع	7 · 1

المحتويات

رقم الصفحة

الموضوع

الباب الخامس تطبيقات تحليل الأبعاد الثلاثة في الأنشطة الرياضية

الفصل الأول :	Y'- 9
قواعد ضربات التنس	711
الفصل الثأنى :	717
الانزلاق على الماء	719
الفصل الثالث :	777
القفز بالزانة	770
وتنس الطاولة	777
الفصل الرابع :	700
تسجيل الزمان الفراغى فى تنس الطاولة	777
الفصل الخامس :	7 £ 1
حدود انتشار الأبعاد الثلاثة مستقبلا	724
المراجع	Y & V
المعجم	701

قائمة الجداول

رقم الصفحة	عنوان الجداول	رقم الجدول
۸١	المتوسط الحسابي، الانحراف المعياري، الخطأ	(1)
۸۳	المطلق، خطأ الجذر التربيعي للمتوسط الحسابي.	
X1	المتوسط الحسابي، الخطأ المطلق، وقيم خطأ الجذر	(٢)
	التربيعي للمتوسط (RMS) باعتبارها كنسبة	
100	مئوية لاختلاف المسافات	
٩٢	الخطأ المطلق (الانحراف المعياري) لكل من	(٣)
	العلامات المشوشة المعالم	
٩٣	الخطأ المطلق (الانحراف المعياري) في إحداثيات	(٤)
	علامات الهدف.	
710	الفترات الزمنية بين تسلسل أوضاع المضرب	(0)
7771	عناصر المصفوفة M والمتجه H	(٢)

رقم الصفح	عنوان الشكل	رقم الشكل
44	تحديد درجات الحرية الستة لأى جسم صلب فى الفراغ باستخدام الثلاث معلمات الانتقالية (s,y,x) لتحديد الحركة والثلاث معلمات الدورانية ,Hy, Hx, Hz لتحديد الاتجاه.	(1)
٣١	 أ - توصیل الجینیومیتر بالساق والفخذ لقیاس دوران الرکبة (ب) الاشتقاق الدائری للمقیاس الجهد الکهربی: V₁ یدل علی التردد الکهربی المدخل، V₀ یدل علی مخرجات الجهد الکهربی. 	(٢)
٤٠	عرض مدخل التصوير المساحى ذو البعدين، وضع الصورة على كاشف الكاميرا يعطى عن طريق احداثى مفرد U. نقطة التقاطع للخطين، وكل مسار خلال صورة الكاميرا وبعدها البؤرى، نتائج إجمالى إحداثيات العلامات Y _A , X _A	(٣)
٤٣	عرض نظام مجموعة كامرتين ومعايرة مكعب فى مركز رؤية الجسم.	()
٤٧	(a) الوصف الخارجي للاسس العلمية لمقياس التسارع، عندما يتسارع الجسم (بعجلة a) يشير السهم إلى الإتجاه تتصل الكتلة الصغيرة بعارضة التسارع وتسبب الحراف يقاس عن طريق ناقل حساسية (مقاومة الإجهاد أو مقياس مرونة السوائل الالكترونية - (b) مجموعة مقياس التسارع الثلاثي المحاور.	(0)

رقم الصفحة	عنوان الشكل	رقم الشكل
٦١	النموذج التخطيطى لحركة مشى الفرد من اليمين إلى الشمال، أصل (منشأ) نظم الإحداثيات يمكن وضعه عند أى نقطة متداخلة فى المعمل. وتحدد المحاور تبعا قاعدة اليد اليمنى. والتسلسل العمودى والاتجاه يتبع المحور \mathbf{Z},\mathbf{Y}_2 ويكون المحور \mathbf{X} فى الاتجاه المتعامد على المستوى \mathbf{Y}_2	(٢)
٦٢	نظام الأربعة كاميرات عندما تحدد صورة جميع علامات الجسم فوق نظام توافق كاميرات التصوير ويرمز له بالرمز (CCS) على بؤرة عدسة كل كاميرا.	(V)
٦٤	متطلبات تصوير الأبعاد الثلاثة في حالة الخط المستقيم عن طريق علامات مفاصل الفخذ والركبة ورسخ القدم C, B, A ومطابقتها عند المركز البؤرى لعدسة كاميرا التصوير.	(A)
٦٥	عرض حالة المستوى الواحد والتى وضعت فيها علامات الجسم فى المستوى المشترك وشكلت عن طريق تطابق أوضاع التصوير والمركز البؤرى لعدسة كل كاميرا.	(٩)
V -	الخطوات الأساسية للتصوير المساحى المجسم من خلال توازى المحور البصرى فى كل منها، الكاميرا الأساسية ١,٢٠ متر والبعد البؤرى للعدسة ٣٠٠. متر على استقامة واحدة، وتم التحكم فى الإحداثيات، وجميع الاتجاهات قيست بالمتر.	(1.)

رقم الصفحة	عنوان الشكل	رقم الشكل
V£	الرسم التخطيطي لمشى فرد من الشمال إلى اليمين عند النظر في المستوى السهمي باعتباره المستوى العام لاتجاه التسلسل، (b) المستوى الأمامي (انظر الصفحة التالية) (c) المستوى الأفقى (انظر الصفحة التالية).	(11)
77	رسم تخطیطی للصور المتباعدة لشخص یسیر من الشمال إلی الیمین بالنظر فی (a) المستوی السهمی باعتباره المستوی العام لاتجاه التسلسل، (b) المستوی الأفقی.	(17)
۸۳	علاقة النسب المثلثية المتشابهة بين الأوضاع المختلفة للكاميرا.	(17)
۸٩	مقياس (a) تساوى القطر، (b) تساوى محيط الدائرة وتصحيح الاستدارة.	(11)
9.7	انتشار الأخطاء الدالة للخطوات المختلفة المتبعة للحصول على إعادة تركيب الأبعاد الثلاثة.	(10)
1.0	النموذج التخطيطي للصور من التحليل الآلي للأبعاد الثلاثة لمرجحة الجولف باستخدام كاميرا فيديو سرعتها ۲۰۰ كادر في الثانية.	(17)
111	شطر صورة كاميرا الفيديو السريعة وشاشة العرض ١٨٠ هـ . ت.	(1V)

رقم الصفحة	عنوان الشكل	رقم الشكل
174	شطر أشعة متوسط المراكز فى الأبعاد الثلاثة فى الفراغ من الكاميرا.	(۱۸)
157	التركيب العام لمحلل الحركة في الأبعاد الثلاثة	(14)
1	تأثير الوضع النسبي بين أجهزة الإحساس، و(a) العلامات المباشرة، (b) العلامات غير المباشرة.	(۲.)
10-	تصفح شفرة الكادر والخط الكهربى لإشارة الفيديو. ترد أبيض وأسود إلى مستويات تردد التيار الكهربى، ويرد الفراغ إلى فترات زمنية	(٢١)
101	الكشف المبدىء	(77)
108	نظام الحساب	(77)
100	الكشف عن العلامات الصغيرة جدا (أقل من ١ مم) بواسطة جهاز معاملة الصورة الفعلية الذي يعتمد على نظام الحساب بالعلاقات المتبادلة (a) صورة تم تسليط العلامات أو التشويش على الشفاة (b) غير كاشف العلامات عن وجود بقع براقة على الصورة.	(٢٤)
١٥٨	المعاملة الأساسية للبرنامج للحصول على إحداثيات الأبعاد الثلاثة للنقاط السطحية. الصندوق المزدوج يشير إلى الإجراءات بالضبط لآلات التصوير الموجه، يستخدم صندوق الأبعاد الثلاثة للإجراءات بالضبط في آلات التصوير غير الموجه.	(٢٥)

رقم الصف	عنوان الشكل	رقم الشكل
١٦٠	(b, a) نقطتان خام جمعت عن طریق اختیار شخص یثب من منصة القوی (Tv1) والثانیة (Tv2) والثانیة (Tv2) الزاویة بین الکامیرتین کانت ۷۵° وضع علی الشخص ۱۰ علامات، اثنان علی الرأس، علامة علی کل من الکتف والمرفق ورسغ الید، المقعدة، مدور الفخذ، والرکبة، ورسغ القدم، ورأس العظمة الخامسة بالقدم.	(٢٦)
17.	الرسم التخطيطي للوثب المعروض في شكل (٢٦)، (a)، (b) قذفت على المستوى السهمى بعد إعادة تركيب الأبعاد الثلاثة. من أجل الوضوح ترسم الصور الخطية كل ٥٠ م ث فقط. ومتياس الرسم على الرسم بالميليمتر (مم).	(۲۷)
178	الإسقاط النسبى للنقطة، P، فى مدى اعتراض مجال الصورة، P خلال المركز النسبى، PP, Pc النقطة الرئيسية (إسقاط Pc فى مستوى الصورة) ووضع الجزء Pc - Pp على المحور البؤرى، ويكون طوله البعد البؤرى .	(۲۸)
170	نقطة تقاطع الفراغ تؤدى عن طريق البحث عن أقل مسافة بين وضع S والمرور خلال المركزين النسبيين (PC_2,PC_1) واعتراض نقطة (P_2,P_1) في الكاميرا.	(۲۹)
177	الخطأ فى المسافة ($f{D}$ - $f{D}$)، وتحليها إلى متجهى الحطأ $f{P}_2, f{P}_1$.	(٣·)

رقم الصفحة	عنوان الشكل	رقم الشكل
٨٢١	الانحراف المعياري للخطأ على المحور السهمي (Z) طبقا للانحراف المعياري للخطأ في البعدين للكاميرات.	(٣١)
١٦٩	اختيار الدقة لنظام Elite: (a) قيمة المتوسط (دقة الثبات) لكل وضع للعلامة، ويعرض المحور الأفقى عدد اللفات اللوليبية (مثل عدد الإزاحات في ١٠,٠مم)، (b) الانحراف المعيارى لكل نقطة في الشكل (٣٢ ـ a).	(٣٢)
١٧٨ .	مثال لتشويش الإشارة الضوئية الأولى () والثانية () ، الثالثة () ومشتقات الزمن.	(٣٣)
1.4.1	تكرار الاختيار وحاصل ضربه مسجل "X" : تكرار Nyquist (WN) مسجل "O".	(٣٤)
147	التأثير غير الخطى فى المجال الزمنى وانحراف الطيف. الطيف (a) الإشارة الطيف: (b) الإشارة المشوشة قبل (الخط الثابت) وبعد () الإشارة المربعة فى مجال الزمن.	(٣٥)
141	مثال لأساس وتباين الصناعة على بعد لتقدير البيانات. احتمال معامل الكثافة (PDF) لأفضل تقدير غير خطى (الخط الأسود) والمقوم وقع بالخط المتقطع () وعلامة المتوسط الحقيقى صفر وعلامة المتوسط المقيق.	(*1)

رقم الصف	عنوان الشكل	رقم الشكل
198	أنسب توثيق عام متبادل (،GCV) المؤسس على أقل مرور منخفض أقل مرور للتهذيب من أجل أقل مرور منخفض للتنقية، أقل مرور للإشارة، واختلاف نوع التشويش: (a) البيانات النموذجية، (b) أقوى القيمة الأعلى، (c) أضعف قيمة، (b) أقوى قيمة. والرمز (0) يشير إلى دالة Gcv الحقيقة.	(٣٧)
191	تتائج التهذيب من أجل تزامن المحاور اللولبية من تشويش بيانات العلامة الأرضية (Woltring) واتجاه (SD موضع الأخطاء SD واتجاه الأخطاء SDn للانحراف الأول الذي يتطلب الموقع والسرعة لنقطة الرجوع في جسم متحرك وسرعة الدوران لهذا الجسم (IHA).	(٣٨)
199	(b,a) موضع البيانات، (d, c) بيانات العجلة المشتقة من Dowling (۱۹۸۵) كلا المنحنيين يساراً من تسجيلات غير عملية ويعرض المنحني في الجزء العلوى يمينا وضع تهذيب البيانات عن طريق GCV والمنحني (b) يعرض المشتقة الثانية لتهذيب وضع البيانات.	(٣٩)
Y 1 Y	تعريف مستوى دوران الكرة في انجاه المستوى العمودى بالنسبة لمتجه الكمرة، زاوية متجه اللف جانبا يمينا، ٠٠ : زاوية متجه اللف للقيمة، ٩٠٠: زاوية متجه اللف جانبا يسارأ زاوية متجه اللف ٢٧٠.	(٤٠)

رقم الصفحة	عنوان الشكل	رقم الشكل
715	انتاج الكرة خلال اللف: (a) الكرة بلالف، (b) قمة لف الدوران، (C) الدوران باللف لأسفل، (V_R) سرعة المضرب قبل الاصطدام، (V_R) سرعة الكرة بعد الاصطدام.	(٤١)
718	شكلين لضربة اليد الأمامية Forehand بدون لف الكرة: (a) هـ ـ ليكونت H. Leconte منظر جانبي، (b) ج مكينروي -T. M. C. En منظر جانبي.	(٤٢)
*17	إرسال Y. Noah: (a) المنظر من القمة، (b) المنظر الجانبي، (c) المنظر الخلفي.	(54)
717	فرصة الكرة الملفوقة: (a) مسار التمريرة الساحقة باللف لأعلى يمكن أن تكون متخصصة وأكثر قوة عن مسار التمريرة الساحقة بدون اللف. (d) الضربة الساحقة باللف من أسفل أقصر ارتدادًا من الضربة الساحقة dropshot بدون لف.	({ \ \ \ \ \ \ \ \ \ \ \ \ \ \ \ \ \ \ \
771	منظر من القمة لقطع مسار لاعب التزحلق على الماء.	(٤٥)
771	زاوية متجه سرعته مركز ثقل الكتلة بالنسبة للمستوى الأفقى.	(٤٦)
* * * · · · · · · · · · · · · · · · · ·	الفعل المتداخل للعضو"، والرأس ـ الجذع : C3, - الفعل الكتفين: - R2T - R2L	(٤٧)

رقم الصفحة	عنوان الشكل	رقم الشكل
	R3T - R3L - قوى وعزم مفصلى الفخذين: C3 - مركز ثقل كتلة الجزء: L3 طول الجزء: d3 - مسافة من مركز كتلة العضو ومركز المفاصل.	
779	الفعل الداخلي لنماذج عمليات التحليلات الرقمية.	(£A)
744	(c:a) ثلاث مناظر للقفز بالزانة ٥,٥ متر عن ت.فيجنيرون T. Viqneron	(٤٩)
74.5	(b,a) انسب ارتفاع للقفز بالزانة ٥,٥م للاعب ت.فيجنيرون T. Viqneron	(0·)
744	تزامن العلاقة بين مراحل الحركة ومسار الكرة	(01)
7779	مسار رأس المضرب بين ضربتين أماميتين لاداء ج.ب جاتين (a) J.P. Gatien (a) منظر من القمة ، (b) منظر جانبي، (c) منظر خلفي اتساع زمن مرحلة الدفع للأمام ثابت (٨٠مم).	(07)

الباب الأول اختـزال وتنسيق البيانات Data Capture and Processin

الفصل الأول الفصل الأول

أولاً : جُهيزات الأبعاد الثلاثة ثانياً : خليل حركة الأعضاء ثالثاً : الچينيوميتر

الفصلالأول

أولا: تجهيزات الابعاد الثلاثة Three- dimensional Instrumentation

يصف هذا الفصل التجهيزات المستخدمة في قياسات الأبعاد الثلاثة، ويصف أولاً الاختراعات التي سجلت دورانات المفصل مثل الجينيوميتر Gonometrs والاكتروماچنيتك Electromagnetic والحس الصوتي -Sors ors. ووصف كل اختراع (اكتشاف) باصطلاحاته الأساسية للأجزاء، وأفضلية التحديد كانت لاستخداماته في البيئة الطبية المحيطة به.

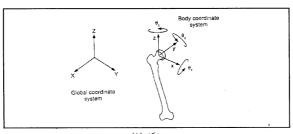
أما إعادة التصوير المساحى Photogrammetric الذى استخدم كمدخل لكل الانظمة الأساسية للكاميرا فيوصف فيما بعد. شرحت اللوغارتم، (الرمز الحسابي) الانتقال الخطى المباشر DLT) Direct Linear Transformation (الرمز الحسابي) الانتقال الخطى المباشر الأجسام الصلبة من الأبعاد الثنائية والاشتقاق الكامل الحاص بكينماتيكية الأجسام الصلبة من الأبعاد الثنائية للأهداف. واخيراً وصف المدخل لمقياس العجلة، والتركيز على فائدته وتخصيصه كتطبيق في دراسات علم الحركة المتصلة بالبيئة المحيطة التي تشمل الجاذبية الأرضية. واشتمل الفصل على وصف الإجراءات لتقدير أحمال المفصل وتقدير تطوير امتلاك ربط المعلومات الكينماتيكية من قياسات كل من الوضع والعجلة.

* * *

ثانيا: تحليل حركة الاعضاء Segmental Kinesiological Analysis

يتكون النظام الهيكلى العضلى Musculoskeletal، من مجموعات من الحلقات المنفصلة، والتى يمكن اعتبارها تقديرياً كأجسام صلبة، ويحتاج وصف ست درجات حرية (DOF). Degrees of Fredom إلى وضع واتجاه كل حلقة فى الفراغ Space. وباعتبار أن عظمة الفخذ The Femur كمثال لذلك عرضت فى شكل (1).

Laboratory لعديد وضعها في الفراغ في النظام الإحداثي المعملي (LCS). Coordinate System ويمكن تحديد (LCS). Coordinate System عن طريق ربطها بنظام إحداثي لأي جسم (BCS). Body Ceordenate System كاملاً عن طريق الوضع الخاص لكل من الاتجاه (X, Y, Z)، ومتابعة دورانه حول محاوره عن طريق مقدار ($\theta_{X}, \theta_{y}, \theta_{y}, \theta_{y}$)، والإحداثيات الستة ($\theta_{X}, \theta_{y}, \theta_{z}$)، والإحداثيات الحرية تعظمة الفخذ، وبالإضافة إلى توحيد تحديد وضعها الفراغي واتجاهها عند أي لحظة زمنية.



شكل (۱) تحديد درجات الحرية الستة لاى جسم صلب فى الفراغ باستخدام الثلاث معلمات الانتقالية (X,Y,X) تحديد الحركة والثلاث معلمات الدورانية (X,Y,X) لتحديد الاتجاه.

هدفت القياسات الحركية إلى الوصف الكمى لحركة أجزاء الجسم فى الفراغ، وحركة المفاصل الرابطة لتلك الأجزاء. ويمكن استخدام النتائج للتحديد الموضوعى الكينماتيكى (تغير الإحداثيات الفراغية مع الزمن) ولحساب القوة والعزم الذى يساعد الحركة (مثل الكينتيكا Kinetics). ويشار إلى كلا المفهومين لدراسة الحركة عند التحليل البيوميكانيكي.

اعتمدت الدراسات الحديثة لحركة جسم الإنسان على ثلاث محددات والتى ترجع إلى نهاية القرن التاسع عشر، عندما ظهرت الثلاث منشورات الرائدة فى الصحف منذ ما يقل عن ١٠ سنوات:

YA =

موضوعية ودقة السيطرة على الحركة. Muybridge, * السيطرة على الحركة. (Marey, 1873 ; Muybridge, 1887)

* قياس القوى بين الجسم المتحرك والبيئة الخارجية المحيطة به (,1873).

* تقريب أجزاء الهيكل عن طريق حلقات صلبة تربطها خلال مجموعات أقل احتكاكاً للمفاصل (Braun & Fischer 1895/1987).

كان المصور الأمريكي (E. Muybridge (1889) أول من استخدم بنجاح عرض التصوير عن طريق استخدام مجموعة من الكاميرات لتحديد أطول مضمار سباق لدراسة تحرك الحصان.

أوضحت الدراسات أن التصوير يمكن استخدامه كأداة للسيطرة على دقة المعلومات اللازمة لتوصيف كينماتيكية أطراف الحيوانات. ولتوضيح عظمة هذا الاكتشاف، موى بريدج أمكنه إثبات أن أى خطوة للحصان، لها مرحلة طيران، عندما تكون جميع أطرافه في الهواء، وبعد ذلك طبق موى بريدج تكنيكه في دراسة حركة جسم الإنسان.

سنة ١٨٨٧م طور E.J. Marey اختلافات تكنيك دراسة رد الفعل الداخلى بين جسم الإنسان والبيئة المحيطة به لحركة أى من أجزاء الجسم.

وباستخدام ناقل الحساسية Pneumatic Sensors وضغط الجزئية بالاتصال بالاختيارات الوحيدة قاس الضغط تحت القدم، وعجلة الرأس، والوضع الخاص للحوض. عن طريق اختيار الزمن والمدى للإشارات، لاحظ أن حركة الحوض خلال الجرى تصل إلى أعلى نقطة فى منحنى المقذوف خلال لحظة الارتكاز (كما يحدث خلال ارتكاز الجسم على رجل واحدة) وليس خلال الطيران أثناء الجرى (مثل عدم اتصال الرجلين بالأرض). وكذلك استنتج أن مرحلة الطيران فى الجرى لا تعتمد فقط على الدفع كاحساس عام للقذف وإنما يجب أن ينظر إلى التحكم فى الهبوط كما فى الوثب العالى.

وأثبت مارى Marey أيضاً طرق التصوير المنتجة عن طريق موى بريدج وبواسطة تعديل تصميم آلة التصوير لكى يستطيع متابعة حركة أى هدف عن طريق إنتاج دوران قرص التصوير، وأمكنه التصوير عند تكرار ١٢هـ.ت (١٤٤٨). وأخيراً طور وحسن أداء أجهزته للتصوير عن طريق إنتاج أول علامات إيجابية كينماتيكية، للخطوط البيضاء المختلفة بين المفاصل الرئيسية لنهايات انعكاس الضوء على مستوى الصورة. لتطوير ثبات الصورة وصلت لنهايات المختلفة الألوان والسوداء لتناسب ملابس الهدف. وصف كل من ويلهيلم براون Otto Fischer ، أوتوفيشر عملية دراسة حركة الإنسان في مجموعة منشورات سنة (١٩٨٥م).

فقد وصلا سلك طويل لإضاءة أجزاء الجسم (مثل الرأس، والعضد، الساعد، والفخذ، الساق، القدم) واستخدما ومضات كهربائية لإنتاج وميض ضوئى قصير، للتصوير فى وقت واحد بأربعة كاميرات. هذا المدخل لإعادة مصدر نظام علامة النشاط فى الوقت الحاضر يستخدم فى كثير من دراسات علم الحركة.

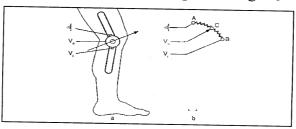
تمكن براون وفيشر من دراسة كل من الاتجاه، واشتقاق الزمن الخاص بأبعاد الأجزاء الثلاثة تحت الدراسة، عن طريق تنسيق إحداثيات الأبعاد الثلاثة للعلامات، واستخدما أسهل الافتراضات لوضع المفاصل، كما استخدما اشتقاق الزمن لتفسير المعادلات الديناميكية لأجزاء الجسم، ومعالجة كل جزء كجسم حر وتوليد أول قيم لقوى المفصل المبذولة في خطوة المشى. وقد أشارا إلى أن تعلم هذه الاجراءات تأخذ حوالي ١٢ ساعة للمجموعة الواحدة تجريبيا، وتزيد عن أكثر من ثلاثة شهور لتحليل البيانات.

* * *

ثالثا: الچنيوميتر Goniometers

الچنيوميتر Goniometers احتراع صمم لقياس الدوران النسبى للمفصل تحت الدراسة.

أسهل أشكال الجنيوميتر هو مقياس الجهد الكهربى المنفرد المحور والموضح فى شكل (٢-أ، ب) خلال قياس قبض الركبة. عند قبض الساق بالنسبة للفخذ، يتحرك الذراع (C) على طول المقاومة (AB)، وبواسطة ذلك يتغير إنتاج مقاومة مقياس الجهد الكهربى، عن طريق عمل التردد الكهربى الثابت Constant Voltage الساقط والمار فى النهايات المثبتة فى المقاومة (Vi) منتج التردد الكهربى (Vo) سوف يتغير، ويغير الممر فى زاوية الثنى (القبض) للركبة. ولوضوح مركز دوران الجنيوميتر يجب أن ينطبق على مركز دوران المفصل لإنتاج القياس الصحيح.



شکل (۲)

أ- توصيل الجينيوميتر بالساق والفخذ لقياس دوران الركبة (ب) الاشتقاق الدائرى للمقياس الجهد الكبرى: Vi يدل على التردد الكهربي المدخل Vo يدل على مخرجات الجهد الكهربي.

يبنى اختلاف التصميم على تجهيز الثنى بمقاومة الاستطالة Strain gauges). هذا إنتاج شركة بننى Pnny وجليز Blackwood, Gwent, UK) Giles). هذا التصميم لا يتطلب تخصيص مركز للمفصل ويمكن يستخدم درجة أو درجتين

من الحرية لكل مفصل، الدراسات التفصيلية لدقته، وموضوعيته، غير مقبولة حتى الآن.

مفاصل الإنسان عادة أكثر تعقيداً من المفصل ذو المحور المنفرد مفصل الركبة كمثال، شكل مساحة الاتصال الصغيرة بين عظمة الفخذ وعظمة قصبة الساق، كونت تركيبة للدحرجة والسلاسة. شكل النتوء المستدير لعظمة الفخذ يؤدى إلى دوران معقد حيث يشتمل على مركبتى التقريب والتبعيد والدوران الداخلي والخارجي، والقبض والبسط.

استخدام الجنيوميتر المنفرد المحور لدراسة دوران الركبة يظهر صعوبتين كبيرتين هما:-

١- تناقض الكلام: تداخل زاوية قياس الدوران عن طريق زاوية تكون
 عمودية على زاوية القياس.

٢- القيود الميكانيكية: تعديل عمل الدوران الزاوى لميكانيكية وصلة الحلقات المتجاورة بالجنيوميتر.

أول صعوبة تظهر من الحركة الصناعية لعمل الچنيوميتر عند تأخر الدوران الزاوى لدوران المرشد لدرجة الحرية.

وكمثال لإمكانية التصنيع، وصف دوران الچنيوميتر في الشكل (٦-١) (قياس انقباض وانبساط الركبة) كنتيجة للدوران الداخلي والخارجي لعظم الشظية بالساق. والصعوبة الثانية تظهر من قصور الچنيوميتر لمتابعة الدوران الحقيقي للمفصل. بالإضافة إلى إعاقة طبيعة الحركة وإدخال القياس الصناعي. يتطلب دقة قياس الدوران الكامل للمفصل أن يقيس الچنيوميتر كل الست درجات حرية المميزة لكل مفصل.

اکتشاف تعدد درجات الحریة وصفت عن طریق لاموریوکس Miller ایزاك Izak وچاکسون Jackson (۱۹۷۷م)، سومیر Sommer ومیلر ۱۹۷۸م)، ایزاك ۱۲۵۸م)، لیویز Lewis، لیو Lew وشمدت ۱۹۸۸م) Schimdt (۱۹۸۸م)، وآخرون. أول تصميم لتنظيم الچنيوميتر الذى امكنه تداخل أكثر من درجة واحدة للحرية أسس على عمل وصل متوازى الاضلاع لنقل الدورانات العمودية إلى مقياس التحكم فى الجهد الكهربي. كل تصميم دخل فيه بعض التخطيط السئ فى الدرجة الخطية والانتقالية بين مركز الدوران اللحظى للمفصل وعند قياس الجهد الكهربي، ولكن يبقى عرض نظام القياس الحساس لتوصيل الجينيوميتر. يستخدم أكثر التصميمات الحالية اتصال متابعة لقياس الجهد الكهربي منفرد المحور، وباتصال داخلي بحلقات صلبة صغيرة. عن طريق الاتصال بنهايتي حلقات الچنيوميتر بحلقات صلبة وباستخدام ست مقاييس للجهد الكهربي، متصلة داخلياً بخمس حلقات صلبة، وبإمكانها إظهار نظام قياس ست درجات حرية. يتطلب كل نظام إجراءات معايرة من أجل ربط المخرجات لكل مقياس جهد كهربي على حدة لكل قصور ذاتي أو لنظام النقاط التشريحية للجسم المرجعية.

هناك أيضاً الدراسات التي وصفت الخطأ البسيط الحادث في نظام القياس (أقل من ١ مم في الانتقال، أقل من أ في الدورات)، لويس وآخرون Lewis (واقل من ١ مم في الانتقال، أقل من أ في الدورات)، لويس وآخرون Hefzy، بوتلر Butler ونويز Noyes (١٩٧٣م)، وهناك بعض الحدود العلمية التي منعت تلك النظم من اكتساب انتشار باستثناء الدراسات الاكلينيكية (الخاصة بالمرضي)، وهي: -

* قيست نسبة دوران المفصل كذلك بنظم لا تسمح باندماج المقياس مباشرة في المعادلات الديناميكية للنظام المتعدد الربط. لذلك تضاف المعلومات التي نحتاجها من أجل الحصول على أحمال المفصل. يسبب تماسك اتصال المجنيوميتر مقاطع المفصل المعرض لميكانيكية القصر الذي يحدد الحركة للأنسجة الناعمة، تعديل امكانية حركة المفصل الطبيعية.

* نظام الچنيوميتر ثقيل (وبعض الوقت صعب) وصعب ترييح مختلف أحجام الأعضاء (الأطراف).

77

* من الصعب التحكم فى المفاصل لأنه يحيط بأكبر مساحة منها (من الأنسجة الناعمة) (مثل المقعدة) أو لأنه يشرك أكثر التركيبات يربط أصغر وصلة بالمنطقة (مثل رسغ القدم والمقعدة).

* هناك تحفظ لانعدام التأثير الخطى ومشاكل عصا الانزلاق، الركل الخلفى، وفى نظام الوصلة الميكانيكية.

 شمقاومات خاصة بالمفاصل المختلفة يجب تطور (مثل چنيوميتر الاطراف السفلية لا يستخدم للأطراف العلوية (الظهر أو الرقبة).

للأسباب السابقة نظم الچنيوميتر استخدمت في البداية من أجل الحصول على دوران بعض المفاصل بصعوبة (غالى الثمن) تقريباً أو من أجل الدراسات التفصيلية لأحد المفاصل بالتحكم في الجلوس في المعمل. الحاجة لقياس دوران المفصل مباشرة مع عنصر عزم الحلقة الميكانيكية انتج بواسطة چنيوميتر يقود تعاقب تطوير طرق التوليد الكهربي مثل: الاكتروماغناطيس -Electro
محرصاند الطاقة الصوتي (السمعي) Acoustic Transduition

* * *

الفصلالثاني

أولاً: الكهرومغناطيس والإحساسات الصوتية (السمعية) ثانياً : إعادة تركيب التصوير المسامى



الفصلالثاني

أولا: الكمرومغناطيس والإحساسات الصوتية (السمعية) Electromagnatic and Acoustic Sensors

التطبيقات البيوميكانيكية للقياس الكهرومغناطيس لثلاث درجات حرية لحركة الجسم الصلب وصفه آن وجاكوبسين An Jacosen، تشاو مصلا المركة الجسم الصلب وصفه آن وجاكوبسين An Jacosen، تشاو مصلا المركة وأسس اختراعهما على وحدتين صغيرتين وحدة تستخدم كمصدر والأخرى تستخدم كإحساس، وربطا كلاهما بوحدة نظام إلكترونية. يحتوى كل من المصدر والإحساس على ثلاث مجموعات من الملفات الكهربائية المتعامدة. عن طريق إدخال كل ملف كهربى في المصدر مع إشارة مغناطيسية منخفضة بتردد متقطع، وبطارية الثلاث حالات تشحن من المصدر كريج منخفضة بتردد متقطع، وبطارية الثلاث متجهات الخطية الحره التي يمكن قياسها بالإحساس حيث يحتوى على معلومات تميز بين الوضع النسبى وتوجيه الإحساس بشأن المصدر. اللوغارتم ضرورى لتحديد المتغيرات الكينماتيكية المؤسسة على الخط الصغير لزاوية الدوران تقريباً لاعتراض مسار الأهداف أعلى الفترة الزمنية القصيرة (كما يبين تعيين النقاط)

آن وآخرون (١٩٨٨م) أوجدوا اختراع دقيق يعرض على شاشة الحركة العامة للجسم الصلب حول مفصل منفرد. بينما استخدام نظام حركة شاشة العرض متعدد العدد للأجسام الصلبة ربما تتحدد بعوامل مختلفة:

- * تداخل الاكترومغناطيس من اشياء معدنية فى أو قرب الجهاز الحسى يلوى الإشارة المخرجة.
- التردد النسبى البسيط والبطئ (٦٠هـ.ت)، الوصل خلال الكينماتيكا
 الخطية تقريباً أدى إلى إمكانية تعقب حدود سرعة دوران المفاصل بدقة.
- العدد الصغير من الحساسية (الأقصى أربع حساسية ومصدرين) يحدد عدد المفاصل التي يمكن تعقبها.
- شدى الزاوية فى أى درجة حرية دورانية حددت بزاوية ١٨٠٠. طور
 نظام مشابه بواسطة الجمعية المسيحية التكنولوچية.

أقر بعض المخترعين الإحساسات الصوتية (السمعية) في دراسة كينماتيكية Andrews & الأبعاد الثلاثة لمفاصل جسم الإنسان كرسغ اليد اندريوز، يوم & Siegler, Chen, الإبعاد الثلاثة لمفاصل جسم الإنسان كرسغ القدم سيجلر، تشين، شنيك (١٩٧٥) Youm (١٩٩٠) كالركبة كوين، موت Quinn, Mote (١٩٩٨) كالركبة كوين، موت Schneck النظام على ترتيب للإحساسات الصوتية (مثل شرارة فتح الفم Spark) والترتيب على الأقل بثلاث ميكروفونات Microphones، والتي تحدد نظام إحداثي الجسم BCS) Body Coordnate System).

تتولد الموجات الصوتية وتنقل عن طريق حساسية الانتقال خلال الهواء، وتصل عن طريق الميكروفونات. وبسبب سرعة الصوت المعروفة، النظام يمكنه حساب موضع الوصول بالنسبة للإحساسات. تثبت المصادر (أو الموصل) خلال نظام الإحداثي المعملي. حدد اتمام الأبعاد الثلاثة لموضع المستقبل (أو المصدر) في استمرار النظام المرجعي. يمكن حساب الوضع وتوجيه النظام الإحداثي للجسم (BCS) عندما يعرف الموضع الفراغي لجميع العلامات في الترتيب، وبهذا تكتمل الخصائص الست لدرجات الحرية (DOF) للجسم الجاسئ.

لتحقيق أفضل تحكم تجريبى، لوينز وموت (١٩٩٠) أقرا أن الأخطاء أصغر من ٠٠، مم فى الانتقال، ٠٠، فى الدوران. كذلك حركة الأنسجة الناعمة اصطدمت بالدراسات الديناميكية، حيث أن الحجم النسبى، وتوجيه المصدر وترتيب حساسية الأجزاء (فى حاجة إلى خلق إشارة جيدة بالنسبة للتشويش)، وصدى الصوتيات، والاضطراب فى مجموعات الصوت، وتقديم الشرارة بواسطة تعدد الحساسية الصوتية أو حساسية المصدر مزدوجة جعلت هذا المدخل صعب التطبيق فى دراسات ديناميكية حركة جسم الإنسان لتعدد أجزاء الجسم، وعامة من أجل الصعوبات المواكبة للتطور أسهل لنا استخدام (ومعايرة) نظام قياس الجسم المتعدد، المبنى على طرق تحويل الطاقة الكهربائية، واستخدام نظم الكاميرا باتساع لقياس حركة الجسم المتعدد الأجزاء.

ثانيا إعادة تركيب التصوير المساحى Photogrammetric Reconstruction

تُخلق الصورة عن طريق الكاميرا المصممة للتصوير في بعدين من الثلاثة أبعاد للهدف. بالإضافة إلى أن الاعتراض على استخدام الكاميرات في دراسة الحركة جدد موضوع الثلاثة أبعاد الذي أعطى نهضة لظهور البعدين، وهذه العملية تسمى إعادة بناء التصوير المساحى. وببساطة البعدين أفضل مثل يستخدم لعرض هذه العملية.

باعتبار النقطة (A) الهدف وكامرتين للتصوير شكل (۳) من أجل إيجاد إجمالي الإحداثيين (Ya, Xa) اللذين يعيدا تحضير الموضع الفراغي للهدف، نحن نستخدم الصور في بعد واحد للهدف من الكامرتين، تمر أشعة الضوء المتولدة عند النقطة (A) خلال مركز عدسة كل من الكامرتين لخلق الصورة على سطح فيلم التصوير الحساس في كل كاميرا.

هذه الصورة يمكن تميزها عند امتلاك مكان الإحداثيين U1 في الكاميرا الأولى، U2 في الكاميرا الثانية، ويمكن تحديد الموضع الفراغي للهدف عن طريق إيجاد نقطة تقاطع الاشعتين المتولدتين في الصور والحارتين خلال مركز عدسة كل من الكاميرتين.

ومع ذلك إن المعلومات عن إحداثيا الصورة وموضع مركز العدسة يكونان فقط جزء من المعلومات التي تحتاجها لتحديد إجمالي إحداثيا البعدين للهدف (Ya, Xa).

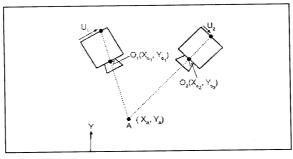
يعرض الشكل (٣) تحليل لحالة البعدين التي يمكن عملها للحصول على إعادة بناء الأبعاد الثلاثة من إحداثيات مكان النقطة (Z, Y, X) لكل من الطريقتين: -

* تركيب المعلومات المتولدة من ظهور النقطة على مستوى الكاميرتين (مثل استخدام المكان- الكاميرا- الإحداثيات) (٧١.٧١)، (٧١.٧٧).

تركيب الثلاث إحداثيات الخطية المستقلة من بُعد واحد للكاميرات (مثل: استخدام الوضع- الكاميرا- الإحداثيات) (٧٤،٧2،٧١).

. 44

لاختصار هذه العملية الشاقة لإحداثي الصورة من الفيلم بالكاميرا استخدم إمكانية استرجاع العد اليدوى الكبير عن طريق الاختصار الاوتوماتك (الألى) الاكتروني لهذه العمليات.



شکل (۳)

عرض مدخل التصوير المساحى ذو البعدين. وضع الصورة على كاشف الكاميرا يعطى عن طريق إحداثى مفرد. U نقطة التقاطع للخطين، وكل مسار خلال صورة الكاميرا وبعدها البؤرى، نتائج إجمالى إحداثيات العلامات Ya. Xa.

هذه الإجراءات تتطلب وصل العلامات بحركة الهدف وعندثذ تعدل العلامات في حجم رؤية الكاميرات.

ويمكن تقسيم العلامات إلى مجموعتين: -

* العلامات النشطة- الضوء الصادر للصمام الثنائي الاكتروني Light النسطة الخمراء. (LEDs)emitting diodes

العلامات السلبية - كشف الضوء العاكس Light reflecting devices الذي يعكس ضوء الهدف.

ومضة الضوء الصادر للصمام الالكتروني (LEds) من نظم العلامة

النشطة في طريقة مكررة عند أي لحظة زمنية يمكن هناك أن تُكون إصداره ضوء واحدة للفة واحدة للصمام الالكتروني فقط.

عندئذ توحد الكاميرات الوضع الفراغي لهذه العلامة في اللحظة الزمنية ذاتها.

تستخدم النظم السلبية العلامات التي تعكس إظهار الضوء وتظهره على شاشة عارض الفيديو بتركيز ضوئي.

يحدد الوضع الفراغى لكل علامة عن طريق (آلياً أو بواسطة المستخدم) إيضاح تركيز الضوء الذى يخص نفس العلامة البدنية، وعندئذ يطبق التصوير المساحى للوصول إلى عكس صورتين (أو أكثر) على العلامة.

كل المداخل للتصوير لها مميزاتها وعيوبها. نظم العلامة النشطة تتميز باختيار المستخدم لعينة أشعة وتحكم ذاتى لتحديد العلامات. ومع ذلك نظم العلامة عادة يمتلك تكرار ثابت للعينة (التكرار الكهربى لشبكة العمل)، وأيضاً بعض التحويلات الجديدة لاختيار التكرار الأعلى للعينة (حتى ٢٠٠هـ.ت). تلك الأنظمة تمتلك عدم تقيد الهدف (الشخصى) باسلاك. حيث أن العلامات لا تتطلب أى قوة إدخال. كذلك، هذه العلامات تعمل على عدم نقل خطأ عدم قدرة مساعدة الإظهار الضوئى على الكامرتين (أو أكثر) من خلال العلامات البدنية التى تنشأ تلك الاظهارات (العروض) وتكون هذه العينة عالية التردد. تحت هذه الظروف القياسية المتداخلة الاكثر استخداماً، ربما يتطلب تحليل أى أخطاء فى التعرف الطبيعى (البدني) على العلامات.

عندما تتعرف الكاميرات على العلامات المعروضة، يمكن الوصول إلى التصوير المساحى لتطبيق حساب الإحداثيات الفراغية للأبعاد الثلاثة لكل علامة. كما شرحنا سابقاً، هذه الإجراءات تتطلب المعرفة بالبيانات البصرية للعدسات في كل كاميرا، مثل طول البعد البؤرى Optical Parameters of للعدسة، موقع المركز البصرى. هذه البيانات يمكن أن تكون صعبة القياس وغير ممكنة عامة في معظم الكاميرات.

وأكثر من ذلك عدم استقامة العدسة، والتشويش الالكتروني في الدائرة التي تقيس إظهار المنطقة المعتمة التي تنشئها العلامات على جهاز تقويم التيار للكاميرات. كذلك إن دقة أي تحليل لإعادة بناء وضع الأبعاد الثلاثة للعلامة سوف يتعذر الحصول عليه.

معظم المحاولات التى استخدمت فى حساب الإحداثيات للأبعاد الثلاثة للعلامة أسست على الانتقال الخطى المباشر المباشر (DLT) عبد العزيز Abdel Aziz وكارارة Abdel Aziz (DLT) عبد العزيز الحسابى) يمكنه اختصار مجموعتى المعادلات الخطية إلى أقل من ١١ معلمات Parameters حيث تميز المعايرة، والوضع، اتجاه الكاميرا المنفردة. كل مجموعة يمكن رؤيتها كإجراء مصور لاحداثيين للصورة لاكتمال الثلاث إحداثيات للعلامة. ولأن هناك معادلتين فقط وثلاثة غير معلومة، ومتطلبات مجموعة المعادلات الأخرى، أضيفت هذه المعلومات عن طريق عمل كاميرا ثانية.

البيانات المصنعة من نتائج الكاميرتين في أربع معادلات تمتلك ثلاث احداثيات فراغية للعلامة غير المعلومة.

المعادلة الزائدة يمكن استخدامها كإضافة لمصدر المعلومات، وتطبيق تكرار هذا التنسيق سوف يقرب تقدير أفضل لموضع العلامة.

تحديد بيانات الكاميرا ضرورى لإعداد الحساب اللوغاريتمى كمطلب الإجراء المعايرة. هذه الخطوة أدى استخدامها كمجموعة قبل معايرة العلامات، وطبعاً وصلت إلى معرفة أماكن الكادر الثابت، مجموعة الكاميرتين استخدمت لنفس معايرة الكادر الموضح في الشكل (٤). كل علامة تعمل مجموعة واحدة من معادلتين. إجمالي الإحداثيات للعلامة معروفاً، وإحداثيات الصورة قيست عن طريق الكاميرا. ولأن المعادلات خطية (تولد وإحداثيات علامات من أجل علامات من أجل

إقلال الأخطاء وعمل درجة زائدة لتفاعل تحديد البيانات، يستخدم علامات أكثر غالباً عند اكتمال إجراء المعايرة لكلا الكاميرتين، تخزن البيانات واحداثيات الصورة ويمكن عندئذ التحول إلى إجمالي الإحداثيات للعلامة. من المحتم عدم تغير المكان الفراً غي واتجاه الكاميرات خلال إجراء التصوير (التجربة)، أي تعديل لموضع أو اتجاه الكاميرات يتطلب إعادة المعايرة.

إعادة التركيب الفراغى للعلامة المقررة تدل على الخطوة الأولى لتحديد ست درجات حرية للجسم الصلب مع قوة استمرار النظام المرجعى.



شكل (٤)

عرض نظام مجموعة كاميرتين ومعايرة مكعب في مركز رؤية الجسم

عن طريق التعرف على ثلاث علامات غير مستقيمة على الأقل على الجسم الصلب، يمكنها تأسيس أو إنشاء موحد لوضعها واتجاهها في الفضاء. هذا المدخل طوره Mit وحديثاً وصف كل من آنتونسون Antonsson، مانن (۱۹۸۹م) مرويل Rowell وصديثاً وصف كل من آنتونسون الأجسام الصلبة الصغيرة (أشار اإيها كترتيبات) والتي تحتوى على علامات متعددة مثل، أكثر من ثلاث علامات غير مستقيمة) متصلة بحلقة الشاشة. عند كل وصلة تتحرك خلال الفضاء، يؤدى ترتيب الجسم الصلب الى تحكم الشاشة في مكان حركة الجسم تحت الدراسة. برامج الحاسب الآلي المسماة TRACK (وزعت عن طريق (Nack MA) للانتقال الفراغي عن طريق وصف حركة الجسم بقوة استمرار الكادر المرجعي، لتحديد دقة الخصائص الكينماتيكية الكاملة لنتائج كينماتيكية المفصل المتصل بحلقتين،

يعطى الدوران الصحيح للمفصل عن طريق الدوران النسبى للحلقة الاولى بالنسبة للحلقة الثانية لأن حركة كل حلقة يتم وضعها في نظام مرجعى مستمر وهكذا يمكن إتمام الأبعاد الثلاثة لتحديد دوران المفصل بدون إعاقة الحركة الحادثة للمفصل وبالدقة التي تعتمد فقط على دقة إعادة التركيب الفراغى لكل علامة على حدى. هذا المدخل نجح استخدامه في كلا الأنظمة (لارن Learn ، فلورز Flowers و ميزنر ۱۹۸۹ Messner) النشطة والعاكسة.

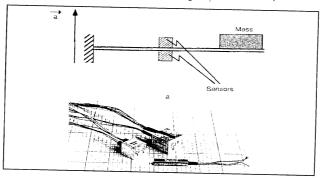
الفصل الثالث الفصل الثالث

أولاً: مقياس التسارع ثانياً : تقديرات القوة الديناميكية ثالثاً : الاستخلاصات والملخص والراجع

الفصلالثالث

أولاً: مقياس التسارع Accelerometers

مقياس التسارع اختراع أو اكتشاف صغير يقيس العجلة أو التسارع. أساس عمله عرض في الشكل (b,a - 0) وصلت كتلة صغيرة بواسطة دعامة (كمرة) خشبية لتحرك الجسم. عند تسارع الجسم، تنحرف الدعامة. وكمية الانحراف تكون مرتبطة بتسارع الكتلة. مجموعة جهد المقاومات -Strain qaug es المتصلة بالدعامة تستخدم لنقل انحراف الدعامة إلى إشارة كهربية.



نکا (ه)

 (1) الوصف الخارجي للأسس العملية لمقياس التسارع. عندما يتسارع الجسم (بعجلةة) يشير السهم إلى
 الإنجاء، تتصل الكتلة الصغيرة بعارضة التسارع وتسبب انحراف يقاس عن طريق ناقل حساسية (مقاومة الإجهاد، أو مقياس مرونة السوائل الالكتروني). (b) مجموعة مقياس التسارع الثلاثي المحاور.

هذه المعلومات تصنع من زجاج السليكون، ويسمح بالحد الأدنى الحسى (ناقل الحس) إلى تقريباً اسم في الحجم _ تقيس الأبعاد الثلاثة للعجلة الثلاث إحساسات التى محاورها الحسية متبادلة التعامد، ومركبة على شكل مقياس تسارع ثلاثي المحور الصغير.

من خلال ظهور حلول السليكون والتقدم الكثير في مصنع اكتمال الدوائر، امتلك هذا التصميم أكثر فرصة للحد الأدنى وإعداد قطع السليكون (Icsensor, Mibitas CA. USA). يتكلف مادياً سليكون مقياس التسارع هذا أقل من مقياس التسارع.

فى المستقبل، الحالة الالكترونية سوف تجهز الإحساسات ذاتياً، والتسى سوف تقلل التشويش وأسلاك الكهرباء المساعدة خلال إنتاج مقياس التسارع.

الميزة الأولى لهذه المرحلة لمقياس التسارع اتساع تكرار الشريط، لتغطية المدى من صفر إلى ١٠٠٠هـ.ت. مقياس التسارع أيضاً يتجاوب مع مجال الجاذبية الأرضية، بالإضافة إلى أن مخرجاته تدل على مجموع متجه العجلة الكينماتيكية وعجلة الجاذبية. اختلاف نوع مقاييس التسارع ظهرت عن طريق اكتشاف مقياس مرونة السوائل الاكتروني Piezoelectronic (Kistler اكتشاف مقياس مرونة السوائل الاكتروني Instrument, Winterhur, Switzer land)

استخدمت تلك الاكتشافات مقياس مرونة السوائل الكرستالي الالكتروني كناقل حسى وبالإضافة إلى حساسية ثبات العجلة. لذا، فهم لا يتأثروا بواسطة مجال الجاذبية، ولذا فهم أيضاً حساسين للعمليات الكينماتيكية البطيئة للرجة أن حدوده تستعمل في قياسات علم الحركة.

اكتمال زمن إشارة العجلة تعطى سرعة لتخزين النقطة التى اتصلت بها مقياس التسارع. يمتلك هذا المدخل للحساب ميزة إقلال تكرار التشويش العالية التى تخرج من معظم القياسات وبالإضافة لذلك سوف تنتج تقديرات واضحة للسرعة بالمقارنة للتقديرات المتولدة من المسار الهندسي للهدف المختلف لأى علامة متصلة بنفس النقطة. واكتمال الزمن الثاني سيقودنا الى موضع إزاحة هذه النقطة، تبادل عمل الجهد الكهربي للقياس بواسطة هذا المولد أكثر تكلفة، لوضع نظام القياس.

بعض القيود العملية لمنع انتشار استخدام مقياس التسارع هي:-

* تحديد حالات القصور الذاتي للأجزاء.

- * تأثير مجال الجاذبية الأرضية.
- * الحاجة إلى التعرف على درجات حرية دوران الأجزاء.
 - * الانحراف المنخفض لتيار مخرجات مقياس التسارع.

يتطلب استخدام مخرجات مقياس التسارع لحساب وضع وسرعة الإجراء معرفة عن قيم القصور الذاتي لتلك المتغيرات.

ولأن هذه القيم لا يمكن تحديدها عن طريق مقياس التسارع، يجب على الباحثين إما أن يستخدموا نظم قياس مختلفة أو ببساطة يسلموا بهذه القيم. تأثير الجاذبية يمثل تحفظ آخر: إن إظهار قياس العجلة متجه جمع الجاذبية والعجلة الكينماتيكية، يحتاج إلى معلومات إضافية لوصف اتجاه الإجراء في مجال الجاذبية الأرضية لاكتشاف العجلة الكينماتيكية.

* * *

ثانياً: تقديرات القوة الديناميكية Dynamic Force Estimates

تحليل ديناميكية المفصل (كإنتاج قوى وعزوم المفصل عن طريق العضلات في التفاعلات التي يعطيها لنشاط الهيكل العضلي) يكتمل بعمل مشتق من المعلومات الكينماتيكية الدقيقة. تقدير ديناميكية المفصل يبنى على حركة الوصلات المفصلية المتداخلة في حل المشكلة الديناميكية المضادة. تتطلب العمليات الحسابية معلومات عن عجلة الوصلة الخطية والسرعة الزاوية والعجلة الزاوية، لذلك اكتمال مجموعة حساب قوى المفصل وعزومه مسئوله من حركة الشاشة.

لادين وى Landin Wu) قرر المدخل الذى يقيس مركب الوضع والعجلة. هذه العملية أسست على اكتمال ناقل الحساسية الكينماتيكية (IKS) (IKS) المتحمد (IKS) المتحمد المتحمد (IKS) المتحمد المتحمد الفياس الموضع (الذى يتحكم فيه عن طريق نظام -teoelectornic System في استعمال لادين وى)، مقياس التسارع الثلاثي المحاور للقياسات المباشرة لعجلة الاجزاء. استخدم وضع واتجاه وترتيب

الأجسام الصلبة في نظام إحداثي المعمل لإنشاء الاتجاه اللحظي لمقياس التسارع في مجال الجاذبية. هذه المعلومات استخدمت لطرح تأثير الجاذبية من مخرجات مقياس التسارع، وناتج الطرح هو العجلة الخطية (المشتق الثاني لزمن متجه الوضع). هذه القيمة، عندما تستبدل بالمعادلات الديناميكية التي تصف حركة الجسم الصلب، تنتج تقديرات قوى المفصل.

اختير النظام في درجتين حرية لميكانيكية البندول، حيث قورنت مقاديرة بقوى المفصل المقاسة مباشرة عن طريق ترتيب جهد المقاومات. تقدير القوى مبنى على قياسات العجلة المطابقة جداً للقيم المقاسة. أمكن اكتمال التقدير ليس فقط عن طريق نقل الرسم تأسيساً على الزبذبة ولكن باختزال كل الترددات العالية للزبذبات التي لوحظت بقياس جهد المقاومات. قدر الخطأ في التقديرات بأقل من ٢٪، ثقة ودقة في تقدير القوى الفعلية للمفصل. توليد تقدير القوة بسرعة عن طريق مقاييس الوضع (مثل استخدام مقاييس الوضع لتقدير عجلة الأجزاء، وتقدير العجلة لحساب قوى المفصل)، مع أعلى تنسيق للتنقية، تأسس الترددات المنخفضة للزبذبة للتحكم في اختزال استخدام هد.ت، منخفض للمرور بالمنقى، ولكن هذا القطع للتردد يصنع تقديرات أكثر تشويش، والتي تلازم إجراء كل من عمليات التقدير.

وصف إتمام ناقل الحساسية الكينماتيكي في دراسة لادين وي، كانت مصممة لتحسين نوعية تقديرات قوة المفصل التي أسست على تحليل المشاكل الديناميكية المضادة. مقارنة بين قياس قوة المفصل بواسطة جهد المقاومات بالتقديرات التي أسست على تكامل ناقل الحساسية وتلك المؤسسة على قياسات الوضع منفرداً أوضحت بوضوح التعرف على أنه تم تحديث لقياسات الوضع والعجلة. العلاقة وثيقة بين تقدير القوى وتصور قياسها بواسطة إتمام الثلاث مكونات التي اشتملت عليها مثل التقدير، ويعنى دقة قياسات الوضع، تحليل كينماتيكية الجسم الصلب الذي يستخلص من الست درجات حرية للحركة في الفضاء، واستخدام هذه المعلومات لمعايرة ديناميكية قياسات العجلة لمقياس التسارع الخطى، ويمكن للفرد الحصول على أفضل التقديرات غير المتوقعة لقوى المفصل.

ثالثاً: الاستخلاصات والملخص Summrey and Conclusions

اختيار نظام القياس لدراسة حركة جسم الإنسان يتطلب عناية فائقة لطبيعة الحركة، والبيئة المحيطة بهذه الحركة المؤداة، وخصائص نظام القياس. بعض التكاليف العالية لأكثر النظم العامة عادة تعنى أن شراء النظام للمعمل يكون على أمل أن يمكن استخدامه في الدراسات المختلفة، ومن أجل عمل أسب نظام قياس للاستخدام، يجب محاولة تصميم معظم متطلبات الدراسات كنظام يمكن استخدامه.

بعض العوامل التي يجب وضعها في الاعتبار تشمل:-

- « مدى الحاجة إلى تكرار إتقان الوصف المعطى للنشاط البدني. (مثل
 اللشي Walking ، العدو Running أو الوثب Jumping).
- * طبيعة المتغيرات البدنية المقاسة (مثل الوضع Postion والدوران -Rota . (Acceleration). العجلة (Acceleration).
- البيئة الخارجية التي يؤدى فيها النشاط (مثل معمل طبي ساحات الألعاب الأولمبية).
 - * عدد الأطراف أو المفاصل تحت الدراسة.
 - * الحاجة إلى دقة ووضوح المقياس.
 - * طبيعة تبادل العمل المستخدم والحاجة إلى تشغيل النظام.

البيانات الفنية المتخصصة، اختيار خصائص النظام يمكن التقدم بها عن طريق اختبار تلك النظم المقنعة.

يعتمد التحديد النهائي لأفضل نظام على الإمكانات المالية.

* * *



- 1 Abdel- Aziz, Y.I., & Karara, H.M. (1971). Direct Linear Transformation From Comporator Coordinates into object Space Coordinates in close rang Photogrametry, Range of the Symposium on close- Range Photogrametery (pp., 1-18), Falls Chwch, VA: American Society of Photogrametry.
- 2 An, K.N., Jacobsen, L.J. & Chao, E.Y.S (1988). Applecation of Magnatic Tracking device to Kinesiologic Studies, Journal of Biomechanics, 21, 613- 620.
- 3 Andrews, J.G., & Youm, Y. (1979). Abiomechanical investigation of Wrist Kinematics. Journal of Biomechanics 12, 83-89.
- 4 Antonsson, EK., & Mann, R.W. (1989). Automatic 6- d. o.f Kinemetic Trajectory acquisition and analysis, Jornal of Dynamic Systems, Measurement, and Control, III, 31-39.
- 5 Broune, C.W. & Fischer, O. (1987). The human gait. (P. Marquet & R. Furlong, Trans.). Berlin: Springer- Verlag. (Original Wark Published in 1895).
- 6 Hayes, W.C. Gran, J.D. Naqurka, M.L. Feldman, J.M. & Oatis. C. (1983). Leg motion analysis during gait by Multiaxial accelerometry: Theoretcal Foundations and Preliminary Validations. Journal. of Biomechanical Engineering 105, 283-289.
- 7 Krieg, I.C. (1984). Afeedback Mechansim For Use in Paralegic Stimulation Techniques, In Proceedings of 2nd International Conference on Rehabilitaion Engineering (pp. 313-314).
- 8 Ladin, Z., Flowers, W.C. & Messner, W. (1989). Aquantitative Com-

- parison of a Position Measure Ment. System and Accelerometry. Journal of Biomechanics, 22. 295- 308.
- Lading, Z., & Wu. G. (1991). Combining Position and acceleration Measurements For Joint Force estimation. Journal of Biomechanics. 24 (12), 1173-1187.
- 10 Lamoreaux, L. (1971). Kinematic Measurements in Walking, Bulletin of Prosthetic Research, BPR 10- 15, 3- 84.
- 11 Lewis, J. L., Lew, W.D., & Schmidt, J. (1988). Description and error evaluation of an in vitro Knee Joint Testing System. Journal of Biomechanical Engineering, 110. 238-248.
- 12 Marey, E. J. (1873). Animal Mechanism: Atreatise on terrstrial and aerial Lacomotion. New York: Appleton. Republished as Vol. XI of the international Scientific Serise.
- 13 Marris, J. R. W. (1973). Accelerometry- A technique For the Measurement of human body Movements. Journal of Biomechenics, 6 (6), 729-739.
- 14 Muybrichge, E. (1887). Animal Locomotion Reprinted in Brown,L.S. (Ed) (1957). Animal in Motion New York: Dover.
- 15 Quinn, T.P, & Mote. C.D. (1990). Asix- degrees- of- Freedom acoustic transdur For rotation and Translation Measurements across the knee, Journal of Biomechanical Engineering, 112 (4), 371- 378.
- 16 Rowell, D., & Mann, R.W. (1989). Human Movement analysis. SOMA- Engineering For the Human body, 3(2), 13-20.
- 17 Seemann, M.R., & Lustick, L. S. (1981). Combination of accelerometer and Photographically derived Kinematic Variables defining three- dimensional rigid body Motion. SPLE- Biomechanics cinimatography, 291, 133-140.

= 70 =

- 18 Siegler, S., Chen, J. & Schneck, C.D. (1988). the three-dimensinal kinematics and Flexibility Characteristics of the human ankle and Subtalar Joints- Part 1: Kinematics. Journal of Biomechanical Engineering, 110, 364-373.
- 19 Sommer, H.J, & Miller, N. R (1981)A technique For the Calibration of unstrumented Spatial linkages used for biomechanical kinematics 14, 91- 98.
- 20 Suntary, W.J., Grood, E.S., Hefzy, M.S., Butler, D.L., & Noyes, F.R., (1983). Error analysis of a System For measuring threedimen. Sional Motion. Journal of Biomechanical Engineering, 105- 127- 135.
- 21 Townsend, M.A., Izak, M., & Jockson, R.W. (1977). Total Motion Kneegoniometry. Journal; of Biomechanics, 10, 183- 193.

الباب الثاني الباب الثاني قواعد إعادة تركيب الأبعاد الثلاثة Bases of Three- Dimensional Reconstruction



الفصل الأول الفصل الأول

أُولاً: نظم الإحداثيات الفراغية ثانياً: تكنيك إعادة التركيب ثالثاً: الكاميرا الثابتة er er ar um er myst og skriftelikeresek er er till skriver er er er flektydeskyr till er er til omygt tillstekk

بدأ الكثير من التسجيلات البيوميكانيكية لحركة الإنسان في الأبعاد الثلاثة من خلال بيانات الحاسب الآلي، عن طريق تصوير آلات التصوير ذات السرعات العالية أو الثابته، وآلات تصوير الفيديو أو نظام التصوير بالأشعة ويعتبر الاكثر انتشاراً لنظم البيانات بالحاسب الآلي. ويمكن تحديد التوافق الحاص لنقاط الهدف أو علامات الجسم باستخدام أسس التصوير المساحي بالرغم من اختلاف الحد الأدنى للإحساس أو الرؤية.

وقد خصصت نقاط الهدف لإمكانها تحديد وتخصيص كل رؤية (منظر) وعدم تداخل كل منها أو تلاصق أسطحها أو تداخل العلامات الأرضية.

وعُرف التصوير المساحى عن طريق الجمعية الأمريكية للتصوير المساحى، وهو فن، وعلم، وتطبيق علمى للحصول على معلومات صادقة عن طبيعة الأشياء والبيئة المحيطة بها خلال عمليات التسجيل، والقياس وطبع الصور الداخلي، ونماذج تسجيل إشعاع الطاقة الكهرومغناطيسية -magnatic energy

والنظريات الأخرى عن وولف (۱۹۸۳ Wolf)، من خلال التصوير المساحى، يكون القياس ووضوح التصوير المساحى مجالين مختلفين، يتكون قياس التصوير المساحى من مقاييس محكمة من التصوير ومصادر أخرى لتحديد الأوضاع النسبية للنقاط والعلامات. ويشمل توضيح التصوير المساحى على استخدام نظم التحليل لتنظيم وتحديد علاقات الأشياء. تشمل الحركة الذاتية تنظيم وتحديد علامات الأشياء، كما يحدث ذلك في إعادة تنسيق الأبعاد الثلاثة.

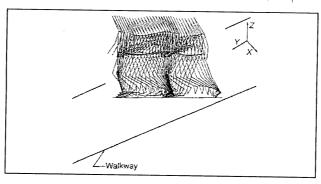
يغطى هذا الفصل أسس تكنيك إعادة تركيب الأبعاد الثلاثة، فمثلاً الطرق الكلاسيكية Classical Methods فحصت كخطوتين لإعادة تركيب التكنيك، وفي الآونة الاخيرة طريقة الانتقال المباشر في الحركة الخطية -the Di التكنيك، وفي الآونة الاختراة طريقة الانتقال المباشر في الحركة الخطية الكاميرا، ومعايرة مصادر الخطأ من الأنواع المختلفة لآلات التصوير، وعدسة الكاميرا، ومعايرة الأهداف.

* * *

الفصلالأول

أولاً: نظم الإحداثيات الفراغية Spatial Coordinate Systems

يتطلب تحليل الأعباد الثلاثة نظم إحداثيات متعددة. فعند التحليل في المستوى الأفقى، يوجد قياساً ثابتاً أو نظام إحداثي Fixed Coordinat System ويجب أن (F.C.S) كما في شكل (1) حيث حسبت علامة إحداثيات الجسم. ويجب أن تتجنب محاور النظام الإحداثي تداخل أنظمة الإحداثيات التي تحدد حركة المفاصل. ويمكن تحديد موضع المصدر الأصلى عند أى نقطة عملياً في المعمل. أى وضع أو نسبة نظام إحداثي (L.C.S) Local Coordinate System يمكن وضعها على حركة أجزاء الجسم. فمثلاً: بحث الوصف الكينماتيكي للطرف العلوى عند وضع نظام إحداثي، يمكن تحديد وضع الكتف خلال كل من الطرف العلوى الداخلي في الحركة. وعندئذ علامة النظام الإحداثي للجسم تحسب بالنسبة لهذا الكتف.



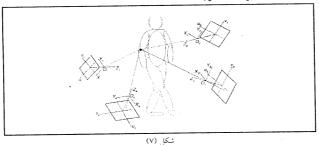
شكل (1) النموذج التخطيطا لحركة مشى الفرد من اليمين الى الشمال أصل (مت) نظم الإحداثيات يمكن وضعه عند أى نقطة متداخلة فى المعمل. وتحدد المحاور تبعاً لقانون اليد اليمنى. والتسلسل العمودى والاتجاه يتبع المحور X,Y، ويكون المحور X فى الاتجاه المتعامد على المستوى YZ.

- 71

وكذلك علامة السرعة والعجلة بالنسبة للكتف ولا يمكن أخذ ذلك فى الحساب المطلق لإزاحة الكتف بالنسبة لوضع النظام الإحداثى الثابت وبالأخص فى المعمل.

يتطلب بناء الابعاد الثلاثة منظر أو منظرين أو أكثر للشخص ويمكن تصوير هذه المناظر بالفيديو، أو بكادرات آلة التصوير وهكذا. كل منظر له آلة تصوير للنظام الإحداثي الخاص به (Camera Coordinate System (CCS) أسست على أساس استنباط التصوير.

ويعرض الشكل (V) نظام احداثي لأربعة كاميرات فيديو (CCS) حيث يحدد اتجاه المحور الإجباري Z اتجاه المحورين Y, X الأفقى والرأسي نسبياً، عندما يكون تصوير الكاميرا في مستوى المصدر Oi (حيث أن i رقم الكاميرا) يحدد عند النقطة البؤرية لكل كاميرا، تصميم نظم الإحداثيات هذه على الصور لتكوين نظام إحداثي للصورة (ICS) Image Coordinate System (ICS) والذي يكون أصل لنقطة الأساس، والتي تجمع من خلال البعد البؤري للعدسة. وبالتسليم بأن الصورة تكون مستوية، بحذف محور واحد والمحورين الآخرين يرمز لكل منهما بالرمز Vi، Ui على التوالى، لتجنب التشويش بين نظم إحداثيات الكاميرا أو الصورة.



نظام الأربعة كاميرات عندما تحدد صورة جميع علامات الجسم فوق نظام توافق كاميرات النصوير، ويرمز له بالرمز (CCS) على بؤرة عدسة كل كاميرا.

ثانيا: تكنيك إعادة التركيب Reconstruction Techniques

منذ تحديد نظم الإحداثيات تستخدم المعادلات لتحديد إحداثيات نقطة الهدف من إحداثيات صورته. (في تحليل خطوة المشي، نقاط الهدف تكون أسهل سلبياً أو إيجابياً للعلامات التي تحدد العلامات التشريحية الخاصة).

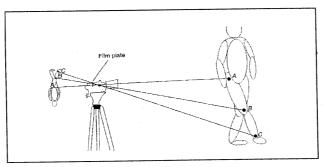
هذه المعادلات تنسب إلى البيانات الخارجية (مثل الاتجاه الخاص بالكاميرا) والداخلية، مثل خصائص العدسة أو نوع الكاميرا، ونقطة الهدف أو وضع العلامات. طورت طرق المعادلات والتحليل من أجل استخدام الكاميرا المتحركة والثابته. تمت الابعاد الثلاثة لخطوة المشى بكاميرا ثابتة وبمواجهة الهدف. أو في مجال التصوير، أو نظم آلات الرؤية، مثل الدليل الذاتي للتأمل Self- guided Vehicles، الكاميرا تكون محمولة على حامل وتتحرك بطوله، عندئذ تؤخذ قمة إزاحة الكاميرا في الحساب. يتأسس مستوى إنتاج المقياس الضوئي على دقة المعلومات عن البيانات الخارجية والداخلية للكاميرا، أي خطأ في أي من تلك البيانات يتبعه خطأ في قيمة الاحداثيات. وبالرغم من ذلك هذا التكنيك يصبح جيداً جداً عندما تستخدم كاميرات قياسية صممت من أجل التصوير المساحي المجسم Stereo- Photogrammetry وعندما تأخذ كل كاميرا وضع خاص ويحدد اتجاهها بدقة.

ثالثا: الكاميرات الثابتة Fixed Cameras

تكنيك إعادة تركيب الأبعاد الثلاثة بالنسبة للكاميرات الثابتة يمكن أيضاً استخدامه بأكثر من كامرتين للتصوير- تأسيس مستوى التكنيك على استخدام صورتين- وأى صور إضافية تستحدث باستخدام كاميرا فى تركيب زوجى لذلك، الثلاث صور تكون ثلاث أزواج بينما الأربع صور تصنع ٦ أزواج وهكذا. هذه الإمكانية تحصل منها على صورة جيدة بالسرعة العالية للتصوير السينمائي أو التصوير باليديو. خلال التصوير باليديو الصورة المزدوجة يجب أن تكون فى تزامن واحد. بالإضافة لذلك حركة أى كاميرا مفردة يمكن أيضاً استخدامها إذا كان الهدف فى محطات متناسبة، كما فى تتابع التصوير.

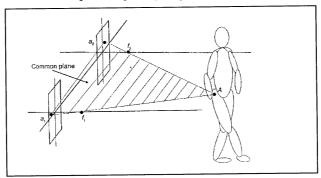
من أهم أساسيات التحليل بالتصوير المساحى أن تكون الحالة فى إستقامة واحدة. يعرض الشكل (Λ) تجهيزات نقطة الهدف أو النقطة المعلومة وهى المطابقة للصورة من الخط المستقيم المار خلال مركز عدسة التصوير. (أسهل مثل لذلك آلة التصوير ذات الثقب (Pinhole Camers) عندما تقابلنا هذه الحالة عندئذ يمكن تطبيق العلاقات الهندسية وحساب المثلثات لتحديد الوضع الخاص للهدف أو للعلاقة. فى الشكل (Λ) نقاط الهدف C, B, A وضعت على نفس المخط المستقيم المطابق لصورة النقاط c,b, تطورت المعادلة فى حالة الاستفادة الواحدة من نفس العلاقات المثلثية وعرضت، تفاصيلها فى الكتاب المنهجى photogrammetry عن التصوير المساحى photogrammetry.

وبنفس الأهمية تكون حالة المستوى الواحد، والذى تتطلب أن تكون نقطة الهدف A مطابقة للصورة المزدوجة A2, A1، كما فى مركز عدسة التصوير للكاميرا F2, F1، الموضوعة على المستوى المشترك (انظر الشكل)، حيث أن ارتباط نقطة الهدف تكون بصورتها فى حالة المستوى الواحد، وسلسلة الصور فى حالة المستوى الواحد (صورتين على الأقل) تكون مرتبطة



شكل (٨) متطلبات تصوير الأبعاد الثلاثة في حالة الخط المستقيم عن طريق علامات مفاصل الفخذ والركبة ورسغ القدم C, B, A مطابقتها لصورها عند المركز البؤرى لعدسة كاميرا التصوير .

بنقطة الهدف. ومن خلال هاتين الحالتين يتطلب الأمر إحداثيات فراغية تمكننا من التحليل عند إعادة التركيب من الصور المأخوذة (المحضرة).



شكل (٩) عرض حالة المستوى الواحد والتى وضعت فيها علامات الجسم فى المستوى المشترك وشكلت عن طريق تطابق أوضاع التصوير والمركز البؤرى لعدسة كل كاميرا

			,		

الفصل الثاني الفصل الثاني

أُولًا : التكنيكات الكلاسيكية لإعادة التركيب ثانياً : التكنيكات المتداخلة لإعادة التركيب



الفصلالثاني

(ولا: التكنيكات الكلاسيكية لإعادة التركيب

كانت معظم الأساليب الفنية السائدة تنطلق من الأساليب الفنية الكلاسيكية. ويقودنا الفهم الأفضل للمدخل الأساسى للمجال العلمى الى الادراك الأفضل. معظم معادلات الأبعاد الثلاثة مشتقة من حالة المستوى الواحد، والمعادلة الأساسية لمجال التصوير المساحى مطابقة لتلك المعادلات المستخدمة في تحليل حركة الإنسان. والاختلاف في كون أن المحور البصرى عادة يكون موازى في حركة جسم الإنسان في المعمل أكثر من العمودى كما في مجال التصوير.

خطوات التصوير المساحى المجسم Sterco- Photogrametric عرضت فى شكل (١٠) بنفس المسافات المعطاه من أجل عرض الأهداف المسلمة الهامة هى أن البيانات الخارجية للكاميرا معروفة وأن علبة الفيلم وضعت فى نفس المستوى. ويعنى هذا أن المحور البصرى موازى وعمودى على مستوى الفيلم (علبة الفيلم).

المحورين Vi ، Vi متصلان بالنقطة الأساسية للفيلم، Pi ، المحور البصرى لكل كاميرا مر خلال المركز البؤرى للعدسة وينضم بالنسبة للنقطة الأساسية للكاميرا، النظام الإحداثي الثابت (fixed Coordinate System)(FCS) يتحكم في المجموعة عند المركز البؤرى لعدسة الكاميرا (١) عند Oi والكاميرات تكون منفصلة عن المسافة الرئيسية، Bi بمقدار ١,٢٠٠ متر. ويكون طول البعد البؤرى ٣٠٠٠، متر وفي هذا المثال الإحداثيات لأى نقطة هدف، A (١٠٠٠، ١,٣٠٠) محسوبة بالمتر كما في Oi.

وهذه هى الخطوة الأولى لأى معرفة. وهذه الخطوة تمكن من تحديد التحليل عن طريق تطبيق المعادلة التالية، هارلليرت Harllert (١٩٦٠م):-Xi = (B. Ui) / p (1)

- 14

- $Yi = (B. C) / p \dots (2)$
- $Zi = (B. Vi) / p \dots (3)$

حيث أن U2 - U1 = P وتستخدم لتصحيح انحراف الرؤية في النظام الإحداثي Oi المستخدم لتلك المعادلة، وإحداثيات الهدف يكون كما يلي: -

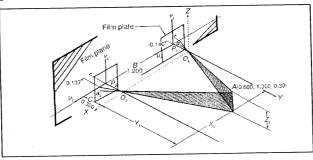
 τ دمې τ ، τ ، τ ، τ ، τ ، τ . τ

 $(\cdot, 1, \cdots, -) = (\cdot, 1, \forall \cdot -) + (\cdot, \forall \cdot \cdot \times 1, \forall \cdot \cdot) = iY$

 \cdot , \cdot ,

كذلك أصبحت الحسابات بسيطة تماماً لاكتساب تكنيك لمقياس دقة موضع الكاميرات. أيوب، أيوب ورامزى (١٩٧٠م) Ayoub, Ayoub and Ramsey وصفوا بالتفصيل نظام تصويرهم وجميع المساعدات كتصحيح الإجراءات لتحديد المسافة الرئيسية، والنقطة الرئيسية وانحراف العدسة.

الأن قانون انحراف العدسة مجهز ليناسب التصوير المساحى المجسم بسرعات عالية بكاميرات الفيديو. ولكن نحن ننصحك بفحص العدسة من



شكل (١٠) الخطوات الأساسية للتصوير المساحى المجسم من خلال توازى المحور البصرى في كل منها. الكاميرا الأساسية ١,٢٠٠ متر و البعد البؤرى للعدسة ٣٠٠، متر على استقامة واحدة وتم التحكم في الإحداثيات. وجميع الاتجاهات قيست بالمتر.

أجل أخطاء الانحراف. والسؤال الأول إذا كان المصنع يمكنه مساعدتك من خلال خصائص العدسة بالتعاقب، يمكنك عمل معايرتك من خلال الدقة المناسبة باستخدام سجل شريط ورقه الرسم البياني لجدول القياس الجرانيتي. هذه الجداول تكون عادة مسطحة = ٢ك م. العلامات النموذجية على ورق الرسم تستخدم لاختيار انحراف العدسة. جدول الجرانيت يكون وضعه عمودي مع استخدام المستوى الأحسن والمجموعة عمودية بقدر الإمكان على المحور البصري للكاميرا. وكذلك الجدول يمكن أن يكون ماثل بالتدريج، هذا الانحراف سيكون مقدار ثابت المعادلة (١) حتى المعادلة (٢) يمكن التعبير عنها بأكثر من شكل عام :-

$$\begin{bmatrix} U - Up + \Delta u \\ V - Vp + \Delta v \\ -C \end{bmatrix} = \lambda \begin{bmatrix} M \end{bmatrix} \begin{bmatrix} X - Xo \\ Y - Yo \\ Z - Zo \end{bmatrix} \dots (4)$$

حيث أن v مي إحداثيات التصوير، v مي نقطة الأصل لاحداثيات التصوير، Δv مي المسافة الرئيسية للكاميرا هي مقياس الرسم للعامل الخطى، v هي v مصفوفة تحويل المشكل من الصورة الى النظام الاحداثي في المعمل، v وهي إحداثيات الهدف في المعمل، v ومن هذا الشكل العام يمكن اشتقاق معادلات الأبعاد الثلاثة.

* * *

ثانيا: التكنيكات المتداخلة لإعادة التركيب Implicit Reconestrution Techniques

المدى المغلق للتصوير المساحى، أو تطبيق التصوير المساحى حيث تكون مسافة نقطة الهدف للعدسة أقل من ٣٠٨ متر أى (١٠٠٠، قدم) أصبح محنأ من خلال ظهور الأجهزة المناسبة والطرق العلمية وتكنيك اختزال البيانات (مارزن ١٩٧٥م Metric). تحول الكاميرات من الكاميرات من الكاميرات أدى إلى استخدام Camera إلى الكاميرات غير القياسية nonmetric Camera أدى إلى استخدام تشخيص تحليلي جديد لتحديد بيانات الكاميرا الداخلية والخارجية والتي تعتبر مهمة لتطوير التصوير المساحى ليشمل دراسة حركة جسم الإنسان الربع الذاتي في قانون التكلفة، والاستعداد للانتفاع بغلق وتشغيل الكاميرات، لم يعد مناسباً للمدخل الكلاسيكي لإعادة التركيب.

اليوم كثر تداخل الطرائق الفنية. وكثير منها طور عن طريق إعادة ترتيب تكلفته تبسيط المعادلة (٤).

حولت المعادلة الكلاسيكية إلى مجموعة بيانات غير معروفه، والتى تكون دالة لإحداثيات نقطة الهدف وثباتها. والثبات معلومة حسابية معقدة تشتمل على بيانات كاميرا واحدة أو أكثر.

ولتحديد هذه البيانات عملياً، تشير دقة قياس معايرة نقاط الهدف المستخدمة في تحديد المعلومات غير المعروفة إلى خطوتين:

الخطوة الأولى استنباط معايرة التصوير الضوئى والصورة وإحداثيات نقطة الهدف الحقيقة والمستخدمة فى تحديد قيم المعلومات المجهولة فى الاصطلاحات الحسابية. وتلك هى أشكال معايرة الكاميرا. إذن استنباط المعايرة يرجع إلى المعلومات المجهولة لنقاط الهدف أو علامات الجسم المقاسة.

والخطوة الثانية تحديد إحداثيات هذه العلامات المقاسة من إحداثيات صورة الهدف والحساب السابق للثابت التحليلي. ويتطلب تعدد نقاط المعايرة تفسير المعلومات المجهولة تبعاً لتنوع تداخل التكنيك المطبق.

انتشرت أفضل الطرق الفنية للأبعاد الثلاثة في حركة الإنسان في مجال الميكانيكا الحيوية. وذكرها بالتفصيل يخرج عن نطاق هذا العمل. وعامة الخطأ ينحصر بين صفر مم، ٥مم. ومع ذلك القيم المقررة لا تتأسس دائماً على نفس معنى الخطأ. فيما بين طرق إعادة تركيب الأبعاد الثلاثة، التطبيق والشرح الاكثر انتشاراً ربما يكون تكنيك الانتقال المباشر (DLT) المتطور عن مارزان Marzan (۱۹۷۰م). الذي يستخدم أنواع كثيرة من اختراعات التصوير، شتوكيز Stokes، بيجالو Bigalow، وموريلاند Moreland (١٩٨٧م) استخدموا تكنيك التصوير المساحى للانتقال المباشر (DLT) بأشعة X- Ray) X لقياس انحناءات العمود الفقرى بينما آلارد Allard، دوهايمي Moreland ، لابيللي Labelle ، مورفي Murphy مورفي ، Duhaime (١٩٨٧م) استخدموا الكاميرات الثابتة لتحديد وضع وانحراف رسغ القدم ومحور مفصل الدوران. أخطاء التصوير المساحي للانتقال المباشر ساعد في استخدام التصوير ذو السرعة العالية (شابيرو ١٩٧٨ Shapiro) وفرص تصوير الفيديو (ليروكس Leroux، الارد Allard، مورفي Murphy). تأسست طريقة التصوير المساحى للانتقال المباشر على التكنيك الكلاسيكي ويعبر عنها كما يلي:

حيث أن V, U = إحداثيات التصوير و Δr , Δu = تصحيح احداثي اتجاه عدسة التصوير. وإحداثيات نقطة الهدف Z, Y, X بينما الثوابت L1 حتى L1 = بيانات التصوير المساحى للانتقال الثلاثي المباشر والتي يحددها وضع الكاميرا واتجاهها وعلى سبيل المثال البيانات الداخلية للكاميرا واتجاه العوامل الخطية للعدسة. وللمعلومات الأكثر انظر Δr 1 (1970).

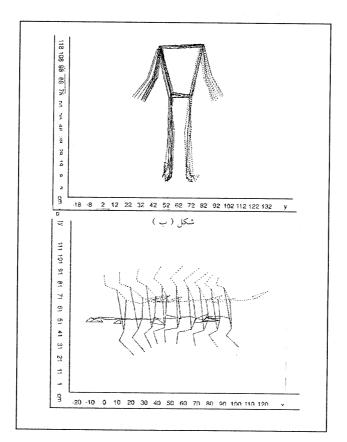
فى المثال المبنى على تكنيك إعادة تركيب الأبعاد الثلاثة الكلاسيكى شكل (١٠) المحاور البصرية يجب أن توازى كل منها الآخر. إذا لم تكن متوازنة، المعادلة (٤) لا يمكن تطبيقها، ويجب تطوير مجموعة معادلات لتصحيح انحرافات زوايا الكاميرات. من خلال كاميرات ومعادلات (DLT) يمكن الاقتراب من نقطة واحدة ولكن يجب أن نضع فى الاعتبار أن العلامة بين الاقتراب من نقطة واحدة وتداخل الزوايا حددها (١٩٧٥ م) لتكون فى الحسبان لتقليل أى خطأ لإعادة التركيب. وهذه ليست دائماً ممكنة فى البيئة المخيطة فى أى معمل، بالمقارنات بين مكان الكاميرا وأى خطأ مقبول يجب الوصول إليه.

المعادلة (O) كانت كأداة تجارية لنظام الفيديو المؤسس كينماتيكي لمتابعة علامات الجسم. وعلى سبيل المثال: طبق هذا النظام لدراسة حركة المشي العادية وللمرضى.

والشكل (۱۱) أحتى جر، الشكل (۱۲) أحتى جر يعرضا تشخيص لاختلاف بطارية المشى العادى حيث يعرض الرسم التخطيطي (أ). التسلسل خلال المستوى السهمى باعتباره المستوى العام لاتجاه التسلسل، (ب) المستوى الأمامي و(جر) من أعلى.

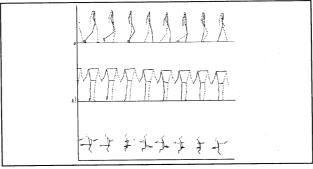


شكل (١١) الرسم التخطيطى لمشى فرد من الشمال إلى اليمين عند النظر فى المستوى السهمى باعتباره المستوى العام لاتجاه التسلسل، (ب) المستوى الامامى (انظر الصفحة الثالية. (ج) المستوى الافقى انظر الصفحة التالية.



شکل (جـ)

Ye.



شکل (۱۲)

رسم تخطيطى للصور المتباعدة لشخص يسير من الشمال إلى اليمين بالنظر في (أ) المستوى السهمى باعتباره المستوى العام لاتجاه التسلسل، ﴿ ب) المستوى الامامى، ﴿ جـ) المستوى الافقى.

هامان Hamaan وميلر Milier (١٩٨٢) تناولا هذا التأثير. يتطلب هذا التكنيك معايرة قبلية لتحديد مصفوقة الانتقال.

دين هان Den Haan ودين برينكير Pon Haan (۱۹۸۸) رسما العوامل الهامة المؤثرة في دقة القياس لمتابعة الهدف. استمرار التعاقب سبب بعض عدم وضوح العلامات المرجعية وكان هذا بالنسبة لكلا وضوح الزمن، حجم العلاقات، بالإضافة إلى وضع الكاميرات بالنسبة لكل منها وإمكانية توليد مقومات الخطأ.

تازى Tsai أو ۱۹۸۷م) أقر تكنيك جديد لمعايرة الأبعاد الثلاثة للكاميرا من أجل قياس الآت الرؤية المستخدمة لغلق الـ رف Off the Shelf لكاميرات الفيديو والعدسات المكبرة. هاتان الطريقتان تهدفان إلى فعالية حساب البيانات الداخلية والخارجية للكاميرا والتى من خلالها يمكن تحديد التناسق في نفس وقت استخدام كاميرات الفيديو العادية. الجهود ما زالت تبذل لتطوير توحيد تكنيكات إعادة تركيب الأبعاد الثلاثة أو لتطوير تكنيك جديد لعدد الكاميرات المتحركة. حول المشاكل التى حددت بالنسبة لوضع الكاميرا وحساب حدود الزمن، ما زلنا حول المشاكل التى حددت بالنسبة لوضع الكاميرا وحساب حدود الزمن، ما زلنا نفق فيه، ولكن هناك طرق جبرية ظهرت بظهور الاخطاء.

الفصل الثالث الفصل الثالث

أولاً: إقلال خطأ إعادة التركيب ثانياً: أنواع الكاميسرات وتشويش العدسة ثالثاً: فنيات إعسادة التركيب رابعاً: هدف المعايرة وخطأ إعادة التركيب المراجع

الفصل الثالث

الإلا: إقلال خطا إعادة التركيب Minimizing Reconstructed Coordinate Error إعادة التركيب

كل قياس يقترن بخطأ يجعله أكثر أو أقل دقة. بيرتيل هارلريت Bertil () استقر على أن حقيقة الأخطاء وهم لأن القيم بالضبط نادر معرفتها، لذلك فإن اصطلاح مشاهدة يفضل عن بالضبط أو حقيقة، لذلك استخدم في هذا الكتاب القياس.

تؤثر عوامل كثيرة على نوعية إعادة تركيب الاحداثيات وأعظمها اختراع التصوير، التعرف على العلاقات، وتشغيل الكاميرا، ومعايرتها. وقبل مناقشة مصادر هذا الخطأ، باختصار نحذر عند حدوث خطأ إعادة تركيب الإحداثيات: الأخطاء المأخوذة من الدرس (المحاضرة) مثل المتوسط الحسابي، الانحراف المعياري، والجذر التربيعي للمتوسط الحسابي، النسبة المثوية، التقدير، وهكذا. هذه الاصطلاحات يجب أن تؤخذ بعنايه واهتمام وتستخدم

Error Deffintion Terminology 'تعريف مصطلح الخطا'

أى فرد يجب أن يميز بين الدقة والتدقيق. فيما سبق اشرنا إلى الاختلافات بين المشاهدة والقيم المقاسة ونشير الآن إلى القدرة على تكرار القيم المقاسة وإمكانية الاحتفاظ بها أو الحصول عليها. يمكن التفكير في ذلك كنظام ومكونات خطأ عشوائي، نسبياً.

ونحن ننصح بأن خطأ متوسط الجذر التربيعي Root Mean Square Error) (RMS) المعطى والمعبر عن النسبة المئوية لمتوسط مسافة الكاميرا الأساسية للهدف. يعبر عنه بالمعادلة:

$$E_{RMS} = \sqrt{\frac{\sum (XR - X_i)^2}{N}} \cdot \dots (6)$$

حيث أن N = عدد المشاهدات، X_R = قيمة المشاهدة X_i = قيم الخطأ. بالإضافة لذلك، يجب أن تطبق فقط إحداثيات نقطة الهدف التي X_i تستخدم في تحديد الثوابت التحليلية.

لعرض الفرق بين خطأ المتوسط الحسابى وخطأ المتوسط الحسابى المطلق، خطأ الجذر التربيعي للمتوسط الحسابي (RMS).

ولتوضيح الفرق بين خطأ المتوسط الحسابي، والخطأ المطلق للمتوسط الحسابي وخطأ الجذر التربيعي للمتوسط الحسابي، نعطى كمثال ١٢ قياساً تم فيها إعادة تركيب العلامات عن طريق كل علامة على أخرى.

الجدول (۱) يشير إلى أن قيمة المتوسط الحسابى تؤول إلى الصفر. وهناك تأرجح بسيط جداً حوالى (۱۱,۰مم) فى التجهيزات، والخطأ العشوائى حوالى (۲۱,۰مم) فى كل إحداثى. وخطأ المتوسط لا يكون مناسباً لإظهار دقة الأداة لأن الأخطاء السالبة تلغى الأخطاء الموجبة المماثلة لها.

وهنا خطأ المتوسط الحسابى المطلق (٣٧, مم) وخطأ متوسط الجذر التربيعى (RMS) (٤٤, مم) وكل منهم ثلاثة أضعاف خطأ المتوسط الحسابى. وخطأ متوسط الجذر التربيعي يحفظ تقدير دقة الأداه.

جدول (1) المتوسط الحسابي، الانحراف المعياري، الخطأ المطلق، خطأ الجذر التربيعي للمتوسط الحسابي

الاختلاف المطلق	ΔZ (هم)	ΔΥ (هـم)	Δ X (۵-۵)	العلامة
٠,٥١	٠ , ٤٣	٠,١٨	٠,٢١-	١
٠,٤٠	٠,٢٠-	٠,٣٠	٠,١٨	۲
., ۲۷	٠,٠٢–	-۲٦, ٠	٠,٠٥	٣
٠,٢٨	.,07	٠,١٨	٠,٠٩–	٤
٠,٣٦	۰,۳٤-	٠,٠٨-	· , · V-	٥
٠,٥٨	٠,٤٥-	۰ , ۲۳–	٠,٢٨	٦
٠,٢٧	٠,١٥	٠,١١	٠,١٩	٧
٠,٤٢	٠,٢٤	۰ ,۳۲–	٠,١٤	٨
٠,٢٨	٠,٦٧-	٠,٠٣	٠,٠٧	٩
۰,۳۸	٠,٢٧	٠,٢٧	٠,٠٤-	١.
٠,٤٩	٠,٠٩	۰ ,۳۳	۰,۳٥-	11
٠,١٤	٠,١٤-	٠,٠٢–	.,	١٢
٠,١١	٠,١٠	٠,٠٤	٠,٠٢	خطأ المتوسط الحسابي
	(·,٣٥)	(+, 77)	(· , ۱۸)	(الانحراف المعياري)
۰ ,۳۷	٠,٢٩	٠,١٩	٠,١٤	الخطأ المطلق
	(• , ۱۹)	(+,11)	(+,11)	(الانحراف المعياري)
٠,٤٤	۰ ,۳۱	۲۲, ۰	٠,١٧	خطأ متوسط الجذر التربيعى

ملحوظة: حسبت القيم من قياس وإعادة تركيب العلامات المرجعية التى لم تستخدم في تحديد ثوابت تكنيك الانتقال الخطى المباشر (DLT).

41

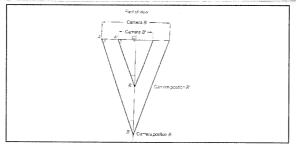
غالباً فى التصوير المساحى يعبر عن الخطأ النسبى للمسافة من قاعدة الكاميرا إلى الهدف. وفى هذه الحالة خطأ متوسط الجذر التربيعى (RMS) لقاعدة الكاميرا والهدف سيكون بنسبة (٢٠١، ٢,٩٥١). بالإضافة لذلك إذا كان اختلاف العدسة (٢١مم أو بتقريب العدسة)، استخدم بدلاً من عدسة ٨مم، سوف يتعادل اختلاف الخطأ مع وضع الكاميرا المشابه. زيادة طول البعد البؤرى للعدسة مناسب لجعل الكاميرا قريبة من الهدف.

استخدام نفس الكاميرا ونفس العدسة، يكون تغير الخطأ خطى تقريباً خلال المسافة من قاعدة الكاميرا إلى الهدف.

ولأن المسافة بين قاعدة الكاميرا والهدف متنوعة من كاميرا إلى أخرى، بناء على ذلك فإن مسافة البعد البؤرى المستخدمة يمكن تعديلها بسهولة وتكون أفضل فى التعبير عن الخطأ كتناسب لمجال الرؤية. ويمتلك هذا التأثير على انخفاض النسبة، لأن عرض مجال الرؤية عادة أقل من المسافة من الهدف إلى قاعدة الكاميرا، والشكل (١٣) يعرض المثلث ABC مشابه المثلث ABC وكذلك AB/A'B هي نفسها AB/A'A. كيف سيحدد طول مجال الرؤية ؟ هل هو الرأسي، الأفقى أو المسافة القطرية ؟.

جدول (٢) المتوسط الحسابي، والخطأ المطلق، وقيم خطأ الجذر التربيعي للمتوسط (RMS) باعتبارها كنسبة مئوية لاختلاف المسافات.

خطأ الجذر التربيعس للمتوسط الحسابس (RMS)	الخط المغلق	المتوسط الحسابس	المسافة		
1:7,901	1:3,0.9	1:11, 1.4	الكاميرا - القاعدة إلى الهدف		
			۱,۲۹۳ مم		
1:1,981	1:1,1.4	1:4,777	مجال الرؤية الأفقى (١٠٤مم)		
1:1, . 27	1:1,779	1:8,170	المائل (القطري)		
-			(۲۰۵ فی ۲۰۵ مم،		
			٤٥٨,٤٠ مم)		
1:1,181	1:1,700	1: 8,070	القطر الخاص		
		:	(۲۰۰ فی ۲۰۵ فی ۲۰۵مم،		
			۵۰۲,۲ مم قطری)		



شكل (١٣) علاقة النسب المثلثية المتشابهة بين الأوضاع المختلفة للكاميرا

۸۳.

إذا كان كل مسافة من تلك المسافات الرأسية والأفقية أو القطرية صحيحاً، فالقطرية ينتج أفضل تعبير لمجال الرؤية، لأنها تحتوى على الارتفاع والعرض. ومع ذلك لأنهم جميعاً يرتبطون بالمسافة بين الكاميرا والهدف، والتي يمكن بسهولة قياسها ومقارنتها بمجال رؤية الكاميرا، سوف يستخدم متوسط المسافة بين القاعدة والهدف. وتعوض قيم المعايرة المائلة فقط أى تجزئه لمجال رؤية الكاميرا، وهي تستخدم لإنتاج أقل نسبة.

أى علامات رجوع استخدمت على التوالى فى معايرة الثوابت التحليلية سوف تنتج عامة خطأ بسيط، لأن البيانات التحليلية تكون على استعداد مثالى لكل من النقاط. (استخدم هذا الخطأ فى حساب كل من نقاط الرجوع كحد أدنى لإظهار أنسب ثبات للعمليات).

وعلى التوالى تستخدم فقط علامات الرجوع للإحداثيات الباقية في حساب الخطأ. برنامج مارزان Marazan للكمبيوتر للانتقال الخطى المباشر (DLT) سنة (١٩٧٥م) أظهر مستوى الخطأ أو خطأ الانتقال الخطى المباشر لبيانات ١١ انتقال خطى مباشر. عند محاولتنا ربط خطأ الانتقال الخطى المباشر (DLT) بالخطأ المطلق (قبل الاختلال بين المتوسط الحسابي المطلق والمرجع ومقياس الإحداثيات)، نحن نجد أن خطأ الانتقال الخطى المباشر (DLT) كان دائماً دلاته الإحصائية منخفضة عن أندريه André، دانسيريو Dansereou و آلارد André ، في محاولة عملية، عندما يزيد خطأ علامة الرجوع من صفر مم إلى ٥مم، يزيد خطأ الانتقال الخطى المباشر من صفر مم إلى ٤٥ ، مم . بينما وصل الخطأ المطلق إلى أقصى من ٥ , امم خلال وصول قمة الخطأ إلى ٥ , ٣مم .

وباختصار، خطأ متوسط الجذر التربيعي (RMS error) سوف يحسب من احداثيات العلامة التي لم تستخدم في عمليات المعايرة، ونسبة متوسط الجذر التربيعي (RMS) أو الخطأ المطلق سوف تعبر عن العلاقة بين متوسط المسافة من الكاميرا إلى الهدف (Camera bais- to Object).

ثانيا: (نواع الكاميرات وتشويش العدسة Camera Types and Lenes Distoration

المكونات الأساسية لنظام التصوير المساحى البصرى هى استخدام الكاميرا إما للقياس أو عدم القياس، عدم تسطح الفيلم، العدسة. كل من تلك المكونات الأساسية تعطى خطأ للقياس، ولكن نماذج قاعدة إعادة التركيب الثلاثى الأبعاد لا تصحح مصادر خطأ هذه المكونات.

التكنيكات المتداخلة مثل الانتقال الخطى المباشر DLT، بدلت الخطوات المجهدة لمعايرة الكاميرا. كرارا Karara وعبد العزيز Abdel Azez المجهدة قارنوا دقة طرق الانتقال الخطى المباشر (DLT) المستخدمة في الكاميرا القياسية وأربع أنواع من الكاميرات غير القياسية الكاميرات غير القياسية كانت -Hon Kodak In- 'Hanssed 500c 'Crown Grophic 'eywell Pentax Spotmatic stamatic 154 Camera أما الكاميرا القياسية كانت الانحراف المعياري لخطأ الجذر التربيعي للمتوسط الحسابي (RMS) حسب موضع النقاط المرجعية عند المسافات بين قاعدة الكاميرا والهدف من (٠٠,٤م)، (٥,٥م) وكانت دائماً القيم الأصغر لخطأ متوسط الجذر التربيعي خلال تقارب أوضاع الكاميرا وكان الانحراف المعياري لخطأ المتوسط الحسابي (The Kodlak Instamatic حصل عليه من (حصل الكبر (۱, ۳مم) (حصل عليه من Camera) وبنسبة حوالي ١ . ١ ، ١٨٠ بالنسبة للمسافة من قاعدة الكاميرا إلى الهدف. خطأ الجذر التربيعي للمتوسط الحسابي من خلال الكاميرات غير القياسية الأخرى كان ٥٥٪ إلى ٧٥٪ أصغر من خطأ Instamatic Camera. ولم يكن الاختلاف حاد بين خطأ الكاميرات غير القياسية والكاميرا القياسية، حيث النسب بالنسبة للمسافة من قاعدة الكاميرا إلى الهدف بالتنوع ما بين Instamatic) ۱ , ۷۷٤ : ۱ ما بین ۲۰۰۱ , ۹entax) ما بین

واستخدموا شخصياً Nikon FE Cameras مجهزة عن Nikkor بعدسة مكبرة ٥٥مم، ونتج مدى خطأ مطلق ٣٣٠, مم (١:٥٤٤). ودقتهم حددت عن طريق أصبع رسم لوحة الرسم بخطأ ٤,٠مم وعمليات التحليل اليدوية.

فرازير Fraser (۱۹۸۲م) تمكن من الوصول إلى نسبة (۱۰,۰۰۰) أو أفضل من خلال الكاميرات غير القياسية وبطريقة نوع الانتقال الخطى المباشر (DLT).

مجموعة التصوير المثلثية المتعددة المحطات في وقت واحد صنعت الاستخدام تصور المعايرة الذاتية من خلال إضافة البيانات من مجموعة التصوير. ويكون ضمن مجموعة بيانات التصوير بيانات التصوير الثابتة التي تؤخذ من التركيز على تشويه خاصية كل صورة في الفيلم مع افتراض أن درجة تسطح الفيلم من صورة إلى صورة لا تختلف وتبعاً لرأى فرازير Fraser درجة تسطح الفيلم من صورة إلى صورة لا تختلف وتبعاً لرأى فرازير مدى (١٩٨٢م) يكون عدم ظهور تسطح الفيلم العامل الأكثر مدى دال يمكن إدراكه لدقة تكنيك إعادة التركيب بكاميرا غير قياسية، وبخاصة بالنسبة لكثرة خصائص الكاميرات وقصر طول البعد البؤرى للعدسات.

* * *

ثالثاً: فنيات إعادة التركيب Reconstruction Techniques

يشتمل تكنيك (فنيات) إعادة التركيب على حساب الثوابت المتعددة المرتبطة بالبيانات الداخلية والخارجية للكاميرا، وعوامل تصحيح العدسة والخصائص الأخرى. بعض هذه الثوابت جزء متكامل لفنية إعادة التركيب بينما عوامل التصحيح الإضافية الأخرى تضاف إلى نموذج التصوير المساحى.

فمثلاً: تفترض قاعدة نموذج التصوير المساحى لا مسافة للعدسة. فإذا فرضنا عدم وجود مسافة العدسة عندئذ يجب إضافة نوع من الانحراف خاص بإعادة التركيب التحليلي. مع ذلك إذا حدث هذا عند دخول انحراف قليل أو عدم انحراف العدسة. ينتج عندئذ خطأ عشوائي أو متأرجح.

الانتقال الخطى المباشر فى الاتجاهات الثلاثة الكامل اللوغارتم (الرمز الحسابى) يحتوى على $\Upsilon\Upsilon$ معلمات (بياناً) الحادية عشر الأولى تساعد مع المبيانات الداخلية والحارجية ومع عوامل تصحيح خط العدسة. أى بعد لأسماء الأمر السابع يمكن إضافته لتوضيح استقامة انحراف العدسة، وزيادة عدد العوامل إلى Υ 1. ويمكن التعبير عن تهذيب مكونات الصور Δ 4 فى المعادلة (٥) كما يلى:

 $\Delta u = a_1 + au_2 + av_3 + u (K_1 r^3 + K_3 r^4 + K_4 r^5 + K_5 r^6).$ $\Delta u = a_4 + a_5 u + a_6 v + v (K_1 r^2 + K_2 r^3 + K_3 r^4 + K_4 r^5 + K_5 r^6). (7)$

حيث أن a_i الثوابت التي تعكس المكونات الخطية لانحراف العدسة وتشويه الفيلم، وتضم الثوابت العوامل من L_i حتى L_i ، بينما L_i طول متجه القطر من نقطة تماثل إلى نقطة تحت التركيز L_i u

إضافة الخمس الأولى غير المعلومة، ، K = ترتيب عوامل انحراف العدسة.

يعكس انحراف العدسة غير المتماثل السبب في مناسبة اجزاء العدسة وتقدير الاختيار من نقطة لأخرى والتي تتماثل كمرجع، نموذج كوترادى -Con rady (١٩١٩م) استخدم للتعبير عن عدم تناسق انحراف العدسة. وأصبحت المعادلة (٧):

$$\begin{split} \Delta u &= a_1 + a_2 u + a_3 v + u^3 \left(K_1 r^2 + K_2 r^3 + K_3 r^4 + K_4 r^5 + K_5 r^6 \right) + P_1 (r^2 + 2 u^{\prime 2}) + 2 p_2 \acute{u} 'v. \\ \Delta v &= a_4 + a_5 u + a_6 v + 'v \left(K_1 r^2 + K_2 r^3 + K_3 r^4 + K_4 r^5 + K_5 r^6 \right) + P_2 (r^2 + 2^{-2}) \\ &+ 2 p_1 \acute{u} 'v. \quad (8) \end{split}$$

حيث أن P_1 ، P_2 = عوامل انحراف العدسة غير المماثلة. والأربع عوامل يمكن إضافتها للمعادلة (Λ) لتقدير المركب غير الخطى لتشويه الفيلم ليقود إلى اكتمال نموذج تهذيب الصورة من خلال Υ عامل.

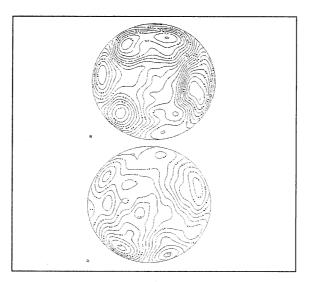
 $\Delta u = a_1 + a_2 u + a_3 v + a_4 u^2 + a_5 r^2 + u^1 \left(K_1 r^2 + K_2 r^3 + K_3 r^4 + K_4 r^5 + K_5 r^6 \right) + \\ P_1 (r^2 + 2\hat{u}^2) + 2p_2 \hat{u}' v'.$

 $\Delta v = a_6^{} + a_7^{} u + a_8^{} v + a_9^{} 2 + a_{10}^{} r^2 + v \left(K_1^{} 2^2 + K_2^{} r^3 + K_3^{} r^4 + K_4^{} r^5 + K_5^{} r^6 \right) + P_5(r^2 + 2v^2) + 2p_1^{} \acute{u}'v. \quad (9)$

كذلك، Δv ، Δu كما في المعادلة (٥) يجب التعويض عنها تبعاً للقيم في المعادلة (٩).

محور دورانه انضم مع المحور الاختيارى. ويدور اللوح بزاوية ٥٩. علاوة على الحصول على ٤٠٠ خطوة حول الدائرة.

مقايس تساوى القطر ومحيط الدائرة وخطأ الاستدارة لأى كاميرا فيديو يكون بعيداً عن أن يكون نصف قطر، والشكل (١٤) يعرض مثالاً لذلك.



شكل (۱۶) مقياس (أ) تساوى القطر، (ب) تساوى محيط الدائرة وتصحيح الاستدارة

- 49

رابعاً: هدف المعايرة وخطا إعادة التركيب Object Calibration and Reconstruction Error

هناك مصادر متعددة للخطأ، ولكن ربما الأكثر أهمية وغالباً ما يهمل وهو ارتباط الكمية وإعطاء الأهمية لقياس معايرة الهدف. يكون من السهل معايرة أى اختراع أو أى أداة من أجل الدقة الأكبر من المستوى الذى تقارن به. لهذا دوبيلن Doeblin (١٩٧٥م) أوصى باستخدام مستوى معايرة ١٠ مرات لضبط الدقة المطلوبة للاختراع أو لمعايرة الاداة.

فى التصوير المساحى يكون هذا أكثر تداخلاً لأننا نستخدم الهدف الذى يقاس بدنيا بمعايرة البيانات الداخلية والخارجية للكاميرا بالتدريج، دقة التجهيزات تستخدم فى معايرة رجوع الهدف ويكون متعارض لأنه أيضاً يتأثر بدقة إعادة تركيب الأبعاد الثلاثة. الشكل (١٥) يلخص بالتدريج مصادر الأخطاء التى يمكن حدوثها فى خطوات مختلفة نحو الحصول على إعادة تركيب الإحداثيات غالباً، إحداثيات العلامات الإرشادية على الهدف المعاير يتحدد باستعمال خريطة مستوى المقاس التى دقتها ٥٠,٠مم. فالقارئ يحكم تقرير دقة إعادة تركيب إحداثيات الأبعاد الثلاثة. بعض مصانع إنتاج الفيديو أسست الانظمة لمد المعامل باختراعات المعايرة، التى سوف تساهم فى تقليل الخطأ.

إلى جانب الانتباه المعطى لقياس معايرة الهدف، هناك عدد من العوامل الأخرى التي تؤثر على الدقة.

وهذه تشتمل على العدد وعلى اختيار علامات الرجوع (الإرشادية) المستخدمة فى تكنيك إعادة التركيب، شكل الهدف المعاير، بالنسبة لوضع الكاميرا، ولوغارتم إعادة التركيب.

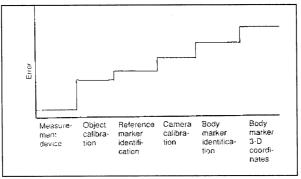
الحد الادنى لعدد النقاط المختارة لتحليل البيانات غير المعروفة في لوغارتم إعادة التركيب تبدل تبعاً للتكتيك المستخدم، من أجل الانتقال الخطى المباشر (DLT)، تنسيق الصورة يتطلب ما لا يقل عن ٦ علامات رجوع.

شابيرو Shapiro أوصى باستخدام من ١٢ إلى ٢٠ علامة رجوع. إذا استخدم أكثر من ٦ علامات رجوع، تؤدى أقل توافق للتربيعات، الخطأ V يكون منشطأ للتأثير عن طريق عدد النقاط، ما دام معايرة الهدف بدقة جيدة. لوريكس، آلارد ومورفى Leroux, Allard and Murphy ما دام معايرة حوالى (١٩٩٠م) قاسوا موضع العلامة من V ٠٠ مم خلال نظام معايرة حوالى V ٠٠ م ومع مسافة من قاعدة الكاميرا إلى الهدف مقدارها V ٠٠ م مع من V علامة رجوع، كانت قيمة الخطأ المطلق V مم و V مم على التوالى .

يجب التنبيه إلى أنه عندما تزيد عدد النقاط يقل خطأ إعادة التركيب. أقل تربيع سوف يقترب من إنتاج أفضل تهذيب، ويستخدم لأكثر سلاسة لنقاط الرجوع عن الحد الادنى، ويكون فعال، ومهما يكن، أيضاً تهذيب أقل تربيع يستخدم لإقلال الخطأ العشوائى، ولا يكون مستخدم فى تصحيح الانحراف التجريبي لهذه النتائج من معايرة مرجع الهدف. الخطأ يجب يقدر ليست فقط بالنسبة للأطوال لمسافة بين علامتين ولكن أيضاً بالنسبة لإحداثيات العلامات المطلقة بنفسها أو بالنسبة لطول العامل المخترع عند النظام الإحداثي للمعمل والعلامة.

تشويش العلامات المرجعية خلال المعايرة يكون أيضاً مهم. ليروكس -Le roux (١٩٩٠م) قارن الأخطاء بعد المعايرة بإضافة علامات انحرفت نحـو الأمام، وللقمة، أو للجانب الأيمن للمكعب المرجعي. أولاً، كان هناك ٨ علامات، وعلامة في كل ركن، وكانت سبع علامات مضافة بالزيادة.

ويلخص الجدول (٣) النتائج التي تعرض أن تشويش الانحراف لعلامات الرجوع ضعف الخطأ وبخاصة في الاتجاه العمودي على مستوى الفيلم (الاتجاه Z).



شکل (۱۵)

انتشار الاخطاء الدالة للخطوات المختلفة المتبعة للحصول على إعادة تركيب الإبعاد الثلاثة.

جدول (۳)

الخطأ المطلق (الانحراف المعياري) لكل من العلامات المشوشة المعالم

قيمة النطأ خ٢ س+خ ص٢+خ ٢٥	EZ النطأ السفمى (خ س)	EY الخطأ الرأسى (خ ص)	EX الخطأ الأفقى (خ س)	موضع العلامة
·, 0 { (·, {0)	· , ٤٦	·, \A	., ۲۳	القمة
· , 0 A	٠,٤٨	٠,٢٣	., ۲۲	اليمين
(·, ٤٥) ·, ٥٧	(· ,٣٦)	(· , ۲۲)	(· , ۱۷)	أمام
(· , ٤٩)	(· , ٤ ·)	(· , ۲۲)	(· , ۱۹)	

جدول (Σ) الخطأ المطلق (الانحراف المعياري) في إحداثيات علامات الهدف

قيمة الخطأ	نے سEZ	نے س EY	نے س EX		موضع
خ س۲+خ ص۲+خ ی۲	الخطأ السهمس	الخطأ الرأسى	الخطأ الأفقى	النوع	العلا مة
(قـم)	(هـم)	(فـم)	(هـم)		
۰ ,۳۹	٠,٣١	٠,١٧	٠,١٦	داخلي	خلف
(٠,٢٨)	(· , ۲ ·)	(· , 10)	(· , ۱۳)		
٠,٦٠	٠,٢٦	. ,٣٣	٠,٢١	خارجي	
(·, ٤٧)	(٠,٣١)	(٠,٢٦)	(· , ٢٤)		
(.,00)	٠,٤٨	٠,٢١	٠,١٧	داخلي	يسار
(٠,٣١)	(· , ٢٤)	(· , ۱۷)	(· , 1 ·)		
(1,0.)	١,٣٧	۰ ,۳۹	٠,٤٧	خارجي	
(1, . 7)	(٠,٩٦)	(۲۲,٠)	(· , ٢٣)		
		:			
۰,٥٣	٠,٤٤	٠,٢٦	٠,١٤	داخلي	أعلى
(٠,٢٧)	(• , 19)	(· , ۱۷)	(·,·Λ)		
٠,٧٩	٠ , ٤٣	۰ ,۳۹	٠,٥٤	خارجي	
(·, ٤v)	(+, ٢٩)	(۲۲,٠)	(·, ٢٧)		
					1

تنبيه: وقعت العلامات الداخلية خلال معايرة المسافة- وقعت العلامات الخارجية خارج معايرة المسافة.

. . .

منذ لحظة معايرة التصوير المساحى، عندتذ يكون فى الإمكان تحديد مواضع علامة الهدف. ولتجنب استكمال الأخطاء، سوف نسقطهم خلال معايرة الكادر. يعرض جدول (٤) الخطأ المطلق فى إحداثيات علامات الهدف محتداً من الخلف إلى البسار أو من أعلى عن معايرة الكادر: الخطأ الضعف أو أكثر.

وود Wood ومارشال Marshall (۱۹۸۱م) وجدا أن استكمال الخطأ كان ٥٠٪ إلى ١٠٠٪.

خلال هذا الفصل، سلمنا بما يلى:

أ- أن تعدد علامات الصور يسهل تعريفها.

ب- أنها تظهر وصف علامات المفاصل للجسم. بالإضافة لذلك، عملياً ملفات البيانات يجب أن تكون معدة للطبع وإبعاد التشويش من إدخال مصادر الضوء إلى العلامات الحمراء بعد الحساب أو مشاكل الظلال، وحشر البيانات الخاطئة، ولتصحيح نتائج إزاحة العلامة من حركات الجلد، وهكذا. والترينج Woltring، وهويسكس Huiskes) تنبأ بأن الزمن عند التعرف على المجموعة. وتكنيك الذكاء الصناعي يجب أن يكون أكثر انتشاراً لتطبيق بيانات أنظمة الحاسب الآلي من أجل تحليل حركة جسم الإنسان.



- Allard, P., Duhaime, M., Labelle, H., Murphy, N., & Nagata, S. (1987). Spatial reconstruction Technique and Kinematic Modeling of the ankle. Enginering in Medicine and Biology, 6, 31-36.
- 2 André, B., D,ansereau, J., & Arllard, P., (1990, November). Calibration Object Mesurements and Three- Dimensional reconstruction accuracy of the DLT algorithm. Paper Presented to the 14 th annual Meeting of the American Society of Biomechanics, Miami, FL.
- 3 Antonsson, EK., & Mann, R.W. (1989), Automatic 6- D.O.F Kinmatic Trajectory acquisition and analysis Journal of Dynamic Systems, Measurement and Control, 111, 31-39.
- 4 Ayoub, M.A., Ayoub, M.M., & Ramey, J.D. (1970). Astereometric System For Measuring human Motion. Human Factors, 12, 523-535.
- 5 Conrady, A. (1919) Decentering Lens Systems. Monthly Noticces of the Royal Astronomical Society, 79.
- 6 Dapend, J. Harman, E.A., & Miller J.A. (1982) Three- Dimensional Cinematography With Control Object of Unknown Shape Journal of Biomechanics, 15, 11-19.
- 7 de Groot, G., de Koning, J., & Van Ingen Schenau, G.J. (1989) Method to determine 3-D Coordinates With Panning Camers, Paper Presented to the XIIth International Society of Biomechanics Meeting,
 Los Angeles, 297.
- 8 de Haan, T., & den Brinker, B- (1988) Direct Linear Transforrmation Method For 3-D registration Using Subject Tracking Cameras. In. G. de Groot, P.A. Hollander, P.A. Huijing, & G. J. Van Ingen Schenau

- (Eds.) Biomechanics XI- B (pp 1051-1056). Free Univrsity Press.
- 9 Doeblin, E.O. (1975) Measurement Systems: Application and Design. New York: Mc Grow- Hill.
- 10 Fraser, C.S. (1982) On the use of Nonmetric Cameras in analytical Close- rang Photogrammetry. Canadian Surveyor, 36, 259- 279.
- 11 Hallert, B. (1960). Photogrammetry, New York: Mc Grow-Hill.
- 12 Krara, H. M., & Abdel- Aziz, Y.I.. (1974) Accuracy aspects of non-Metric Imageries. Photogrammetric Engineering, 40. 1107- 1117.
- 13 Leroux, M., Allard, P., & Murphy, N. (1990, November). Accuracy and Precision of the direct Linear Technique (DLT) in Very- Closerange Photogrammetry With Vidio Cameras. Peper Presented to the 14th annual Meeting of the American Society of Biomechanics, Miami Fl.
- 14 Marzan, G.T. (1975). Rational desigan For Close- range photommetry, Doctoral dissertation, University of Illinois at Urbana- Champion, Xerox University Micro Films.
- 15 Shapiro, R. (1975). Direct Linear Transformation Method For Three-Dimensional Cinemato graphy. Research Quaretly, 49, 197-205.
- 16 Stokes, I.A.F., Bigalow, L.G., & Mareland, M.S. (1987) Three dimensional Spinal Cuvature in idiopathic Scoliosis. Journal of Orthopaedic Research, 5, 102-113.
- 17 Tsai, R. Y. (1987), Aversatile Camera Calibrtion Technque For high-accuracy 3-D Machine Vision and Electronic Engineering Journal of Robotics and Automation, RA-3, 323-344.
- 18 Wolf, P. R. (1983). Elements of Photogrammetry. New York: Mc Grow-Hill.

- 19 Waltring, H.J., & Huiskes., R. (1990) Stero photogrammtry- In. 14. Berme & Acappozzo (Eds), Biomechanics of human Movement: Applications in rehabilitation, Sports and ergonomics (pp. 108- 127). Worthington. OH: Bertec Corporation.
- 20 Wood, G.A., Marshall, R.N. (1986). the accuracy of the DLT extrapolations in Three- dimensional Film analysis. Journal of Biomechamics, 19, 781-785.

الباب الثالث الإجراءات الأساسية لنظم تصوير الأبعاد الثلاثة بالفيديو Instrumententation in Video Based Three Dimension Systems



فى عام ١٨٩٢م جون ويليام John Williams أكد أن النسبة بين كثافة الأكسوچين Oxygen والهيدروچين Hydogen هى ١٥,٨٨٢١ أى أقل من ١٦. وكذلك منذ مائة عام مضت لورد رايلايف Lord Rayleiph صحح المقولة المأثورة "أن العلم فى القرن العشرين يتطلب الدقة حتى الأرقام العشرية الرابع والخامس.

واليوم الإجراءات لقياس الأبعاد الثلاثة تؤهلنا من أجل العلم فى القرن الوأحد والعشرين.

* * *



™ الفصل الأول

أُولاً: تقويم السيطرة على البيانات والمعلومات ثانياً: كثرة التضليل في الحسابات ثالثاً: عامل التحكم الأفضل



الفصلالأول

أولاً: تقويم السيطرة على البيانات والمعلومات the evolution of Data and Processing المعلى المفيلم الأول فى بعض الاحتياجات ظهرت منذ تطبيق القياس التخطيطى للفيلم الأول فى القرن التاسع عشر، والتقسيم التالى يلقى الضوء على هذا التقويم.

من الفيلم إلَى السيطرة الالكترونية From Film to Electronic Copture

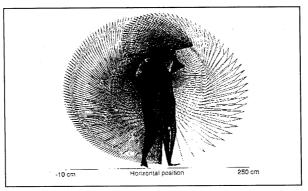
أدت إمكانية تسهيل ثمن ارتفاع حساب تحليل الفيلم إلى جذب معتدل الاختصار بيانات الحركة. سهل تصوير المسابقة وتحميض الفيلم (وكذلك استغراق الزمن) بالمقارنة بعملية التحليل الحركى.

يتطلب تحليل الفيلم دقة معينة في المسار البصرى لعرض الفيلم على شاشة عرض، الميكانزم السريع المفسر للبعدين Y,X.

هذه الأنظمة عممت في سنة (١٩٧٠م)، ولكن العائق الأكبر كان كمية الوقت اللازم للتحليل اليدوى للبعدين ٢, ٪، ومثال لذلك مرجحة الجولف المسجلة بالتحليل الكامل للأبعاد الثلاثة للجسم باستخدام نظام الأربع كاميرات مع المسجلة رجوع، ٤ كاميرات، كاميرتين ثابتتين للبيانات من كل كاميرا من الكاميرات الأربعة، سرعة كاميرا ١٠٠٠ كادر في الثانية. سوف تمتلك ٢٠٤×٢٠٤ و ٢٠٠٠ نقطة بيانات. سوف يأخذ التحليل الحركي اليدوى عند (١) "السريع كادر كادر" في الثانية ٧ ساعات بدون توقف العرض كادر كادر! وأخيراً الحاسب الآلي أوصلنا لسرعة الأداء.. الشكل (١٦) يعرض رسم تخطيطي للصور لكل مرجحة والتي حللت آلياً في الوقت الحقيقي في سنة ١٩٨٨م.

ثانياً: كثرة التضليل في الحسابات More Sophisticated Computations

أصبح تقويم أقراص الحاسب الآلى. Hard Disk، ومنهجية البرامج Soft جزءاً هاماً وضرورى في عمليات تجهيزات الأبعاد الثلاثة فمثلاً التطور في تكوين الموديل النظرى للقياس باستخدام تكنيك الانتقال الخطى المباشر في تكوين الموديل النظرى للقياس باستخدام تكنيك الانتقال الخطى المباشر «مشاكل العلاقة». Correspondence Problems، والتي حللت عدد تقاطع الحظوط المعتدلة لعرض أشعة البعدين خلال الأبعاد الثلاثة الفراغية . (حلل ايرليار Earliar مسار الأجزاء بالاستخدام اليدوى للبعدين لإعادة تركيب المسار خلال الأبعاد الثلاثة). وانتفعت من تصحيح المنهجية الوحدات غير الخطية، كالعدسات أو كاميرات الإحساسات غير الخطية، وحالياً من خلال التسهيلات



شكل (١٦) النموذج التخطيطى للصور من التحليل الآلي للابعاد الثلاثة لمرجحة الجولف باستخدام كاميرا فيديو سرعتها ٢٠٠ كادر فى الثانية

للقدرة العظيمة للسيطرة، طورت الطرق الكثيرة المضللة لتحسين العمل الشاق والدقة في إعادة البيانات من نقاط الأبعاد الثلاثة.

ثالثا: عامل التحكم الافضل Better User Control

بعض البرامج الأولى في السيطرة على الأبعاد الثلاثة للإحداثيات من المناظر المتعددة للبعدين اللازمين لبيانات Y, X سجلت في استمارات وبعد ذلك قرأت عن طريق الحاسب الآلي. الأخطاء اكتشفت عن طريق المحاولة والحظأ وصححت بطرق شاقة. في الماضي والحاضر القريب التقدم سمح بأكثر وأعظم تصور مباشر لرد الفعل الداخلي من خلال البيانات المحررة واليدوية لإعادة تركيب المسار لحد ما في مجموعة رسومات للبيانات (مثل ذلك فقدان أو التعمق في الأهداف).

ظهور استخدام الرسم البيانى المتداخل الأوجه، -graphical User inter) faces (GUIs) وفأر الطباعة، وشاشة الحاسب الآلى العالية التحليل سهلت التقدم لإعادة تركيب التصور المركب لمجموعات بيانات الأبعاد الثلاثة.

* * *

الفصل الثاني الفصل الثاني

أولاً : تطبيقات البرامج "الغلق ــ الرفع" ثانباً : مكونات الحاسب الآلى الداخلية ونظام تطويرها



الفصلالثاني

$O\!f\!f$ - the - shelf Applications Soft Ware «ولا: تطبيقات البرامج

عندما بدأ نظام الأبعاد الثلاثة في التسويق، كانوا يملكون القليل من البرامج (Soft Ware) للسيطرة على الإحداثيات Z, Y, X وتطبيقات أى برامج كنماذج لحركات جسم الإنسان ارتفعت بالنسبة للمشترى.

المجموعة الفنية من البرامج لدراسة حركة جسم الإنسان هذبت طرقها تدريجياً من البحث الجزئي إلى التسويق التجارى. كمثال الغلق والرفع - off تدريجياً من البحث الجزئي إلى التسويق التجارى. كمثال الغلق والرفع - the - Shalf وجدت البرامج كنماذج لكتل وأطوال أجزاء جسم الإنسان. وهناك برامج أيضاً بالتزامن مع قياس منصة القوى بصورة جيدة. ومع ذلك كله تسمح هذه البرامج بحساب القوى مباشرة وعزم الدوران حول المفاصل، كل هذا يمكن اتمامه بالضغط على مفتاح حيث يتم كل شئ آلى للتحليل في الاحداثيات Z, Y, X من منظر منفرد من كاميرا واحدة كادر كادر للبيانات.

ثانياً: مكونات الحاسب الآلي الداخلية ونظام تطور ها Hard Ware and System Developments

هناك أيضاً أنظمة لتحليل الأبعاد الثلاثة تستخدم غير مؤسسة على نظام الفيديو، وهذا الفصل يوضح الأنظمة المؤسسة على الفيديو والأكثر انتشاراً. عيل الاتجاه نحو تصور عدد من الإنتاج للتسويق يستخدم الفيديو كبناء مجمع لمجال الحركة وأنظمة التحليل. وأيضاً أنظمة القياس المؤسسة على الفيديو سوف تستفيد من الاتجاه الدولي المركز على تطوير الارتفاع بمواصفات التليفزيون (High- difintion Television) HD TV (High- difintion تفيديو والتي كافيه لدرجة السيطره على الزمن الحقيقي للمعلومات من الفيديو والتي أصبحت تحت التطور في كثير من المعامل.

B

الفصلالثالث

أولاً : كاميرات الڤيديو ثانياً : الڤيديو والسرعة العالية ثالثاً : الاستنتاجات والتنبؤ

المراجع

الفصل الثالث

أولاً: كاميرات الفيديو Vidio Cameras

تأثرت تكنولوچية الرادار من الحرب العالمية الثانية وتطور التليفزيون تجارياً من سنة ١٩٤٠م إلى سنة ١٩٥٠م إلى سنة ١٩٥٠م إلى سنة ١٩٥٠م إلى شفدم بفضل تحسين تكنولوچيا القياسات الالكترونية. والدلالة العلمية لتطور تكنولوچيا كاميرا لفيديو وشملت ما يلى:

* كاميرا فيديكون the videcon camera - وكانت هذه أول كاميرا، غالية
 التكاليف، وكاميرا الفيديو العلمية بالواير، wire (بالسلك).

الأجسام الحساسة الثابتة -sold - stote sensore من خلال تقديم (نصف موصل مادة الأوكسيد (Metal Oxide Semiconductor (MOS)، جهاز شحن مزدوج (Charge - Coupled divice (CCD)، أجسام حساسة ثابتة أخرى، وظهرت مشاكل عديدة من الكادر من نوع الواير وعلى سبيل المثال، تلطخ الصورة أي غير واضحة، أيضاً ظهرت مشاكل التسخين (منظم التنقية الاكتروني) وظهور التشويش الهندسي كمصادر للأخطاء.

يقال أن الكاميرات بنظام البطاريات خطأ التشويش الهندسى فيها منعدم (صفر ٪)، لاستخدام تكنيك محكم لحجب الصورة عند طبع ترتيب الصور الحساسة على أنبوبة أشعة الكاسود بالأجسام الثابتة.

* حاجب العدسة الالكترونى أو الميكانيكى : نظام حجب العدسة ميكانيكياً في كاميرا الفيديو يمكن تساعد على إقلال تشويش الصورة خلال حركة الأهداف. إذا كانت الكاميرا بدون حاجب للعدسة، عندئذ حساسية الصورة تظهر كصورة من خلال دوام زمن مجال الفيديو، أو 60 أم 1/60 s in a 60) سرعة الكاميرا ١/٠٠ مجال في الثانية بذبذبة ٦٠ هـ.ت. حاجب العدسة الميكانيكي يستعمل بضبط قرص دائري بشريحتين، متزامنتين

مع دورة كادر الكاميرا. يحدد اتساع التصوير للشريحتين زمن إظهار حاجب العدسة (فمثلا- نفس الشريحتين تعطى زمن أسرع لحاجب العدسة).

يقلل حاجب العدسة كمية الضوء لدرجة الحساسية المطلوبة. يحل حاجب العدسة الالكتروني مكان حاجب العدسة الميكانيكي في الكاميرا. الإشارات الالكترونية طبقت في تنشيط الأجسام الحساسة الثابتة Sdid State أو إبطال فعاليتها بنفس تأثير الحاجب الميكانيكي.

حاجب العدسة الالكترونى ألغى التنويعات الميكانيكية، والتى أصبحت هامة فى التركيز على تنسيق كاميرا الثلاثة أبعاد التى تتطلب عدم تحركها بعد المعايرة، وأيضاً الحاجب الالكترونى Electronic Shutters غير حساس لصدمات الشحن المتنوعة.

تقويم كاميرات الفيديو Video Cameras ، المسجلات Recorders ووحدات إعادة التشغيل (العرض) Play back ، وشاشات العرض Monitors كانت سلعة تجارية باهظة التكاليف في الاسواق، وأخيراً عن طريق أسواق أندية الفيديو ، home Video Market ، والانتاج العالى والتسابق الدولى أدى إلى إنتاج نوعية جيدة من الوحدات وبتكلفة معقولة.

هذه الوحدات صممت لإظهار اللون والتحليل الجيد، ومحددة وفق مواصفات التصميم Pal, NTSC.

ولأن عين الإنسان عادة هي العين النهائية المستخدمة، هذه الوحدات لم Z, Y, لغراض القياس، حيث أن القيمة النهائية هي دقة المحاور X واستخدامات الأجهزة مستقبلاً سيكون هناك تداخل معنوياً بين تلك المطلبين.

* * *

ثانياً: الفيديو والسرعة العاليّة High - Speed Video

الفيديو ذو السرعة العالية يقدر عامة بتردد كادرات الفيديو التى تكون الاسرع من تردد لوحة الكاست التقليدية. ٣٠ مجال فى الثانية -Rs 170/Rs مستوى منوكروم. ٥٢٥ خط (٨٠) خط للرؤية) و ٢٥ مجال فى الثانية نظام بال الأكثر انتشاراً لاستخدام تردد الفيديو فى إجراءات القياس بالفيديو.

فيديو ٥٠ هـ.ت. و ٦٠ هـ.ت و ٥٠ هـ.ت

يمكن مضاعفة السرعة بواسطة استخدام إشارة الفيديو كمجالين منفصلين (تعبر عن مجال A، مجال B) والتي تحسب كادر فيديو واحد، في نظام ٢٠. هـ.ت، هناك ٢٤٠ مشهد في الخطوط الأفقية في المجال. هذان المجالين المتداخلين للفيديو يقرران التردد عند ٢٠ مجال في الثانية. يجب توخي الحذر عند استخدام أجهزة القياس، لأن اختلاف مجموعة حساسية الكاميرا تقرر كل مجال وهناك إزاحة بينه. يمكن تنتج هذه الأخطاء التي يمكن تسويتها بالنظام الداخلي لإعادة تركيب نقاط البعدين أو الثلاث أبعاد (جريافيز 1947 Greaves).

التداخل أو عدم التداخل في ٥٠ أو ٦٠ هـ.ت Interlacing VS Noninterlacing at 50/60 Hz

صمم التداخل للتحضير للتسوية بين تميز الإنسان للاهتزاز Ficker وأعلى وضوح للصورة في الاتجاه الرأسي. هذه التسوية لا تطبق في نظم القياس بالفيديو. تأثير الخطأ الرأسي بين المجالين A, B يمكن تصحيحه بادخال معين عن طريق برنامج متداخل مناسب. أيضاً، الدائرة المتداخلة في كاميرات فيديو معينة، بالإضافة إلى انتاج عدم التداخل أو حذف التسلسل الذي يقرر مجالات A, B من نفس مجموعة الأجسام الثابتة الحساسة.

شطر صور الفيديو السريع Split -Image high Speed Video

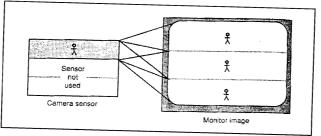
طريقة أخرى للحصول على ترددات أعلى للكادر وهى فلق أو شطر صورة الفيديو الى إطارين أو أكثر حيث يقسم الصورة إلى خطوط أفقية. كل خط يحتوى على عدد أقل من العدد الكامل للخطوط الأفقية المساعدة خلال صورة الفيديو العادية ولذلك الوضوح الرأسي يكون منفرد ومعزول. فمثلاً خلال صورة الفيديو العادية بتردد op هـ. op والذي يمتلك op خطوط روية ، الصورة يمكن شطرها إلى ثلاثة إطارات، كل منها op op op op خط رؤية كما في شكل (١٧) الاكترونات في هذه الكاميرات الخاصة تنسق خدمة إعادة بداية وقمة op op خط حساسية الصورة عند op op هـ. op الرؤية يعطى op op op op التردد من أجل واحد لثلاث من مجال الرؤية الرأسي.

بالإضافة إلى أن عادة تفقد قليل من الخطوط في عمليات تشغيل مفاتيح الكهرباء، وفي هذا المثل يمكن أن يكون أقل من ٨٠ خط رؤية.

الميزة الرئيسية لنظام شطر الصورة سببها التكلفة التجارية المتاحة للفيديو السريع VCRs، وشاشات العرض Monitors الممكن استخدامها. تمد الكاميرا الثابته العادية التزامن الرأسى عادة بتردد ٦٠ هـ.ت. لذا الفرد يمكنه رؤية النتائج على مستوى شاشة العرض للفيديو، وتكون رؤية تعدد الإطارات سهلة كإطارات أفقية. تنظيم تسجيلات الفيديو ووحدة إعادة العرض أيضاً تعمل من خلال هذه الإشارة لأنها تظهر كإشارة عادية ٦٠ هـ.ت.

الكاميرا غير المتداخلة تعمل أفضل من أجل هذا التطبيق أو بمعنى آخر النظام سوف يقرر ثلاث كادرات من المجال A وثلاث كادرات من المجال B في ١٨٠ هـ.ت كما في المثال السابق.

* * *



شكل (۱۷) شطر صورة كاميرا الفيديو السريعة وشاشة العرض ۱۸۰ هـ.ت

اعلى من ٦٠/٥٠ هـ.ت Above 50/60 Hertz

ترددات الكادر أعلى من ٥٠ أو ٦٠ هـ. ت التقليدى تتطلب ترددات مجال الفيديو كاميرات غير عادية بدوائر خاصة الكاميرات السريعة High غير Speed Cameras من أجل بناءها (تركيبها) لهذا الغرض تكون غالبيتها غير متداخلة ومتنوعة لان المتداخلة ضد غير المتداخلة وظهرت فقط نتيجة للترددات التقليدية لمراقبة الانسجام مع بقاء ارتفاع تكلفة نوع الأجهزة. لذا، الوضوح بين كادر الفيديو ومجالات الفيديو المركبة فوق بعضها غير ممكن، وكلمة أو مصطلح تردد الإطار (الكادر) يمكن استخدامه بدون غموض، كما في التصوير السينمائي. الكادر يعبر عن صورة كاملة أخذت عند لحظة من الزمن. يتطلب استخدام كاميرات الفيديو، والتسجيلات، وشاشة العرض من أجل السرعة العالية ما يلي:-

* القدرة على تزامن الومضات (رأسية، أفقية) عند أعلى خط وترددات الكادر.

القدرة على إنتاج المعلومات عن المقياس الرمادي عند الترددات الأسرع ك Pixel .

هذه المتطلبات تنتج تصميمات فردية لوظائف كل من مكونات الحاسب الداخلية Hard Ware .

الكاميرات السريعة High Speed Cameras

كاميرات الفيديو السريعة مثل مثيلتها المنخفضة السرعة، يمكنها امتلاك منتج قياسى أو منتج رقمى. الضوء الذى يسقط على إشارة البيكسل (Pixel) فى نفس نوعى بعدى ناقل الحساسية للكاميرا يكتمل وقت ظهوره فوق حاجب العدسة ويحدد عند اللحظة الزمنية للإشارة القياسية إذا رقمت الكاميرا هذه الإشارة، إذا فهى كاميرا رقمية digital Camera إذ كبرت الكاميرا الإشارة القياسية وارسلتها كإشارة قياسية (كما الحالة خلال 343/Pal و170/Rs- 343/Pal)، إذن فهى كاميرا قياسية (كما عمال عبانات النيار من الكاميرا التقليدية على مديرا عياسيل أفقى أمكن حسابه كما يلى:

525 Lines / Frame X 500 Pixels / Line X 30 Frames / s = 7.88 Million
Pixels / s

ويكون نفس التردد من الكاميرا غير المتداخلة:

262.5 Lines / Field X 500 Pixels / Line X 60 Fields / s = 7.88 Million Pixels / s = 7.88 Million

من أجل القياسات العادية تمتلك فترات بينية في كلا الفراغين (الرأسي والأفقى) لإعادة السرعة، الومضة المفاجئة (اللحظية) عند أي كاميرا قياسية يجب أن تحرر معلومة القياس الأخضر وتكون أعلى من الكاميرا الرقمية، ويجب أن يرسل ٥٠٠ بيكسيل (Pixels) في كل خط حوالي ٨٣٪ من كل زمن الخط، لذا الومضة (الردة) اللحظية تكون ٩,٤ ميليون بيكسيل / ثكل زمن الخط، لذا الومضة (الردة) اللحظية تكون ٩,٤ ميليون بيكسيل / ث

بيانات الومضة في الكاميرا الرقمية أبطئ، إذا نفذت معلومة التزامن بوير منفصل أو قناة وليس في حاجة إلى تسرب في بيانات القناة التليفزيونية. بالنسبة للكاميرا المساوية ٥٢٥ خط، يكون المنظور ٤٨٠ وتحتاج للترقيم: 480 Lines / Frame x 500 Pixels / Line x 30 Frames /s = 7.2 Million Pixels/s

عند الثمان قطع في كل بيكسيل (المنتشرة في الميتوكروم فيديو -mono) (chrome video) تكون بيانات الومضة كما يلي:

7.2 million Pixels /s x 1 byte / Pixels = 7.2 million bytes/ s. or 58 million

السرعة التقليدية لقنوات التليفزيون الآن تفضل فقط ١٠ ميليون /Bite كالمادة الخام لاتساع الشريط، حيث أن أجدد ليفة بصرية لشبكة (المعلومات للحاسب الآلي المعمم تفصل ١٠٠ مليون بيتز/ ث (100million) bits/s) ويمكننا رؤية لماذا الفيديو الرقمي لم يعمم كشكل قياس، بسبب الرخص النسبي للكابل ذو الموصليين وإماكنية تحمله آلاف الميجاهرتس للمعلومات القياسية. هذه الحالة سوف تتغير في العشر سنوات القادمة عندما تقيل القنوات التليفزيونية الرقمية بالتدريج محل متوسط القياس التقليدي. استعداد النقل الرقمي والرسومات والآلياف البصرية اكتسبت استثناء في صناعة التليفون للنقل لمسافات بعيدة بين شبكات المعلومات اتساع الشريط الصوتي للتليفون يستخدم ٦٤ ألف بيتز/ ث (64,000 bits/s)، حيث تكون في حجمها ثلاث أمثال أصغر من التي في الفيديو مونوكروم.

حدود العامل فى تصميم الكاميرات ذات السرعة العالية هو الومضة التى عندها يمكن نقل معلومات grey- sclpixel من رقيقة ناقل الإحساس، سواء كانت الكاميرا على شكل قياسى Analag أو رقمى digital.

7.2 Million Pixels / s x 4. إذا تمكنت الرقيقة من تحريك المعلومات عند . or 28.8 million Pixels / s then a 30 x 4 = 120 - Hz Full Frame (480- Line) Camera Can be built.

* * *

منتج الكاميرات المتوازنة Parallel Output Cameras

يكن زيادة حدود سرعة ناقل الحساسية للكاميرا (حوالي ٣٠ مليون بيكسيلز / ثانية) عن طريق تطوير ناقل الحساسية للكاميرا الذي يمتلك أكثر من فتحه واحدة لإنتاج الضوء. كمثال، إذا شطر مجال الصور للكاميرا ٣٠ مليون بيكسل / ث ((Mpixel)) إلى ثمانية خطوط رأسية أو أفقية، لكل منها منتج لانتاج الضوء، عندئذ تأثير اتساع شريط الكاميرا يمكن ضربه في ٨, لذا، تنتج الكاميرا ١٢٠ هـ. ت ((N+1) + N)) أو (N+1) كادر كامل للصور/ ثانية. وهذا مثل الإنتاج المتوازي للكاميرا الذي بني وطور صور الفيديو السريع. الاستعداد المسبق الخاص يجب عمله لتسجيل ورؤية ناتج تلك المنتج للكاميرات المتوازية، حيث أن المسجلات وشاشات الفيديو العامة لها قناة واحدة فقط.

مثل كاميرات الفيديو العادية ٣٠/٣٠ هـ.ت كسبت بيكسيل أفقى كثير، ناقل الحساسية ومساعدته الاكترونية تتطلب اتساع شريط أعلى لمجابهة متطلبات العدد الأعلى للبيكسيل. كمثال، إن كاميرا ٥٠٠ بيكسيل أفقى تشير إلى أكثر من ٢٠٠٠ بيكسيل، إذن يكتسب اتساع شريط التسجيل أرقام تفوق ضعف ٧٠/٨ × ٢ أو ٨٥/١ ميليون بيكسل / ثانية.

* * *

مسجل سريع . وحدات إعادة العرض High - Speed Recorder - Playback Units

هناك أيضاً حاجة إلى وحدات تسجيل وإعادة عرض خاصة واتساع شريط لشاشة العرض لتطبيقات الفيديو السريع، وهى غير منتشرة لتكلفتها الباهظة ومع ذلك تنتج تلك الوحدات العالية الأداء فى أحجام صغيرة وتكلفة أكثر من مثيلتها المنخفضة السرعة، ومازال هناك نوعين لميكانزم التسجيل وإعادة العرض الخاص والتي تم تطويرها من أجل التسجيل المرتفع السرعة.

خصائص سرعة التسجيلات Proportional Speed Recorder

مسجل الفيديو كاست (VCRs) القادر على تسجيل سرعة الفيديو العالية يتعذر الحصول عليه لارتفاع ثمنه عن الكاميرات المساعدة، أحد البرامج المستخدم في تسجيلات السرعة العالية ميكانزم تسجيل الدوران الداخلي (شريط، رأس التسجيل، رسم) عند أعلى السرعات. لذا من أجل تسجيل ١٨٠ كادر/ ثانية، منتج الكاميرا (مخرج الكاميرا) يجب أن يكون ١٨٠ كادر/ ثانية والمسجل "يصور" أي خصائص 343 - Rs - 170/ Rs يستقبل إشارة باستخدام شريط عادى مصنع بثلاثة أضعاف السرعة العادية. جميع أزمنه انتقال البيانات وومضات التزامن تكثف بواسطة العامل ٣.

شريط التسجيل وأدنى شريط يجب عتلك سعة تسجيل عند أعلى تلك الترددات، والتي ستكون T × V, V ميليون بيكسيل/ ثانية، أو V, V ميليون بيكسيل/ ثانية، من الكاميرا · هـ.ت، · · · ٥ بيكسيل أفقى. صممت آلة التسجيل لإنتاج · V · V هـ.ت لتكثيف الشريط العادى، كماركة V أو V ·

مجرجات أو مدخلات التسجيلات المتوازية Parallel Input / Out Put Recorders

من أجل السرعة الأعلى للتسجيل - إعادة العرض من مخرجات توازى الكاميرات. تحتاج إلى مسجل للمدخلات / المخرجات المتوازية. كل فتحة ضوء منتجة من الكاميرا السريعة (الذي يصف كل جزء من جميع الصور).

تساعد من خلال قناة التزامن من خلال انتشار (امتصاص) شريط التسجيل لتسجيل الفيديو لهذا الجزء. الشريط الخاص خلق للمخرج المتوازى للقنوات. ولاعادة عرض الشريط، ميكانيزم إعادة العرض تقرأ كل قناة، قبل إعادة تجميع الكادر الخاص، والشرائح لكل كادر كامل، وإعادة عرضها على شاشة العارض.

شاشات العرض السريعة Hight - Speed Monitors

وظيفة شاشة العرض فى نظام القياس بالفيديو هو إظهار المعلومات التى يحتاجها المستخدم للتأكد من نوعية الصورة من أجل الترقيم أو التسجيل. هل البعد البؤرى للعدسة موضعه صحيحاً؟ هل توقيف موضع البعد البؤرى صحيح الإضاءة؟ هل مجال المنظر صحيح لجذب جميع الوحدات المسجلة أو المرقمة؟ ولأن الترددات العالية للكادر لا تحتاج لهذا، شاشة العرض العادية السرعة العالية للصورة من الكاميرا – مثال: سرعة الضوء "لنزع الكادر" الجاذبة للصورة من الكاميرا وإعادة عرضها على شاشة عرض عادية ترددها $-\infty$ - $-\infty$ - $-\infty$ - $-\infty$ - $-\infty$ - $-\infty$ الصورة المناهية عرض - $-\infty$ - $-\infty$ المعادرة الماهية عرض - $-\infty$ - $-\infty$ المعادرة التاليتين يهملوا وتعرض على شاشة عرض التاليتين يهملوا (يتركوا).

شاشات العرض السريعة High - Speed Monitors التي تعرض كل كادر للكاميرا على CRT دخلت في العمل من آجل تطبيقات معينة، وأيضاً هي عادة قليلة وأكثر تكلفة من مثيلاتها المنتشرة ٣٠/٣٠ هـ.ت المنعكسة الأجراء.

177=

تكثيف الثيديو و V C R الرقمى . V C R الرقمى

حتى هذه اللحظة هناك تطور عظيم ومستويات كثيرة في عملية تكثيف الوقت الجقيقي للفيديو والإشارات السمعية.

مجموعات المستويات الدولية دفعت المستوى التجارى المتميز للتكثيف الخاص للصورة. (مجموعة خبراء تصوير المفصل).

(JPEG) (Joint Photographic Group)، مجموعة خبراء الصور المتحركة) MPEG (Motion Picture Exerts Group) قسمت إلى نظام المستوى الدولى ISO (International Standards Organization الدولية الأمريكية (American National). . . إلخ.

. . . . Ansi Standard Group)

عمليات الفيديو: الاحتياجات والاستخدام Video Processors : Need and Uses

تدل عمليات الفيديو عامة على الآلة التى تقوم بالعمليات الصناعية أو تعديلها للزمن الحقيقى لاشارة الفيديو بأى من طرق القياس analogy الترقيم Digital أو بعض التركيب منهما. عمليات الفيديو لقياس النقاط فى ثلاث أبعاد فى الفراغ تختلف تماماً فى بنائها وأدواتها عن عمليات الفيديو الذى وظيفتها طبع الصورة أو تغطية معلومات أكثر لعين الإنسان.

لذا بذل جهد كبير فى سبيل تطوير عمليات الفيديو أولاً لرؤية المخرجات. واختلفت عمليات الفيديو من أجل متطلبات القياس عن تلك العمليات من أجل رؤية الصورة.

يشتمل العمل في أكثر أنظمة عملية صنع الصورة على:

(١) الصورة أو تمييز النقط السوداء : التي تكون كهدف (أو علامة) وما ليس هدف (الخلفية المحيطة بالهدف).

(٢) موضع الهدف في الكادر المقرر، مع إقرار أعلى دقة ممكنه يسمح بها النظام: معظم أنظمة تحليل حركة جسم الإنسان أهدافها واحدة، مثل إيجابية عاكس الضوء الخلفي للنقاط أو الأجسام الكروية، ونظم أخرى لرؤية الحاسب الآلي لم تظهر هذا الاسراف. التعاظم التعاوني في الهدف يسهل عمل تنظيم الصورة، لأن الأهداف يمكن صنع طبعها بكثرة عن الخلفية المضاءة. هناك تحفظ نحو هذا المدخل ربما يكون التقيد بالإضاءة. (من الصعب جداً الحصول على التوفيق بين إضاءة الخلفية والهدف عند التصوير خارج الصالات، وبعض المسابقات مثل مسابقات العاب القوى لا تسمح بالتصوير داخل الصالات).

الكاميرات الملونة وأثر المدف Color Cameras and Color Target Tracking

ربما تسهل العلامات الأعلى تشبعاً بالالوان تحديد الهدف الهدف قليل الوضوح - عدلت تجارياً مستويات الفيديو الملون من كلا النظامين NTSC، PAL مبكراً إلى مستوى المنوكروم، وأضاف كلاهما اتساع شريط الفيديو الملون.

والتصميم ميز بين ما هى المناظر الجيدة لعين الإنسان وما يمكن توقيعه خلال اتساع الشريط المتاح لقنوات النشر، لذا الفيديو الملون إذا كان مجبراً على تحمل تحويل رموز بخلاف تلك الرموز المحمل عليه سوف تعريه عند إعادة إيضاح الصور الملونه - تكون نوعية الصورة بدرجة مماثلة للتسجيل الملون على شريط الفيديو. وكذلك طرق وأساليب التسجيل الملون وتمثيل إعادة العرض المتنوعة حول اختلاف شكل الشريط.

من خلال عمر الكاميرا الملونة، توقع تأثير استخدام معلومات الفيديو الملون طورت كثيراً، وبخاصة مخرجات الكاميرات الملونة القياسية RGB (أحمر، أخضر، وأزرق) المتاحة، ولكن تلك الكاميرات تتطلب زمن حقيقى للعملية لأن أجهزة التسجيل لقياس RGB ليس متاحة عامة. خروج الأشعة المنفردة الحمراء، الخضراء، والزرقاء من الكاميرات القياسية، التى عامة تمتلك اقلال الوضوح الأفقى، خروج ثلاثة أشعة من الكاميرا الملونة، عادة تستخدم في الاستديو، لذا فهى تعطى وضوح أفضل من كاميرات الاشعة المفردة، وهى عامة لا تمتلك نقاط متداخلة، وهي أيضاً باهظة التكاليف.

بالإضافة إلى نوع RGB لكاميرات الفيديو الملونه، نموذج تدرج اللون، والتشبع، والتألق RGB لكاميرات الفيديو (hue, Saturation, Luminescence) الفيضاً سوف يحول الرموز من الكاميرا. هذا النوع من الكاميرا ربما يكون مفضل، لأن تدرج ألوان مسار الهدف ربما يكون أصدق من جزء من قيم اللون الأحمر، الأزرق.

تطور نظام البرامج System and Software Dvelopments

في سنة (١٩٨٠م) معظم الأبحاث المعملية لحركة جسم الإنسان عملت برامج مفصلة للحاسب الآلي عند المستوى الذي يتطلب معلومات عن تصنيف دوائر الرسم، السلاسل، المكتبات واستخدام نظام العملية، وبالطبع هذه أيضاً غيرت. في مجال تحليل خطوة المشي لجسم الإنسان، ومجموعات عادية نشرت لمجموعات الأعمار السنية من الطفولة إلى المراهقة. برامج القياس وتكامل القوى لنشاط جهاز قياس القوة العضلية الكهربائي EMG، وكينماتيكية وكيناتيكية الأبعاد الثلاثة أصبحت في متناولنا تجاريا- برنامج مؤدج جسم الإنسان، استكمل من خلال كتل الاجزاء والخصائص الداخلية، علوذ جسم الإنسان، استكمل من خلال كتل الرجل. وربما يكون برنامج تعليل خطوة المشي أكثر دراسة. وعيل الاتجاه في العشر سنوات السابقة نحو واضحاً في تحليل المراكبة، وفي كل برنامج المكون الخطير هو مسارات حركة أواضحاً في تحليل الحركة، وفي كل برنامج المكون الخطير هو مسارات حركة أجزاء الجسم.

Real - Time 3 - D Tracking الزمن الحقيقي لاثر الأبعاد الثلاثة

المشكلتين اللتين يجب أن تحلا إنجاز الزمن الحقيقى لأثر الأهداف في الأبعاد الثلاثة هما (١) الزمن الحقيقى للاثر في اتجاهين، عند الحصول على تماثل الهدف، (٢) الزمن الحقيقى للانتقال من البعدين إلى الأبعاد الثلاثة.

* * *

الزمن الحقيقي لأثر البعدين Real - Time 2 - D Tracking

يشتمل الزمن الحقيقي للأثر على إيجاد متوسط مركز العلامات وعندئذ يليه مسارها في مجموعة إطارات (كادرات) الصور. تحسب متوسط المراكز الهدف، والمسارات هي وضع متوسط المراكز حيث يحفظ تماثلها في الكادرات الناجحة. لذا، متوسط المراكز وجوده مستقلاً، ويحدد حسابه في كل كادر فيديو، حيث أن المسار يتميز بمجموعة أجزاء متوسطة المراكز خلال الزمن. الزمن الحقيقي لمتوسطات المركز حسابه أسهل من الزمن الحقيقي للمسارات ويمكن حسابه لأشكال هدف يسيطر لعدد صحيح لمستوى مكونات الحاسب الداخلية Hardware والبرنامج Software (فورني ۱۹۸۹م)، الحاسب الداخلية حساب جيد لتقويم الزمن الحقيقي لجملة متوسط المركز) مشكلة حساب المسارات لتحديد متوسط المراكز في الزمن الحقيقي يمكن حلها عن طريق رسومات بسيطة للهدف، ولكن تلك تحقق في الحالات التي فيها الأهداف المتعددة ربما لا تظهر أو تدمج في كل من مجال الرؤية في الاتجامين في الكاميرا المفردة.

تهدف الطرق المتعددة للحصول على هدف مطابق لكل كاميرا في الاتجاهين إلى:

- * حل (مشكلة التوافق" Correspondence Problem بواسطة البحث عن السبب المعقول لتقاطع الأشعة من الكاميرتين أو أكثر.
 - * استخدام أحجام مختلفة من العلامات لتسهيل التحديد.
 - استخدام ألوان مختلفة للعلامات.
- * استخدام نشاط LED للأهداف من خلال "الصورة المميزة" ويلسون (١٩٨٦ م).

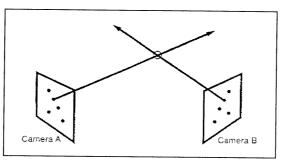
توافق العلامة في الزمن الحقيقي Marker Correspondence in Real - Time

فى نظم قاعدة الفيديو، تطابق الهدف فى كل كاميرا غير معروف عامة، باستثناء العاملين فى ميكانيكا جسم الإنسان سموا وحددوا مسارات الهدف فى منظر كل كاميرا.

عامة أعاق هذا عملية الزمن الحقيقي. اتجاه واحد لمعرفة أى الأهداف في الكاميرا A مطابق للأهداف المرئية في الكاميرا B، وهو رؤيتها إذا شطرت أشعة مركزها المتوسط كل منها للأخرى في مكان القياس انظر شكل (١٨).

تصوير بدأ الأشعة عند متوسط مركز أى صورة فى الكاميرا يكون خلال مرورها فى البعد البؤرى لعدسة الكاميرا. إذا رأت كاميرا أو كاميرتين نفس النقطة، عندئذ تطابق أشعتهما سوف تشطر أو تمر كل منهما بالاخرى تماماً. ويلاحظ أن هذه الطريقة لتحديد الأهداف لا تتطلب معرفة مسبقة لتحديد أو باسم لمتوسط المراكز للهدف فى البعدين وهى تكون لذلك ثابتة من أجل السرعة المعقولة لمسار الهدف. ومع ذلك، ربما لا تحلل لأن هناك الكثير من نقاط الهدف التامة. أخيراً المستخدم سوف يرغب فى إعطاء مسار الأبعاد الثلاثة أسماء (الكتف، المرفق، ... إلخ)، ولكن سواء هذه أنجزت قبل بداية المسار أو بعد إتمام المسار لا تؤثر فى نوعية البيانات. ربما يكون هناك بعض التحديدات لرؤية المسار المنتج، باستخدام اختراع مثل الرسم التخطيطي للرجل Stick - Man Diagran التخطيطي للرجل Stick - Man Diagran .

إذا عرف مطابقة الهدف عند بداية المسار، عندئذ يمكن رسم الرسم التخطيطى كناتج للمسار لأن السلسلة أو الحلقات بين الأهداف فى الرسم التخطيطى تكون حددت (مثل المقعدة متصلة بالكتف، والكتف متصل بالمرفق، المرفق متصل بالرسغ. الخ).



شكل (١٨) شطر أشعة متوسط المراكز في الأبعاد الثلاثة في الفراغ من الكاميرا

اختلاف أحجام الا'هداف Different - Sized Targets

اختلاف أحجام الأهداف يمكن استخدام في التعرف عليها، وهي مفيدة في حالات خاصة في مسار الهدف في كلا البعدين والثلاثة أبعاد إلا أن تقيدها في حالة تعميمها. غالباً حجم العلامة يميل إلى تغيرات أخرى (مثل الثلاث علامات مناسبة لتحديد قدم الشخص) يمكن إعطاء بعض المساعدة الجبرية للمسار عن طريق احتفاظ البرنامج لمسار حجم العلامة ديناميكياً (ديناميكية الحجم). عندئذ يمكن للبرنامج ترك الأهداف عند دمجها، وتحول التيار عن طريق زيادة مفاجئة في حجم الهدف.. وبطريقة مماثلة (مع ذلك)، إذا أصبح الهدف متشبعاً جزئياً من نقطة الرؤية في الكاميرا، ويظهر حجمه أكثر، يمكن ترك صورة هذا الهدف.

* * *

تلون الاهداف Colored Targets

استخدام اللون من أجل تحديد الهدف ممكن نظرياً، ولكن يكون هذا معقداً عن طريق التحويل للرموز المتسخدمة في مستوى إذاعتها وتسجيل الفيديو، السابق الإشارة إليه.

النشاط الكهربي للعلامة Active - Marker Strobing

نشاط العلامة (أو الحزمة الضوئية) أسست على نظم التعرف على الأهداف في مكونات الحاسب الداخلية Hardware الحزمة الضوئية الواحدة (LED) فقط هي المعطاه عند أي لحظة.

هذا الترف غير موجود فى نظم تأسيس الفيديو لأن جميع هذه الأهداف تتألق على أوفى كل كادر فيديو (إذا كانت مرئية)... ومع ذلك نظم نشاط الهدف تلك غير مميزة لما يلى:

- (١) لاتوجد صورة فيديو لرؤيتها أو تسجيلها.
- (٢) يتطلب نشاط العلامات أسلاك لأجل القوة والتزامن من المصدر الرئيسي.
- (٣) حساسيتها العالية لتمزق رد الفعل، إمكانية إعطاء ظهور الهدف في
 مكانين أو أكثر في مجال رؤية الكاميرا.

* * *

انتقال الزمن الحقيقي من البعدين إلى الأبعاد الثلاثة

2. D to 3. D Transformations in Real Time

بمجرد التعرف الصحيح على الأهداف فى كاميرا لرؤية البعدين (2.D) تشكيل إحداثيات الأبعاد الثلاثة يعرض فى الشريط المطابق للأهداف فى جميع الكاميرات لقيم الأبعاد الثلاثة X, Y, X يعنى مطابقة الأهداف مجموعة نقاط

الصورة في البعدين في الكاميرا التي عرضت على مدى الهدف المستقل. من خلال أي تكنيك مثل الانتقال الخطى المباشر (عبد العزيز وكرارا Abdel Aziz في خط & (١٩٨١م) والتون ١٩٨١م) الانتقال هو التقدم في خط مستقيم نظرياً ويمكن تحويله إلى نقاط غير متصلة متعددة عملياً لكل كادر في كل هدف. ومن خلال هذه الإمكانية تخرج سرعات عالية لحساب المقاطع.

آثر بدون عكس ضوء العلامات Tracking Without Reflective Markers

أصبح استخدام عكس ضوء العلامات لسببين هما:

- (١) لأنها تسمح بدقة ونقاء العلامة لأى نقطة تركز عليها فى جسم الإنسان أو جسم آخر.
- (٢) أنها تظهر التباين العالى جداً ضد الخلفية، والذى يجعل عمل تطوير عمليات الفيديو ومسار البرامج أسهل.

ربما السبب الثاني لم يظهر خلال التقدم في اللون والشكل المميز للبرنامج والقرص. نقطة سبب التركيز على استخدام العلامات سوف تظل قائمة.

كما أنه من الصعب على عين الإنسان المدربة تدريباً عالياً ونظام توقع الإنسان تحديد نقطة صغيرة كنقطة مفصل الكتف أو مفصل المرفق بدون أى علامة. أيضاً نظم الحاسب الآلى لايمكن توظيفها بدون العلامات. ومع ذلك في المستقبل، ربما الآلة يمكن أن تتعلم شكل وتكوين مسار الهدف وكيف تنتقل هذه الصورة من رؤية مختلفة للرسم المنظور.

إذا حدث، الحاسب الآلى أيضا سوف يمكنه تقدير ست درجات حرية للمعلومات حول حركة الجسم في نفس الطريق التي حدثت لنظام رؤية جسم الإنسان. كيف تقارن دقتها من حيث تيار الشبكات التي يستخدمها الأهداف، إعلانها صعب (أو تحولها صعب).

شكل الاثر : ديناميكا الميرفولوچي Shape Tracking: Dynamic Morphology

يدرس الميرفولوچى حجم وشكل الأفراد. تستخدم ديناميكا الميرفولوچى القياسات التقليدية (مثل المساحة area، المحيط Perimeter، أطوال المحاور الكبيرة والصغيرة Lengths of Major and Minor axes، الشكل المصنف لبعدين (2. D Shape Classfiers).

الأثر خلال الزمن Tracked through Time. يتطلب هذا أن يكون محيط أى شخص يختلف عن خلفيته. أسهل وأكثر الطرق مشقة لتمييز الفرد يكون بواسطة التباين: الفرد يجب أن يكون إنما مضاء أو معتم أكثر من خلفيته، التي تسمح باستخدام عمليات تكنيكات التصوير الثنائي. وفي هذه الحالة يمكن حساب متوسط المراكز للأفراد من محدداتها، كما يحدث في الثني الخلفي للأهداف. أثرت متوسط المواكز في زمن ووصلت بمسارات. ولكن المعلومات عن الشكل أيضا تحفظ ويمكن رقرارها عند كل لحظة. لأجل التحول لعدم ثنائية الصور، الطرق مثل طريقة حدوث مستوى هادى، (GLC) لتفاعل المصفوفة يمكن استخدامها. النتائج المعقولة المميزة للهدف اقرت استخدام تلك التكنيكات (تريفيدي Trivedi وهارلو ١٩٨٥) المستخدام من أجل ولكن هذه التكنيكات تتطلب محطة فرعية لحساب إعادة المصدر من أجل كبر، ارتفاع تحديد الصور.

قيمة الانداء وقيمة الانتر Volume Rendering and Volume Tracking

إن تغير شكل الأهداف يمكن تأثيره على الزمن، عندئذ المناظر المتعددة بالكاميرا للهدف يمكن تعطى معلومات قياسية عنها. استخدمت طرق فنية مختلفة لحل هذه المشكلة، اشتملت على استخدام تركيب الضوء (مثل فرشة ضوء) مع حساسية كاميرا الفيديو، آليات أشعة الليزر المنفردة، أو المتعددة الحساسية لتسليط التسارع، والمتمسكة بقواعد القياس ـ الأخضر للفيديو. في أبسط الحالات، الهدف المنفرد تألفه يكون إما مضى، أو معتم عن خلفيته. حيث أن كل كاميرا ترى تفاصيل الخطوط الخارجية أو صورة لمحيط الهدف التى منها حسب القيمة. عملياً هذا النوع من التألق صعب انجازه.

ثالثا: الاستنتاجات والتنبؤ Concolusion and Grystal Ball

الطرق الفنية لقياس الأبعاد الثلاثة لحركة جسم الإنسان أخذت خطوات واسعة منذ عام (١٩٧٠م) طورت الأقراص Hadwares، البرامج Softwares وفهمنا أصبح أفضل لنظم الأبعاد الثلاثة، وشمل معايرة أجهزته ومعداته وأثر الأهداف في الأبعاد الثلاثة الفراغية. بالإضافة لذلك التقدم في كلا الوسائل والبرامج المستخدمة. بقيادة الحاجة إلى انتشار قاعدة التطبيقات التي يجب أن تؤدى بالقياسات الاكثر فاعلية وبواسطة الأداء المرتفع جداً للمرئيات الالكترونية وتكنولوچيا البرامج أصبح كل ذلك ممكناً.

وحدثت طفرة في الوسائل المرئية نحو التقدم: الأشكال التخطيطية أعطت إعادة عرض المسار، أولاً الإطارات السلكية: الآن كل اندماج لإعادة العروض بوسائل وتكنيكات الحاسب الآلي لصناعة الرسوم المتحركة، والرسم البياني لإعادة إعداد حركة جسم الإنسان من خلال صور حساسية الأجسام الثابتة (Solied bodies) بالانعكاس الضوئي، والظل، اللون، وتركيب الأسطح. مع حقيقة العوامل الصناعية، أجزاء حركة جسم الإنسان سوف «تعمل خارج» النطاق الطولى لخصائص الأفلام الملونة في المستقبل القريب، ارتفاع حدود التليفزيون (High - definition Television. HDTV) تحركت من المعمل في العالم إلى حركة تطبيقات الحاسب الآلي (العقل الالكتروني). ربط . . . × ۱ . . . بيكسيل في كاميرات الفيديو الملونة، وتركيب عمليات الفيديو السريعة سوف تكون أنسب لاستخراج الدقة للإحداثيات Z,Y,X ورؤية عمليات الفيديو من أجل انتزاع الصورة من أي بيانات أصبحت تحت السيطرة. بالنسبة لدقة موضع النقاط، وشكلها، وقيمها في التحرك في الأبعاد الثلاثة الفراغية من الكسر العشرى الثالث في المكان إلى الرابع والخامس في الأمكنة، وبخاصة تطبيقات البرامج المعنونة الأنشطة المشتركة في الرياضة، الطبية Medical، علم الحياة Life Sciences، عسكري military، التطبيقات الصناعية industrial applecations .



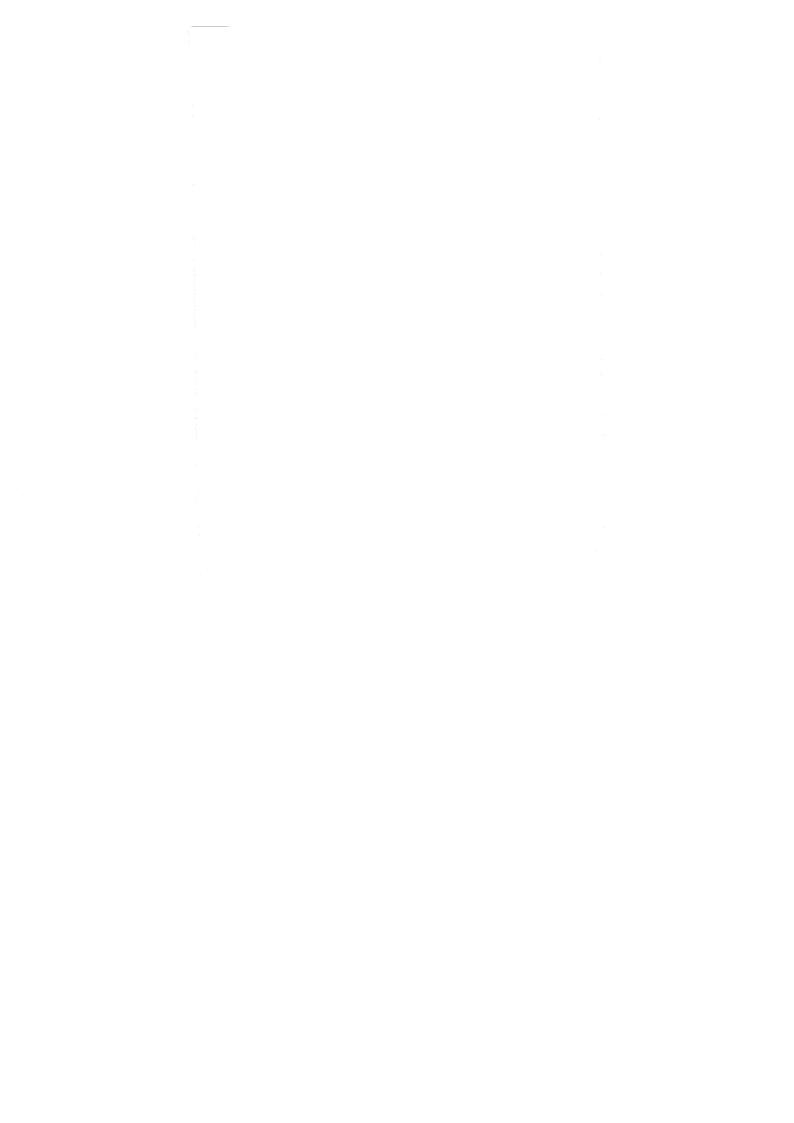
- 1 Abdel Aziz, Y. L. & Karara, H. M. (1971) Direct Linear Transformation From Comparator Coordinates into Object Speed Coordinates in Close range photogrammetry. Proceedings of the Symposium Closs Range photogrammetry. (pp. 1-18). Falls Church, VA: American Society of photogrammetry.
- 2 Fernée, E. H. (1989). TV/ Computer Motion anglysis Unpublished doctoeral dissertation Delft University of Technology, Delft, Holland.
- 3 Graves, J.O.B. (1986) State of the art automated Motion Tracking and analysis Systems, Proceedings of Society of photogrammetry and Instrumentation Engineers, 693, 277 - 281.
- 4 Rabbani, M, & Jones, P., (1991) Digital image Comperssion Techniques. Bellingham WA: Society of photogrammetry and Instrumentation Engineers (SPIE) Optical Engineering Press.
- 5 Triredi, M.M., & Harlow. C.A. (1985), Identification of Unique Objects in high resolution aerial inages. Optical Engineering, 24 (3) 502-506.
- 6 Walton, J.S.W. (1981) Close ronge Cine photogrammetry: A generalized technique for guantifying gross human Motion. Unpublished doctoral dissertation, Pennsy Lvania State University, University Park. P.A.
- 7 Wilson, R.S.W. (1986) Software for outomatic Tracking of Moving Targets in three dimensions. Proceedings of the Society of photogrammetry and Instrumentation Engineers (SPIE). 693, 206-276.

_

₹

الباب الرابع النظم التي تعتمد على الوسائل الالكترونية البصرية

Optoeletronic - Based Systems



يتناول هذا الفصل استخدام أجهزة الإحساس أو الرصد البصرية للحصول على معلومات مترابطة فيما يخص حركة الإنسان. وتتضمن هذه النظم عدة مزايا لأنها تعتمد على مبادئ بصرية (غير مباشرة) يمكن تشغيلها أتوماتيكيا بصورة سريعة ودقيقة دون الحاجة لتدخل الإنسان. والتطور السريع الذي تحقق في هذه النظم أسفر عن ثورة حقيقية في مجال تحقيق حركة الإنسان خلال الفترة الحالية (بيدوتي ١٩٩٠ Bedotti).

وأول النظم الاوتوماتيكية لقياس الحركة كانت تعتمد على جهاز -Electro gonio meter (المنقل الاتوماتيكي) أو قياس الزوايا الاتوماتيكي لاجزاء الجسم. وقد شكل ذلك عدة مشاكل معروفة في تقييد الحركة والذي لا يسمح الا بقياس الزوايا الموجهة لأجزاء الجسم وفي منتصف السبعينيات ظهرت أول النظم التي تعتمد على تصوير كاميرا الفيديو وكانت هذه النظم تكشف عن محددات الحركة النشطة أو غير النشطة على أساس البريق الناتج عنها. (شينج cheng وكوزيكاناني Koozikanani وفاتشي ۱۹۷۵ Fatchi وكوزيكاناني وآخرون ۱۹۷۶م – جاریت Jarrett اندرو Anderw وبول ۱۹۷۲ Poul م – وينتر Winter وجرينلو Greenlow وهوبسون ۱۹۷۲ Hobson).. ولهذا كان يجب أن تكون المحددات أو العلامات أكثر بريقاً من غيرها في الصورة حتى يسهل ملاحظتها عن طريق الضبط المسبق لإشارات الفيديو. والكشف المبدئي يتطلب عناية كبيرة لتجنب ظهور أشياء أكثر بريقاً في الصورة. وهكذا فقد تم استخدام علامات كبيرة نوعاً لزيادة مقدار الطاقة التي تعكسها أو تنبعث منها وهذه العلامات الكبيرة تقلل من المسافة المسموح بها بين الأشياء. ودقة مثل هذه النظم يحددها مدى ثبات أجهزة الإحساس (الرصد) لأن المعلومات الموجودة بالصورة تنتقل فقط من خلال اللونين الأبيض والأسود بعد الضغط

وأحدث هذه النظم التي ظهرت في منتصف الثمانينات يعتمد على استخدام أساليب إدراك نمطية للكشف عن العلامات وبهذا تتغلب على عقبة

___ 177___

النظم التى تعتمد على الضبط المبدئي. . أولاً: فإن استخدام أساليب التعامل مع الصورة يسمح بالكشف عن العلامات فقط في حالة ملاءمتها للشكل المحدد مسبقاً (فيريجنو Ferrigno) ، بورغيس Borghese وبيدوتي ١٩٩٠م). وهكذا فإن حساسية الكشف تصبح عالية إذا ما قورنت بنظم الضبط المسبق السابق ذكرها. . ثانياً: تمكننا هذه النظم من استرجاع العديد من المعلومات الخاصة بوضوح العلامة من خلال استخدام جميع درجات اللون الرمادي وهذا ما يزيد من فعالية هذا النظام.

الفصل الأول الفصل الأول

المكونات الرئيسية لنظام قياس الأبعاد الثلاثة

Prinicipal Components of A3 - D Measurement System

.

الفصلالأول

المكونات الرئيسية لنظام قياس الابعاد الثلاثة:

هناك ثلاثة أبعاد لقياس حركة الإنسان قد تم إخضاعها للكشف فى مسارات لعدة نقاط تحدد أوضاع أجزاء الجسم. فالشكل (١٩) يشير إلى عدة أجزاء فى نظام الثلاثة أبعاد. وهناك مستويين للتشغيل يمكن تمييزهما على أساس مدى سرعة أو تعقيد التنفيذ.. المستوى الأول أو المنخفض يستخدم لجمع مركبتى البعدين لعدة علامات فى إطار كل جهاز.. فى النظم الاتوماتيكية يتم أداء هذه المهمة فى نفس الوقت أما مدى تعقيد التعامل فيعتمد على الأساس المستخدم فى الكشف عن المركبات وهذا بدوره يؤثر فى مستوى الاداء العام للنظام.

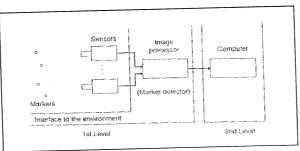
ويمكن تقسيم المستوى الأول لجزئين الجزء المشترك مع البيئة المحيطة والذى يشمل مجموعة من العلامات وجهاز الرصد بالصورة مع جهاز التعامل مع الصورة.

والمستوى الثانى المرتفع يستخدم فى التعامل مع العمليات الأكثر تعقيداً والتى يتم تشغيلها على اOn Line أو الـ Off Line. وهى تشتمل على معايرة الثلاث أبعاد والتشويش، والتصحيح وإعادة بناء الابعاد الثلاثة والتنقية الرقمية، التصميم وبيان المعلومات. أما التعامل مع البيانات الخاصة بالميكانيكا الحيوية على يشتمل على القوى ونظام الالكتروميوجراف EMG فيتم أيضاً أداؤها ضمن هذا المستوى. ويتم أداء المستوى الثانى عادة على أجهزة الكمبيوتر ذات الأغراض المتعددة.

تم فى الفصل السابق وصف العلامات المباشرة (والتى تصدر عن قدر معين من الطاقة) و(العلامات غير مباشرة). والأجهزة التى نناقشها هنا هى أجهزة اليكترونية بصرية والتى تتبح القياس دون اتصال مباشر.. إنها عبارة

عن كاميرات فيديو (سواء من النوع المميز أو العادى) أو صورة ثنائية بتأثير جانبي أو مجموعات خطية.

ويلعب جهاز معاملة الصورة أو الكاشف عن العلامات دوراً هاماً في تحديد مدى دقة النظام بأسرة. النظم الاتوماتيكية عادة ما تتم على Hard ويمكن أن تعتمد على عدة مبادئ تتراوح ما بين الكشف المبدئي البسيط وإجراءات الإدراك النمطية.



شكل (١٩) التركيب العام لمحلل الحركة في الأبعاد الثلاثة

العلامات المباشرة أو غير المباشرة: Passive or Active Markers

عادة ما تصنع العلامات المباشرة من ورق عاكس للضوء وهي تحتاج للتزويد بالطاقة من أجل زيادة درجة التناقص واللمعان بالنسبة للخلفية ويمكن زيادتها من خلال استخدام جهاز قياس سرعة الدوران أو التردد لتسهيل عملية تمييز العلامة. أم العلامات غير المباشرة فهى أقل ظهوراً ولكنها تتطلب نظام معاملة معلومات أكثر دقة وذكاء.

 مشاكل تتعلق بالشكل المخروطي الذي تتردد داخله وتعكس شدة الإضاءة التي تضمن معدل مقبول من الإشارة والتشويش.

(نظمة صمامات الإضاءة الثنائية: Light - Emitting Diode Systems

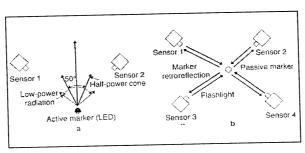
تتطلب العلامات المباشرة وجود موارد طاقة خارجية، وبالرغم من استخدام مصابيح الضوء الغامر كعلامات مباشرة (شينج وآخرون ١٩٧٥م) إلا أن LEDs تستخدم حالياً في هذا المجال ويكون طول الموجة المرئية للاختيار في هذه الأجهزة ضمن الأشعة تحت الحمراء JR (JR) بقدر يتجاوز mm 2000 بقدر ضئيل وذلك من أجل تفادى إزعاج رؤية الشخص أثناء بقائه في مدى حساسية الأجهزة.

والميزة الرئيسية فى العلامات المباشرة هى سهولة تصنيعها أو تمييزها التى سيرد وصفها فيما بعد أيضاً ارتفاع مستوى الاختبارات عند استخدام علامات قليلة ولكن على أية حال أن استخدام هذه النظم لا يخلو من المشاكل.

* فهى تحدث إعاقة للشخص الخاضع لها بسبب وجود الأسلاك الموصلة لمصدر الطاقة أو وحدة الضبط والتحكم خاصة وإذا كان الحال يتطلب حرية فى الحركة مثل ما يحدث عند دراسة الحركة فى الرياضة ولهذا فقد يكون هذا العيب ذا أهمية بالغة وبالإضافة لذلك فإن الطاقة المأخوذة من مصدر الطاقة وحجمها أيضاً لا يزيد نشاط العلامة أو معدل الاختبار.

* LEDs يكون لها زاوية إضاءة محددة. وحتى عند استخدام زوايا متاحة أكبر أو عند استخدام وسائل تجارية معدله فإنه من الصعب أن تتجاوز ٥٠ من مدى نصف القوة أو الطاقة وهذا بدوره يخلف مشكلة في أى وقت يتطلب فيه الأمر أن تقوم العلامة بحركة دائرية أثناء أداء الحركة. وهي أيضاً تشكل مشكلة بالنسبة لأسلوب تحليل D - 3 الذي يتطلب على الأقل جهازين للتصوير. إن الدقة في الوصول لعمق العمل يمكن أن يتحقق فقط إذا كانت الزاوية بين جهازي التصوير واسعة بالقدر الكافي. ولسوء الحظ في هذه

الأحوال يكون من الصعب بالنسبة لجهازى التصوير أن يكونا في مواجهة ال LEDs وحتى اذا حدث ذلك فان القوة المترددة التي تصل لأجهزة الاحساس سوف تكون منخفضة كما هو مبين بالشكل (٢٠ - أ).



شكل (٢٠) تأثير الوضع النسبى بين أجهزة الرصد (a) العلامات المباشرة، (b) العلامات غير المباشرة

* إن أجهزة الرصد المستخدمة مع هذه العلامات عادة ما تتطلب اضاءة لوقت مضاعف. وهذا يحد من عدد العلامات التي يمكن استخدامها على الشخص الخاضع للتجربة كما انه يتسبب في عدم تزامن الاختبارات لمركبتي العلامات والذي يمكن أن يزيد المشكلة سوءاً عند زيادة سرعة الحركات.

العلامات ذات العواكس الخفية (الأرتجاعية): Retroreflective Markers

والبديل لاستخدام العلامات المباشرة هو استخدام العواكس الارتجاعية المستترة أو غير المباشرة وهذه العلامات تعكس الإضاءة (داخل زاوية ضيقة) في اتجاه مصدرها وهذا هو نفس الاساس الذي يشير إليه عن طريق العواكس الخلفية في السيارات أو إشارات المرور (وهذه أيضاً وسائل خافية أو مستترة) والتي تبدو مضاءة إذا ما سلطت عليها الأضواء الكاشفة للسيارات.

ومميزات هذا النوع من العلامات تختلف عن علامات الـ LEDs من حيث أنها لا تشكل عائقاً أمام الشخص الخاضع للتجربة كما أن حركة الدوران لا تحد من فعاليتها. فالعلامة الكروية الشكل المستترة يمكن رؤيتها من أى اتجاه بزاوية ٣٦٠ كما هو مبين بالشكل (٢٠ - أ).

وتتكون هذه العلامات عادة من دعامات بلاستيكية مكسوة بورق عاكس ومثبتة على جسم الشخص الخاضع للتجربة بشريط لاصق وهى لا تستلزم وجود أى أسلاك ولذلك يمكن استخدامها لدراسة الحركات السريعة الواسعة. أما النظم التى تستخدم علامات أصغر (وذلك لنفس حجم العمل) فهى تعتبر مناسبة أكثر من تلك القي تستخدم علامات أكبر تحت تلك الظروف.

وحقيقة أن العلامات غير المباشرة يمكن رؤيتها في وقت متزامن بواسطة الكاميرات يعتبر ميزة من وجهة نظر أسلوب معاملة الإشارة (الأنظمة التى تعتمد على العلامات المباشرة لها بعض المشاكل الخاصة بأسلوب الاختبار غير المتزامن) ولكن من ناحية أخرى فالتصنيف في الكمبيوتر مطلوب، وهذا التصنيف يستوجب تحديد لقطة ويعطى تصنيفاً محددا لكل زوج من المركبات. وهذا يتم عادة باجراء تعقبى مثلاً إذا قررنا أن يخضع الرسغ أو المعصم للعلامة رقم ٣ فيجب أن تتبع نفس العلامة في اللقطات المتتابعة ونضعها تحت السم المعصم أو ٣.

ومن الميزات الاخرى للعلامات غير المباشرة أو الكامنة هو سهولة تثبيتها على أعضاء الجسم والذى بدوره يمنح الشخص الخاضع للتجربة الحرية الكاملة للحركة وعلى الأقل نظرياً يستخدم عدد غير محدد من العلامات.

ولكن المشاكل التى تنجم عن استخدام هذه العلامات تتعلق بصعوبة التصنيف فى الأوضاع الحرجة. وتتطلب تداخل العلامات تعاملاً دقيقاً فيريچنو وآخرون ١٩٩٠م) أو مونتاج يدوى فعال. وفى بعض الأحيان إذا استخدمت أساليب تعقيمية خاصة للصورة فإن تداخل العلامة المفقود يتطلب تدخل المشرف على التشغيل وبذلك يزيد الزمن الذى تستغرقه معاملة تدخل المشرف على التشغيل وبذلك يزيد الزمن الذى تستغرقه معاملة

البيانات. وعلاوة على ذلك فان المعدل الأقصى لاختبارات العينة بعدد الكاميرات المستخدمة. يمكن أن تصل النظم إلى ٢٠٠ Hz (مع نسبة عالية من الدقة) أو ٢٠٠ Hz (مع نسبة أقل قليلاً من الدقة) ومن المؤكد أن هذه المعدلات تعتبر مناسبة لمعظم الحركات الإنسانية. . حتى في الرياضة (د. أميكو D. Amico).

المصل الثانى المصل الثانى المصل المسل المسلام المسلام الموجهة وغير الموجهة وغير الموجهة Addressable Sensors



الفصلالثاني

أجمزة الرصد الموجمة وغير الموجمة :

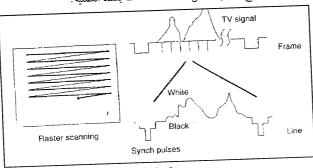
إن الأجهزة الاليكترونية البصرية يمكن إدراجها تحت قسمين. الأجهزة التي يمكن توجيهها والأجهزة التي لا يمكن توجيهها.

وأجهزة الإحساس التي يمكن أن تربط كل عنصر في الصورة (Pixel) بزوج من المركبات. تعتبر كاميرات الفيديو من الأجهزة التي يمكن توجيهها لأن الصورة تشفر في ما يسمى raster Format (والذي يوضحه الرسم في الشكل (٢١) فالصورة تعرض خطاً في كل إطار وعمود بعد عمود في كل خط وبهذا تظهر الصورة أحادية الأبعاد أما علاقات الفراغ بين مختلف أجزاء الصورة فإنه يتم تحويلها إلى فترات زمنية. وعن طريق فك الشفرة بالطريقة المناسبة استعادة حيز المعلومات. عندما يتواجد عدة علامات في وقت واحد داخل الصورة فإن أجهزة الرصد التي يمكن توجيهها تكون لديها القدرة على إيجاد المركبات بين جميع العلامات وبدون حدود، أما أجهزة الرصد التي لا يمكن توجيهها فإن لديها القدرة على تقديم معلومات متكاملة عن الصورة التي يمكن توجيهها فإن لديها القدرة على تقديم معلومات متكاملة عن الصورة التي يقوم بالتقاطها، وعلى سبيل المثال فإن الصور الثنائية ذات التأثير الجانبي (في يقوم بالتقاطها، وعلى سبيل المثال فإن الصور الثنائية ذات التأثير الجانبي (في التنافع) تعطى مركبات المركز المتوسط توزيعاً للإضاءة أمام جهاز الرصد -Sor

ولذلك إذا تم استخدامها للكشف عن العلامة فيجب استخدام علامة واحد فقط ومصدر واحد فقط للإضاءة في كل اختبار على حدة (Woltring) وولترينج ١٩٧٥). ويقع بين هاتين الطبقتين أجهزة الرصد ذا الصفوف الخطية (ليو وماسيلاري ١٩٧٥ Macelaxi leo).

والاختلاف الرئيسي بين هذه الأنواع من الأجهزة هو أن الضوء المنتشر يتم اعتباره زوجاً آخر من المركبات أو محورا زائفاً بواسطة الأجهزة التي يمكن توجيهها. بينما لا تضع في اعتبارها المركبات التي تم الحصول عليها من أجهزة الرصد (Sensors) التي لا يمكن توجيهها ومهمة الكمبيوتر هو حذف العلامات الزائفة من البيانات التي تم جمعها بواسطة كاميرات الفيديو ولكنه من المستحيل عمل الشئ نفسه مع البيانات التي قامت بجمعها صور الصمامات الثنائية ذات التأثير الجانبي.

ونظرياً فإنه عن طريق الضبط الجيد للمحيط الذى سيتم فيه إجراء الاختبارات فان المصدر الوحيد للإضاءة أمام جهاز الرصد غير الموجه يجب أن يكون الـ LEDs ولكن العلامات المباشرة يمكن أن تعطى انعكاساً على الاسطح المحيطة بما فيها جسم الشخص الخاضع للتجربة ومثل هذه الانعكاسات يفسد العملية.



شكل (۲۱) تصفح شفرة الكادر والخط الكهربى لإشارة الفيديو تردد أبيض وأسود إلى مستويات تردد التيار الكهربى، ويرد الفراغ إلى فترات زمنية

توليف جهاز الرصد: Sensor Synchronization

للقيام باجراءات الأبعاد الثلاثة فلابد من وجود على الأقل جهازى رصد ثنائى الابعاد.. وهكذا تنشأ مشكلة وهى كيفية توليف أجهزة الرصد المتعددة وهذه المشكلة يمكن حلها (بالنسبة لأجهزة الرصد الموجهة) عن طريق استخدام مولد توليف رئيسي لقيادة جميع أجهزة الرصد.

وهذا الأسلوب يشمل وجود جهاز معاملة أقراص الكمبيوتر ويجب أن يتم توصيله أيضاً بمولد التنسيق. وفي حالة صور الصمامات الثنائية ذات التأثير الجانبي Photodiods فإن الناتج المماثل في كل جهاز للرصد يجب أن يولف إلى شكل رقمي. وهنا تظهر مشكلة أخرى وهي أن العلامات المباشرة لا تظهر على الشاشة في وقت واحد ولذلك فإن أجهزة التنسيق بينها يجب أن تولف باستخدام نظام التوليد أو الاستيفاء الحسابي.

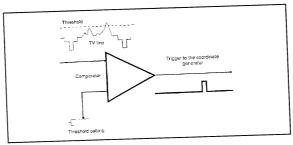
الكاشف عن العلامة: Marker Detector

ويجب أن يكون هذا الجزء من النظام قادراً على توفير المعلومات الكافية لعملية البناء الحسابى دون أن يرهق نفسه بمزيد من الإيجابيات الزائفة التى تجعل العمل أصعب وتزيد من احتمالية قبول علامة زائفة (بسبب التشويش في الخلفية) أو حتى استبعاد علامة حقيقية وفي نظم تحليل الحركة يستخدم جهاز كشف العلامة اتجاهان وهما:

أسلوب الكشف المبدئي وأسلوب معاملة إشارات الصورة. وهذان الاتجاهان يستخدمان فقط أجهزة الرصد الموجهة والصفوف الخطية حيث أن صور الصمامات الثنائية ذات التأثير الجانبي يمكنها بسهولة أن تزود منسقات المركز المتوسط بالضوء الشديد.

الكشف المبدئي: Threshold Detection

ونظام الكشف المبدئي هو النظام الأكثر انتشاراً والأسهل في الكشف عن العلامات التي يزيد بريقها عن بريق الخلفية. وشكل (٢٢) يوضح كيف يعمل نظام العد الحسابي. فإن إشارة الفيديو الداخلة يتم مقارنتها عموداً بعمود للمرجع المبدئي. وفي كل مرة تتجاوز الإشارة ارتفاع العمود المبدئي ترسل الإشارات لمولد أو جهاز التنسيق وللكمبيوتر للتنبيه بأن هناك عموداً براقاً تم الكشف عنه. ثم تجمع بعدها العواميد البراقة مع بعضها البعض وترد للعلامات التي تختص بها.



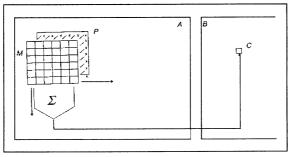
شكل (۲۲) الكشف المبدئي

ومن أبرز مميزات هذا الاتجاه هو اعتدال ثمنه وأنه لا يتطلب تكنولوجيا خاصة.. وعلى النقيض من ذلك نجد أن عيوب فرق الطاقة المنخفض تظهر.. ولان أسلوب الكشف عن العلامة يعتمد فقط على درجة البريق للشئ المستهدف فإن أى أشياء أخرى في المشهد إذا كان لها نفس درجة البريق أو اللمعان الخاصة بالعلامة (مثل الأسطح، المناطق البيضاء، والمصابيح) فإن هذه الأشياء سوف يتم ادخالها وتشفيرها على أنها أيضاً علامات.. وعلاوة على ذلك نجد أنه بسبب وجود مستويين فقط (الأبيض والاسود) الذي يتم عن طريقهما التشفير في الصورة بعد الكشف فإن مقدار الثبات فيما يتعلق بجهاز الرصد Sensor (حوالي ٥٠٠ × ٣٠٠ عمود) غير مسموح به. ولكن يمكن تحقيق تحسينات قليلة عن طريق استخدام علامات كبيرة الحجم من أجل توليد عدد الحبر من العواميد البراقة والتي يمكن أن تجمع مركباتها وتحدد نسبتها أو عن طريق استخدام مثلاً) بنفس شكل العلامة.

أسلوب معاملة الإشارة: Signal Processing

مع التطورات الحديثة في مجال حساب الكمبيوتر المتوازى بالرقائق المتكاملة واسعة المدى (VLSI) وفي رؤية الكمبيوتر أصبح من الممكن معها تصميم ديسكات Hardware لمعاملة الصورة لإدراك نمط الزمن الفعلي من أجل الكشف على العلامات بصورة فعالة جداً.

ويمكن تحقيق ذلك عن طريق استخدام أسلوب العلاقات المتبادلة والذى يصل بين الشكل المتوقع للعلامة مع سمات الصورة (فيريجنو، بورغيس وبيدوتى ١٩٩٥م) وعندما تتناسب الصورة مع الشكل المتوقع فإن وظيفة العلاقة التبادلية تصل إلى فعاليتها القصوى وعندما تختلف الصورة عن الشكل فإن القيم تتحول الى الانخفاض والسلبية وعملية الحساب أساساً تعمل بالطريقة الموضحة في شكل (٢٣).



الشكل (۲۳) نظام الحساب

يتم نقل الشكل الأساسي M من عمود لعمود من اليسار إلى اليمين وخط بخط من الأعلى للأسفل على الصورة الناتجة. وفي كل جزء من الصورة P فان ناتج التحرك عمود بعمود مع عنصر الصورة الأساسي M يتم توصيله. أما النتائج فيتم تجميعها واختصارها لتعطى قيمة كل عمود C للصورة الناتجة. وبتحريك الصورة (القناع) فإن كل العواميد في الصورة الناتجة B يتم الحصول عليها.

ويجب أن تكون الأشكال المستخدمة للعلامات متناسقة وإلا فإنها ستتغير إذا تحرك الجسم في حركة دائرية. (الأشكال الكروية وشبه الكروية هي أكثر الأشكال التي لا تتأثر بحركة الدوران). ويتم اختيار الغطاء أو Mask

للتخلص نهائياً من تشويش الخلفية وأيضاً للسماح بتغيير حجم العلامات عند حركتهم أمام محور عدسات الكاميرات. ويسمح بهذا التنوع في حدود من 1 إلى 0 باستخدام غطاء أو Mask بقياس 1×7 بيكسيل (فيريجنو 194م) وإذا كانت هناك اختلافات أو تنوعات أخرى متوقعة (أو مرغوبة) فيمكن التنويع في حجم أو شكل القناع. فإذا تم هذا التنويع في الشكل فيجب تقليل مستوى التشويش في الخلفية للسماح بالتنويع في الحجم. وعلى أية حال فإن التنوع في الحجم بحدود أكثر من 1 إلى 10 تستخدم فقط عند التخلى عن العلامات في حيز منطقة العمل التي يفترض أن تكون قياساتها دقيقة أو عندما تكون العلامات مركزة بشكل صحيح. والناتج للعلاقات المتبادلة هو تحويل الصورة الداخلة الذي يزيد معدل إشارة التشويش فيها (SNR). على سبيل المثال المناطق البيضاء الكبيرة تصبح لونها داكاً أكثر من الإشارة السوداء.

وعندما تتخطى وظيفة العلاقات التبادلية الضبط المبدئى عنها يبدأ عمل المولد المنسق لأن إشارات العلاقات التبادلية يتم تشفيرها على عدة مستويات وترسل هذه المعلومات للكمبيوتر الذى يقوم بقياس أو تقدير وضع العلامة بدقة أكبر بوضع الفروض حول كيفية توزيع درجة اللمعان أو البريق.

والمعلومات المتزايدة التي يرسلها نظام العلاقات التبادلية يتيح لنا الحصول على درجة عالية من الثبات في الحيز المكاني حتى مع استخدام علامات صغيرة (في نظام ٢٠٠٠٠ × ٢٠٠٠ مع قيم العلاقات التبادلية وحتى Bits 8).

ادراك الشكل أيضاً يتيح لنا استخدام أهداف صغيرة جداً لأنه لا يتطلب أن تكون العلامات هي الاشياء الاكثر بريقاً أو لمعاناً في الصورة.

ويوضح الشكل (b - a ۲٤) مثالاً للكشف عن العلامات الصغيرة جداً (أقل من امم) بواسطة جهاز معاملة الصورة الفعلية والذي يعتمد على نظام الحساب بالعلاقات التبادلية. والشكل (a۲٤) يوضح الصورة حيث تم تسليط العلامات أو التشويش على الشفاه وفي الشكل (۲٤ - b) نجد أن كاشف العلامات قد عبر عن وجود للعلامات بوجود بقع براقة على الصورة.



شكل (٢٤) الكشف عن العلامات الصغيرة جداً (أقل من ١مم) بواسطة جهاز معاملة الصورة الفعلية الذى يعتمد على نظام الحساب بالعلاقات المتبادلة (a) صورة تم تسليط العلامات أو التشويش على الشفاة، (b) عبر كاشف العلامات عن وجود بقع براقة على الصورة.

مستوى الكمبيوتر: Computer Level

وهذا الجزء من النظام يشمل السطح الفاصل بين Hardware الكمبيوتر المخصصة ومجموعة من برامج الكمبيوتر Software وإجراءاته لمعاملة بيانات التشغيل On Line والغلق Off Line.

والعامل الرئيسي الذي يجب أن يفي به الكمبيوتر هو القدرة على احتواء البيانات في نفس وقت الحصول عليها. تعتمد كمية البيانات وسرعة دخولها على العدد المتوقع للعلامات وعلى عدد العلامات (موجهة أو غير موجهة) وتقسم على الباراميتر T. Parameter.

T = NM. NTV. SR.

(10).

حيث أن NM = عدد العلامات، وNTV = عدد أجهزة الإحساس وSR معدل الاختبار أو العينة. وبصفة عامة يستطيع مدخل الذاكرة المباشر المخصص (DMA) إيجاد الحلول الجيدة ولكل الأسطح البينية المتعددة الأغراض مثل (GPIB (IEEE - 448) و ETHERNET ويتم استخدامها.

وتخزين البيانات الفعلية عمثل أيضاً مشكلة كبرى بالنسبة لتحليل الحركة لأنها تعيق الحصول على الباراميتر Parameter. أنها ذات علاقة نسبية مع الباراميتر.

$$D = NM. NTV. SR.$$
 (11)

حيث أن t = مدة الاكتساب. بالمقارنة بين معادلتي 11 و 12 تنتج العلاقة التالية:

$$D = T. t. (12)$$

وهذا يعنى أن تخزين البيانات ذو علاقة نسبية بالدواخل وزمن الاكتساب. على سبيل المثال لو افترضنا أن يكون هناك ٢٥ علامة ترى بواسطة ٤ أجهزة بمعدل اختبار للعينة يصلإالى ١٠٠ هيرتز. فإن ٢ تفترض قيمة ١٠٠٠ بمعنى أن المركبات (التي يتم تشفيرها بعدد معين من وحدة البايت Byte وذلك يعتمد على نوع النظام) تبلغ ١٠٠٠٠ مركبة تكتسب في كل ثانية. وهكذا يكون قدرة الاكتساب المطلوبة لتخزين البيانات في ٣٠ ثانية تبلغ ١٠٠٠٠٠ ويضرب هذا العدد في عدد وحدات البايت (Byte) المطلوبة لتشفير كل مركبة. أن النظام الذي يشفر كل مركبة في ٤ بايت يتطلب لتشفير كل مركبة في ٤ بايت يتطلب وحدة بايت.

أسلوب اكتساب البيانات ومعاملة بيانات الفتح : Data Acquisition and on Line Data Processing

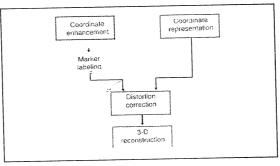
فى بعض التجارب يكون على الكمبيوتر أن يمارس مهمة اكتساب البيانات وأيضاً معاملة البيانات لتقييمها والتأكد من صحتها وأيضاً لضبطها.

وخلال عملية اكتساب البيانات فإن عدد العلامات، وعدد الأجهزة ومعدل اختبار العينة ومدة اكتساب البيانات يجب أن يفصل كل منهم على حدة. وعند هذه المرحلة يمكن أن يعمل النظام دون معرفة العدد المحدد للعلامات المستخدمة ويمكن وقف عملية اكتساب البيانات أو بدءها عن طريق وحدة التشغيل ذلك وعن طريق عداد زمنى داخلى أو مفتاح خارجى أو كلاهما. في هذه الحالة سيصبح الباراميتر t و MM نواتج للنظام بدلاً من أن يكونوا دواخل. بينما NTV و SR لابد دائماً من تحديدها وأسلوب معاملة On لفا الساس يعتمد على طبيعة جهاز الرصد. فإن أجهزة الرصد غير الموجهة (مثل الصمامات الثنائية للاضاءة الجانبية) تنتج ناتج عائل ولا تحتاج لمعاملة البيانات. لأن هذه الأجهزة لا تظهر صورة يمكن رؤيتها على شاشة المونيتور فالكمبيوتر لابد أن يظهر خطوطاً بيانية تبين ما يحدث أثناء التجربة.

إن صفوف CDD الخطية وكاميرات الفيديو يجب أن تحتوى على عمود واحد على الأقل لكل علامة، فإن غزارة المعلومات تزيد من ثبات جهاز الرصد. والإجراءات أو الخطوات المتبعة لدعم هذا الثبات تتبع الفرصة لضغط البيانات لأن زوج واحد فقط من المركبات يمكن الحصول عليها من جهاز رصد واحد. ويلخص الشكل (٢٥) كل هذه العمليات ويحدد أنواع أجهزة الرصد لما يناسبها.

Basic Processing : العاملة الأساسية

المعاملة الأساسية للحساب أو لأسلوب العد العشرى يشتمل على كل العمليات غير المطلوبة في نظام الـ on Line ولكنها أيضاً هامة وضرورية للحصول على عمليات أخرى يمكن استخدامها. والشكل (٢٥) يوضح هذه العمليات في خط المعادلة سواء في أجهزة الرصد الموجهة أو غير الموجهة.



شکل (۲۵)

المعاملة الاساسية للبرنامج للحصول على إحداثيات الابعاد الثلاثة للنقاط السطحية. الصندوق المزدوج يشير إلى الإجراءات بالضبط لآلات التصوير الموجهة: بالضبط في آلات التصوير غير الموجهة

تصحيح الخلل أو التشويش: Distortion Correction

وهو يكون بمثابة التعويض عن عدم التخطيط الطولي في أجهزة الرصد البصرية (أن التشويش الذي ينتج عن الصمامات الثنائية للصورة ذات التأثير الجانبي وعن العدسات الاسطوانية التي تستخدم مع صفوف CDD الخطية تكون أكبر ليو وماسيلاري ١٩٧٩م - وولترنج ١٩٧٥م - ١٩٧٦م) إن ضبط التشويش عادة ما يتم بواسطة تعبير متعدد الحدود مع معامل كمبيوتر تم حسابه من عمليات التحكم (انظر الباب الثاني) مرازان وكارارا (١٩٧٥م) قد وميللر Miller وشابيرو Shapero ماك لوغلن المراقب بورغيس وفيريجنو قدموا نموذجاً عالمياً لعمليات التشويش، وقد قدم أيضاً بورغيس وفيريجنو (١٩٩٠م) ناذجاً محليه. وهذه النماذج تتيح الفرصة لتصحيح الأخطاء المحلية باستخدام وحدات باراميتر من تلك التي تتطلبها نفس العملية في الاتجاه العالمي الذي يعتبر أقل مرونة. ومن ناحية أخرى فإن عملية تقريب النسب تتطلب أسلوباً أكثر دقة لاكتساب المركبات على شبكة التحكم.

Marker Assignment : مهمة العلامة

وهى عملية مطلوبة عند استخدام أجهزة الرصد الموجهة والعلامات غير المباشرة وهذه النظم تنقل المركبات الخاصة بالعلامات بنفس ترتيبها عن الكشف عنها مع تحديد الخطوط والصفوف في خريطة البنية.

إذا كانت الحركة معقدة فيمكن عكس هذا الترتيب. ومن الضرورى إجراء تعديل من أجل تصحيح ترتيب الناتج وإعادة بناء الأبعاد الثلاثة وهناك عدة اتجاهات قدمت لحل هذه المشكلة (فيريجنو وآخرون ١٩٨٠م- فيريجنو وجاسوني ١٩٨٨م-جاريت وآخرون ١٩٧٦م-تايلور وآخرون ١٩٨٢م).

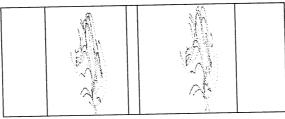
وتتم المساعدة المبدئية في أوائل الكادرات وعادة ما تؤدى يدوياً ولكن العمليات التي تركز على المعلومات والتي تستخدم للتصنيف الأتوماتيكي تخضع حالياً لعمليات التطوير. فعند التصنيف الصحيح للعلامات الموجودة بالكادرات فإن مركباتها تستخدم لاستكمال بقية العملية والتنبؤ بمساراتها. وأحدث هذه الأساليب (فيريجنو وآخرين ١٩٩٠م) يقدم أيضاً معلومات مسبقة عن بناء الجسم الخاضع للتحليل وبذلك يزيد ثقتنا في الاعتماد على التنبؤ وأيضاً فإنه يحل مشكلة تخطى العلامة أتوماتيكياً.

وهذه الأهداف تتحقق عن طريق وصف نموذج للجسم في صورة مركبات تربط العلامات وأيضاً احتمالات اختفاء بعض العلامات وراء بعضها.

ومثال على عملية التحديد نجده موضحاً في الشكل ٢٦ a و b) والشكل (٢٧).

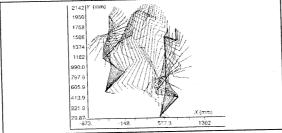
فى الشكل (٢٦) a و b يبينان النقاط الأصلية التى تم الحصول عليها بواسطة كاميرتى فيديو والشكل (٢٧) يبين الخط البيانى لنظام الأبعاد الثلاثة (مبين بطريقة تخطيطية) لحركة معينة (وهى الوثب من منصة). والعلامات يمكن ادراك وجودها بواسطة شكلها باستعمال نظام ELITE بمعدل اختبار للعينة يصل إلى ١٠٠ هيرتز.. ومن الثابت ان فى مثل هذه الحركة المعقدة

يظهر مسار العلامات في شكل عدة أجزاء وخطوط مركبة قد يظهر معها الشكل مركباً ومحيراً في الشكل (٢٦) a و b ولكن يظهر ثابتاً أكثر في الشكل (٢٧).. وللحصول على هذا الثبات يجب أن يجرى النظام عدة



شکل (۲٦)

(b,a) نقطتان خام جمعت عن طریق اختبار شخصی یثب من منصة القوی (a) $(Tv_1)(a)$ و والثانیة (Tv_1) الزاویة بین الکامیرتین کانت v_2 وضع علی الشخص v_1 علامات اثنتان على الرأس، علاقة على كل من الكتف والمرفق ورسغ القدم، ورأس العظمة الخامسة بالقدم



شکل (۲۷)

سيس ١٦٠) الرسم التخطيطى للوثب المعروض في شكل (٢٧) (a) ، (b) قذفت على المستوى السهمى بعد إعادة تركيب الابعاد الثلاثة من أجل الوضوح ترسم الصورة الخطية كل ٥٠ م ث فقط. ومقياس الرسم على الراسم بالميليمتر (مم).

(a) وهى التحديد المبدئي للعلامات (b) مسار متعدد النقاط (c) اعادة توصيل بين العلامات المسترة. (d) تصحيح التشويش. (e) نظام بناء الابعاد الثلاثة.

الفصل الثالث الفصل الثالث

عملية إعادة بناء مركبات الأبعاد الثلاثة Three - dimensional coordinat Reconstruction



الفصل الثالث

عملية إعادة بناء مركبات الابعاد الثلاثة

وهي آخر عملية أساسية مطلوبة قبل استكمال التحليل وأيضا عدة اتجاهات تم اقتراحها، اثنان من هذه العمليات سوف نذكرها في هذا الكتاب وهي: التحويل الخطي المباشر (DLT) وهي ماتم مناقشته في الباب الثاني وحل المربع الأقل تكرارا للنسب الخطية (ILSSC) الذي سيناقش هنا. وكلا الاتجاهان يعتمدان على نفس النموذج للتحويل بين مساحة الهدف (البيئة من حول الجهاز) والفراغ في الصورة (المنطقة التي يتم فيها العمل أمام الأجهزة وخلف العدسات) والشكل (٢٨) يوضح هذه الفراغات مع الإشارة لنظام الحهاز الصري.

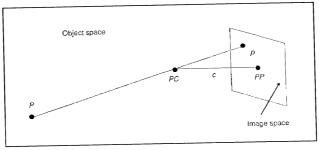
والنسب الرياضية التي تحول فقط الفراغ حول الهدف إلى نقاط فراغ في الصورة تتمثل في المركبة X

$$X - X_0 = -C. \quad \frac{M11 (X - X_0) + M12 (Y - Y_0) + M13 (Z - Z_0)}{M31 (X - X_0) + M32 (Y - Y_0) + M33 (Z - Z_0)}$$

$$Y \quad \text{and} \quad Y \quad$$

$$Y - Y_0 = -C. \frac{M21 (X - X_0) + M22 (Y - Y_0) + M23 (Z - Z_0)}{M31 (X - X_0) + M32 (Y - Y_0) + M33 (Z - Z_0)}$$
(14)

حيث أن: X و Y يمثلان المركبات بين النقط P(X,Y,Z) على فراغ الصورة.



شكل (۲۸) الاسقاط النسبي للنقطة P، في مدى اعتراض مجال الصورة، P خلال المركز النسبي، PP. PC النقطة الرئيسية (اسقاط PC في مستوى الصورة) ورضع الجزء PC -PP على المحور البؤري، ويكون طوله البعد البؤري C.

(c) هو البعد البؤرى للعدسة Xo و Yo هما مركبتا النقطة الأساسية (نقطة التقاطع للمحور البصرى ومجال الصورة) Xo و Yo و Zo هم مركبات مركز المنظور وM11 هى التسع عناصر مركز الدوران من الكادر الذى يشير لحيز الفراغ داخل الصورة (وولف AMM). وبالرغم من أن مجموع هذا كله يصل الى P باراميتر فإن ثلاثة فقط غير معروفة يمكن الاعتماد عليها لأن كل عناصر AMM ليس لها وظيفة خطية على زوايا الانحدار AMM والزوايا الممتدة AMM وزوايا الانعراج AMM ونقط AMM عناطع الفراغ (تحديد النقطة المجهولة AMM) تتمثل في الطبيعة الخطية النسبية ما بين AMM : O.

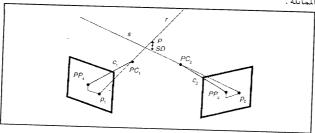
ونظام DLT نجح فی التغلب علی هذه العقبة بإعادة ترتیب شروط التناسب ٤ : ٥ ریاضیا والاتجاه المسمی بـ ILSSC یعتمد علی تخطیط النسب من ٤ : ٥ باستخدام سلسلة تایلور Taylor فی تقریب نقطة البدایة.

وتحسب نقطة جديدة في وحدات الباراميتر المجهولة باستخدام النسبة بين ٤: ٥ فيما يتعلق بالمركبات المسجلة وأيضا تقليل الأخطاء في نقاط التحكم X,Y، والنقطة الجديدة تصبح نقطة البداية القادمة والتكرار يستمر حتى تصغر قيمة الباراميتر بالقدر المناسب.

ونقطة الالتقاء سوف تحدث خلال خمسة أو ستة تكرارات. ونقطة تقاطع الفراغ اللاحقة سوف تحدث عن طريق البحث عن أقصر مسافة عمودية تصل الخطان اللذان يربطان بين مركزى المنظور لكاميرتى الفيديو ويصلانها لنقطة الانعكاس على العلامة كما هو مبين في الشكل (٢٩) (بورغيس وميريجنو ١٩٩٠م).

: Deferred Analysis التحليل المؤجل

يمكن اجراء التحليل المؤجل في أى وقت على البيانات المكتسبة والتي تم معاملتها من قبل محلل الحركة. الزوايا المشتركة، وسرعة الزوايا الخطبة يتم حسابها لاستخدامها في النماذج الميكانيكية (مثلا لحساب الحركات والقوى الداخلية، والتي تتطلب أيضا معرفة القوى الخارجية). إن البيانات التي تم جمعها بواسطة جهاز اليكتروميوجراف، يمكن أن تنضم مع بيانات علم الحركة المجردة أو الديناميكا للحصول على وصفا تاما للقوى المحركة، وهكذا فإن العديد من أنظمة تسجيل الحركة تتطلب تدوين دائم لبيانات الإشارات الماثلة.



شكل (۲۹) نقطة تقاطع الفراغ تؤدى عن طريق البحث عن أقل مسافة بين وضع S , r والمرور خلال المركزين النسبيين (PCR ، PC1) واعتراض نقطة (P2, P1) في الكاميرا

تقسيم نظم قياس كينماتيكية الأبعاد الثلاثية

Classification of 3 - D Kinematic Measurement systems

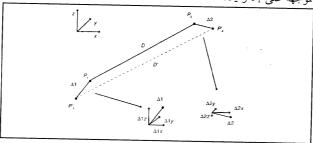
هناك نظم ثلاثية الأبعاد لقياس الحركة المجردة يمكن تقييمها على أساس دقتها ومدى الاعتماد على فعاليتها.

: System Accuracy and Precision دقة ووضوح النظام

الدقة هي إمكانية إعادة كادر للقياس. ويمكن التعبير عنه بأنه الأبعاد المثالي للأخطاء المقسمة بمدى القياس والذي يعرف بأنه التقدير الرقمي لحجم العمل (مع الافتراض بأنها لها بريق على القاعدة المستطيلة) وهكذا تقاس الدقة على توحيد الزمن. ويمكن حسابها باستخدام العلامات الثابتة بما يفسر نظام التشويش، ولكن الدقة لا يمكن استخدامها لوصف قياس النظام لأنها تعتمد على ثبات الجهاز الأساسي وأيضا تعتمد على وضع أجهزة الرصد المستخدمة في الاختيار. وعلى النقيض من ذلك فإن جهاز الرصد الذي يحتوى على عمود ٢×٢ يمكن أن يعطى دقة تامة مع توزيع العلامات في موقع متسع. وفي أي موقع يكون فيه العلامة ضمن واحد من هذه الأربعة عواميد. أما العلامات التي تقع على حدود مرمى هذه العواميد يمكن فقط أن تعطى بعدا دقيقا واقعيا.

أما الوضوح فيرجع الى تلك الأخطاء التى يتم حسابها كفرق بين القيم الحقيقية والقيم التى تم قياسها، وهذه المعلومات تعكس الأخطاء التى نواجهها خلال الاستخدام اليومى لنظام «الأبعاد الثلاثة» للقياس. ولقياس مستوى الوضوح يجب أن نقارن بين المركبات التى تربط بين عدة نقاط التى تم الحصول عليها من قبل محلل الحركة وبين مواقعها الطبيعية وأثناء الممارسة إذا أردنا اعتبار أن أحدث النظم المتقدمة قادرة على قياس الانحرافات التى تقل عن ٥٠، مم فى حيز مكعب تبلغ جوانبه ٥،١ مم (مثلا نظام ELITE فيريجنو وبيدوتى ١٩٨٥م)، التى لها القدرة المماثلة فيريجنو وأخرون ١٩٩٠ - فيريجنو وبيدوتى ١٩٨٥م)، التى لها القدرة المماثلة على القياسة بوضوح، فإن القياس الحر لأوضاع العلامات التى تستخدم فى الاختبار يكون بالغ الصعوبة.

والبديل لذلك هو استخدام الاتجاه الاحصائي، مثل أن تحرك عصا الطول الثابت في مساحة مدرجة وتحديد تنوع قياس المسافات بين العلامات الموضوعة على طرفيه (بورغيس وميريجنو ١٩٩٠). وهذا النوع من الاختبار يعطينا معلومات عن الاحتفاظ بالمسافات ولكن ما يهمنا هنا هو وضوح القياسات في كل محور. وهناك خطوتان لتحديد ذلك الأولى هي: تحليل تنويعات الطول للعلامتان المستخدمتان والثاني: تحليل الخطأ الواقع في كل علامة على المحاور الثلاثة (انظر الشكل (٣٠) فالخطأ في المسافة (D - D) يحلل الى الأخطاء الموجهة على P1 و P2.



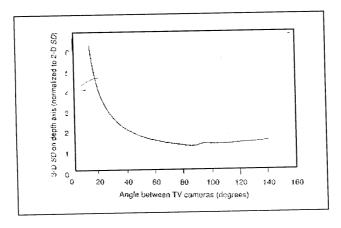
شكل (٣٠) الخطأ في المسافة (D - D)، وتحليلها إلى منجهى خطأ P2 , P1.

وهذه تنعكس تباعا على محور الكادر من أجل الحصول على ثلاثة مكونات للخطأ في Y, X و Z. والخطوة الأولى مباشرة (بورغيس وميريجنو 1.00 و 1.00 والخطأ لكل علامة سوف يوجد على أنه 1.00 مرة النحراف في المسافة. وفي الخطوة الثانية فإن اتجاه جهاز الرصد ووضعه في الفراغ يجب أن يوضع في الاعتبار. بورغيس وميريجنو 1.00 قد وضعوا فرضا يظهر أن الدقة على المحاور الثلاثة تعتمد على اتجاهات كاميرات الفيديو. ومن هذا الفرض ظهر أيضا أنه إذا أردنا الحصول على وضوح جيد على المحاور الثلاثة فإن الزاوية بين أجهزة الرصد (المفترض أنها وضعت في

الزاوية المنعرجة فقط وليس °) يجب أن تقترب من ٩٠ درجة (وهذا بدوره يمكن أن يخلق مشكلة مع العلامات المباشرة التي لا تملك مثل هذه الزوايا الواسعة للاطلاق). في هذه الحالة فإن الخطأ يوزع بنسبة ١ / ٢ / ٢ / ٢ على طول المحاور الرأسية والافقية والسهمية.

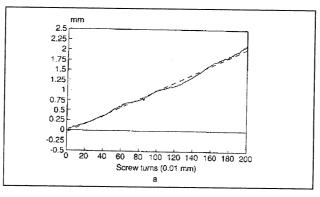
وشكل (٣١) يوضح توزيع الانحراف للخطأ للمركز Z (عمق) مفترضا وجود انحراف في مركبات D - 2 يساوى ١ وأن زاوية كاميرات الفيديو المنعرجة (φ) عول محور Y (العمودي) هي الزاوية اللاصفرية الوحيدة.

ولاحظ أن من ٤٠ و ٩٠ درجة لايمكن تقليل وضوح عمق المحور. ويجب أن يكون ذلك في الذهن عند تصميم موقع الاختبار.



شكل (٣١) الانحراف المعياري للخطأ على المحور السهمي (Z) طبقاً للانحراف المعياري للخطأ في البعدين للكاميرات

- 17.4=



شكل (٣٣) اختيار الدقة لنظام ELITE: (a) قمة المتوسط (دقة الثبات) لكل وضع للعلامة، ويعرض المحور الافقى عدد اللفات اللولبية (مثل عدد الازاحات في ٢٠, ٠مم)، (b) الانجراف المعياري لكل نقطة في الشكل (٣٣ - a).

والاحتمال الأخير هو تقويم مدى وضوح ودقة النظام يكون على أساس محلى. ويمكن أن يتم ذلك عن طريق استخدام مقياس دقيق لتصغير الأبعاد Micrometer بعد وضوح العلامة عليه. شكل ((T, T)) و b و d يوضح مثالا لمثل هذا التقويم يقوم به نظام ELITE وقد أجرى الاختبار في وسط منطقة مدرجة (بقطر يصل الى (T, T)) وتم استخدام برغى لتحريك العلامة الكروية (T, T) مم في كل مرة للحصول على وضع الأبعاد الثلاثة بقياس (T, T) مم (تم توزيعها على المحاور الثلاثة (T, T)). وقد تم الحصول على (T, T) عينة من خلال (T, T) وضع للعلامة وذلك بفضل نظام ELITE أما مركبات الأبعاد الثلاثة فقد تم حساب نسبتها. والشكل ((T, T)) يبين على المحور الرأسى القيمة النسبية لكل وضع من أوضاع العلامة بينما يظهر على المحور الأفقى عدد لفات البرغى (بحركة (T, T)).

وأقصى خطأ تم اكتشافه فيما يتعلق بالقيمة الحقيقية كان ٢٠,٠٠٥ بينما بلغت نسبة الوضوح ٩٥٪ ضمن مساحة ٢٠,٠٠٨ (بقطر ٢٤٠٠/١ وشكل (٣٦) له يوضح انحراف كل نقطة في شكل (٣٦) له و الله الحطأ يتعلق بالوضوح والغموض خلال مساحة تبلغ ٩٠,٠٠٨ (بقطر ١٩,٠٠٠)

حدود واحتماليات النظم Systems Passibilities and Limitations

إن أداء محلل الحركة يتنوع تبعا لنوع جهاز الرصد وجهاز معاملة الاشارة المستخدم فإن الأنظمة التي تستخدم العلامات المباشرة بالرغم من ظهورها في وقت مبكر من نظام تحليل الحركة أوتوماتيكيا (ميتشيلسون١٩٧٥) واقت مبكر من نظام تحليل الحركة أوتوماتيكيا (ميتشيلسون١٩٧٥) نظرا والترنج (١٩٧٤) الآن استخدامهم لايزال مستمراً نظرا لسرعتهم النسبية (كما أن لهم معدل مرتفع في اختبارات العينة) وأيضا لا تتطلب تعقب مسارات العلامات. وعلى الرغم من تخلف هذه النظم في مجال مدى الاعتماد عليها ووضوحها ومرونتها إلا أنها تتبح الفرصة لمعاملة البيانات بصورة عالية دون الحاجة لتدخل مسئول عن التشغيل. ومن ناحية أخرى فهي بطيئة لأن الشخص الحاضع للتجربة يجب أن يرتدى أسلاك وتوصيلات كهربية ووحدات تحكم وعادة ما يشكل ذلك عائقا في تحليل الحركات الرياضية) كما أنه يعيق جميع الحركات السريعة (مثل الحركات الرياضية) كما أنه يعيق جميع الحركات الأخرى ودرجة السريعة (مثل الحركات الرياضية) كما أنه يعيق جميع الحركات الأخرى ودرجة الوضوح ليست عالية بالرغم من الثبات الكامل في كلا نظام العلامة الماثل المبعدين ونظام الصفوف الخطية وذلك لعدة أسباب.

فى التحليل الحركى عندما تستخدم مشتقات قياس الوضع لحساب السرعة فإن وضوح مشتقات kth للبيانات تعتمد على قوة الـ C/k من معدل الاختبار. (لانشمور ۱۹۸۲ Lanshmmor).

ولذلك يمكن أن يكون الوضوح أكثر دلالة من معدل الاختبار.

إن صمامات الثنائية المماثلة للصورة ذات التأثير الجانبي تعانى أيضا من قلة الوضوح الذي يرجع سببه إلى انعكاسات LED وإضاءة الخلفية IR، بينما

الصفوف الخطية تتأثر بالتشويش الناتج عن العدسات الأسطوانية. إن تقليل زاوية الرؤية الموجودة في كلا النظامين يمكن أن يمثل إعاقة في مواقع الاحتبار أو التجربة.

ولا يستطيع أى من الأنظمة تقديم صورة مرئية للمشهد الذى يتم قياسه. إن الأنظمة التى تستخدم العلامات غير المباشرة، بالرغم من أنها تتطلب عملية تعقب المسارات إلا أنها تقدم ميزات فى الحرية والحركة (حيث لاتوجد عوائق أو توصيلات سلكية) مع مرونة عالية فى موقع التجربة. وأيضا يمكن رؤية صورة الحركة على شاشة المونيتور مع العلامات وهذا يضمن أمكان تقسيم موقع التجربة. وهناك عدة حلول لمشكلة تعقب العلامات. والعوائق التى لاتزال تؤثر على هذا الاتجاه هى صعوبة تعقب أثر العلامات عندما يغيب أحدهما أو كلاهما لوقت طويل (عندما تحدث حركات دوران للشخص فى مجال كاميرا الفيديو) والحاجة للتحديد المبدئى قد يجعل معاملة البيانات الفعلية عملية شاقة. فالإتجاه الآن يميل نحو التشغيل الاتوماتيكى الذى يقوم بتعقيب مسارات نظام الأبعاد الثلاثة أكثر من نظام البعدين.

وبعض التطورات الأخرى تحاول الاستفادة من الحقيقة القائلة بأن نقطة التقاء الخطوط تبدأ من انعكاس للنقطة P (في فراغ الأبعاد الثلاثة) الى صورتين مختلفتين لجهازى الرصد حيث (البعدين) يجب أن تتقاطع بالضبط.

ولسوء الحظ عندما يزيد عدد العلامات تظهر عدة نقاط التقاء زائفة تجعل من الضرورى إجراء بعض التحكم. والاتجاهات الأخرى تستلزم استخدام شبكة ظهرية لتعيين العلامات على أساس ملفات التعقب السابقة. كما أن معدل الاختبار سوف يزيد، فشكراً للتكنولوجيا الحديثة التى سوف تجعل العلامات المتاحة أكثر سرعة.

الخلاصة: CONCLUSION

إن التطورات التقنية الحديثة قد جعلت الأنظمة التى تعنمد على الأجهزة البصرية ملائمة لتحليل حركة الإنسان فى الأبعاد الثلاثة، كما أن سرعة جهاز الكمبيوتر وتكاليفه المنخفضة مع التطور فى برامج وديسكات الكمبيوتر فى مجال تحديد وتعقب العلامات تعنى أن الجمع بين العلامة غير المباشر وكاميرا الفيديو الموجهة سوف يمثل المستقبل المثالى للتجربة فى هذا المجال. وهذا فإن على الباحثين استخدام مبادىء التقويم الموضحة فى هذا الفصل عند اختيار معدات القياس والعلامات وتصميم الصورة الخاصة بهم.

स्ङ

الفصلالرابع

أساليب التهذيب والتفريق المطبقة على بيانات الأبعاد الثلاثة المراجع

Smoothing and Differentiation Techniques Applied to 3 - D Data

الفصلالرابع

أساليب التهذيب والتفريق المطبقة على بيانات:

يتعامل هذا الفصل مع أحد المشكلات الدائمة الحدوث والتي تعيق التطبيق المتواصل لتحليل الحركة. إن الفجوة بين الهدف النهائي للتحليل وما يمكن قياسه مباشرة عادة ما تكون واسعة وهي تقلل من إقدام كثير من الباحثين وإقبالهم على دراسة الحركة الإنسانية. ورغم أن معدل انتشار آثار الخطأ في هذا التحويل معقولاً إلا أن هناك إجراءات خاصة يمكن اتخاذها في سبيل تقليل هذه الأخطاء. بعض الأخطاء تتعلق بالعملية الخاصة للبحث وبعضها لا يعتمد عليها مطلقاً. الأمثلة على الرأى الأول هي حدود النموذج الوظيفي الذي يصف الحركة (على سبيل المثال أن نموذج الجسم الصلب يتجاهل وجود أجهزة القياس). ومثال للأخطاء المستقلة أساساً قياس التشويش واسع المدى في الأجهزة الايكترونية البصرية لأسلوب الأبعاد الثلاثة للحركة المجردة. والأخطاء النظامية في معدات القياس لها تأثيرها على النوعيات التي تقاس وزلك بماثل أخطاء التصميم في مكونات سلسلة معادلة المعلومات. وهكذا فإن التمييز بين الأخطاء المتبادلة وغير المتبادلة يكون أكثر ملائمة من التمييز بين أخطاء القياس والتصميم.

وقد يظهر أنه لا حاجة لتقليل قياس التشويش واسعة المدى بسبب عوائق نموذج الجسم الصلب. وبالرغم من أن ذلك يعتبر صحيحاً بعض الشئ إلا أن أغاطاً مختلفة للأخطاء قد يكون لها تأثيرات مختلفة على التنويعات التي يتم قياسها.

وبالتحديد فإن قياس الموجة العريضة التشويش (البيضاء) يكون لها أثراً ضاراً على المشتقات التي تم قياسها بينما النماذج الصناعية قد يكون لها تأثير أكبر على البيانات المبسطة والترددات القليلة. وما سنناقشه بعد ذلك سنجد أن من الممكن الحصول على قياسات أفضل للترددات القليلة عن طريق أخذ عينات مستويات أعلى من المطلوبة في نظرية الاختبار مادام التشويش عنصراً أبيض مضاف.

بدأت الدراسات التي يتم فيها تقويم صفات إشارات الحركة نسبة إلى صفات قياس الخطأ وقيود النموذج إظهار بعض الثقة في إجراء التحويلات اللازمة لسد الفجوة بين ما نستطيع قياسه وما نحتاج معرفته.

ومن أجل الاطلاع على النماذج الحديثة عن التبسيط والتمييز في بيانات التشويش في مجال الميكانيكا الحيوية انظر (هاتز ١٩٨١ Hatze) وود Wood ود كام١٩٨ م) ورود (هاتز ١٩٨٩م) ورودين وجيتو (١٩٨٩م) ورودين وجيتو (١٩٨٩م) ودرمان Dohrmain يوسبي Busby (١٩٩٠م) وود، واميكو وفيريجنو (١٩٩٠م – ١٩٩٩م). وفي تاريخ الإحصاء ومعاملة الإشارة انظر كوى Vau- وانسلي ١٩٩١م) فيسلر Fessler (١٩٩٩م) فيسلر ١٩٨٢م).

* * *

المشكلات العامة التى نواجهما

مع أول وأعلى المشتقات

General Problems With First and Higher Derivatives

إن طبيعة تضخيم الصوت في عملية التمييز معروفة. فإذا كان لدينا إشارة زمنية (X (t تتكون من مجموعة من المتوافقات أو المتآلفات المبينة.

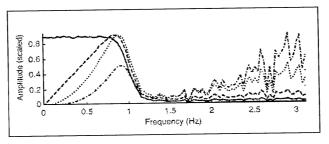
$$X$$
 (t) = $\sum_{i=0}^{N}$ $a_i \sin (wit + \phi_i)$ (15)

ان قيم X (t) تعرف بـ (a_i) ولكنها في بداية الاشتقاق من X (t) يكون $(\omega_i \ a_j)$ ولكنها في الاشتقاق من $(\omega_i \ a_j)$ شكل (∇T) .

وهكذا سوف يسيطر ذلك على السرعة والزيادة والمشتقة العليا.

وبسبب تأثير التضخيم ذا التردد العالى يجب على الشخص ألا يختار قطع التردد على أساس مساهمة القوى النسبية (المعرفة في شكل قيم مربعة) لمكونات الإشارة المرفوضة ولنفترض مثلاً أن الإشارة تتكون من 1 - a... بقيمة 1 + 1 a... 1 + 1 a... وبينما تكون القيم على مستوى الاشتقاق الثانى متساوية.

فوق تردد معين سنجد أن المكونات الطيفية لبيانات الحركة الطبيعية سوف تختص مع تردد في مثل ذلك الارتفاع لمكونات الإشارة على مستوى الاشتقاق لا ينتج سرعات متزايدة وقوى جامدة (وولترنج ١٩٨٥م).



شكل (٣٣) مثال لتشويش الإشارة الضوئية الأولى (....) والثانية (....) والثالثة (....) ومشتقات الزمن

فى الكثير من إجراءات القياس فإن الضوضاء البيضاء التى يضيفها الجهاز يكون لها اتساع للموجة أعلى مما كان عليه قبل بداية تحلله بالتردد. (تويلينج ومارس ١٩٨٤م). وهكذا نجد هناك عادة عدة نقاط النقاء للتردد والتى يقل فيها اشارة معدل الضوضاء (SNR) عن ١ فى كل تردد وهذا يضمن قطع التردد لتبسيط Pass . ويكون هذا القطع للتردد متكرراً فى كل مشتقة تقع تحت معيار SNR.

والإشارات في تحليل الحركة لثلاثة أبعاد له عدة أبعاد مثلاً، يعبر عنه بالمركبات Z, Y, X في مضاعف العلامات عبر الزمن. والسؤال الذي يطرأ هنا ما إذا كان يجب معادلة مكونات الإشارة على حدة أم Y?. على سبيل المثال في تحليل حركة الجسم الصلب فإن المسافة المعروفة والثابتة بين اذدواج العلامات يجب أن تستخدم كعوائق خلال عملية التهذيب والتمييز (مثل جيننج و رود ١٩٨٨م) ويجب أن يتم قياسها في وقت متزامن مع بعضها إذا لم تكن هناك أولوية. والترددات الأساسية في المجال السمعي تكون ضعف مثيلاتها في الاتجاه الجانبي الأوسط. وهكذا يتمكن الشخص من إجراء عملية التهذيب والتمييز المثلى بحرية دون التزام بعوائق (لانج، هاسكيز وكور الهام) (وولترنج ولانج وكور وهاسكيز ١٩٨٧م).

وليس معروف حتى الان أى الاتجاه هو الأفضل ولكن المعاملة المستقلة تعتبر أسهل وعادة ما تتم أسرع. وعلى أية حال فإن المثال السابق يمثل نقطة الانخفاض فى العملية. فإذا تم استخدام عملية المعاملة المستقلة فلن نستطيع تجنب اللقاء مع شروط التردد العالى داخل مكونات إشارة التردد المنخفض وذلك سواء استخدمنا العوائق قبل عملية التهذيب أو بعدها. وقد قال البعض أن مشكلة التهذيب والتمييز يمكن تفاديها بقياهات اشتقاق متكاملة متكررة حتى نحصل على الناتج الذى يمثل البيانات الأولية. ولكن هذا الاتجاه مضللاً أو خادعاً لأنه يعادل قياس الاشتقاق.

ونحن نصادف هذا الخطأ يحدث ليس فقط في نماذج الحركة المجردة بل أنها تحدث في نماذج الحركة الشاملة إذا تم ضبط قياسات القوة مرة بعد مرة وحتى الحصول على معايير مناسبة. وهنا نجد أن معيار الضبط المستخدم لتعديل قياسات القوة سوف يحدد الحل النهائي الذي يحتوى مكونات التردد المخفض.

أما إذا استخدمت الترددات العالية فإنه من المحتمل ايجاد أن وظيفة المعيار المستخدم سطحية وبذلك ستقل مصداقية هذا الحل تحت القياسات الصغيرة أو إعاقات النموذج.

اختيار تردد الاختبار: Sampling Frequency Choice

يجب اختيار تردد الاختبار اختياراً صحيحاً إذا أردنا الحصول على اشارات ثابتة يمكن بنائها من العينات الرقمية.

ومعيار Nyquist يفيد أن تردد الاختبار يجب أن يكون على الأقل ضعف أعلى تردد للإشارة. وهذا لا يعنى استخدام ترددات أعلى في الاختبار. فالاختبارات ذات الإشارة المستمرة سوف تبين بالتفصيل كل الترددات التي تعلو على تردد $m_N = \pi / t$ Nyquist (مثل نصف ترددات الاختبار) وتضعها في موجة $m_N \ge m_N \ge m_N$ وهذا المعيار يضمن أن هذا التفكيك لن

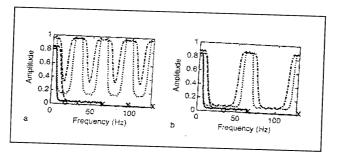
يحدث لمكونات الاشارة فى البيانات أما الضوضاء ذات الترددات العالية فسوف تستمر فى التفكك والضم لموجه Nyquist ويظهر ذلك من ارتفاع عمود الضوضاء على الخط البيانى فى شكل (٣٤) b, a (٣٤) وعلاوة على ذلك فإن مجال البيانات (الاشارت + الضوضاء) سوف يتم تكراره حول ترددات $K=\dots, 2, -1, 0, 1, 2, \dots$

وتكرار هذا التردد قد يبدو غريباً حتى ندرك علاقته بتأثيرات الستروبوسكوب عندما يحدث أى ظاهرة وتخضع للاختبار فإنه من الصعب تحديد مدى ترددها الأصلى.

وبين نقاط البيانات يمكن أن تتداخل مكونات ذات ترددات عالية أو منخفضة. ويساهم الترددات المنخفضة فقط (في موجه Nyquist) أما الإشارات المتداخلة الأخرى فتعتبر صفر.. رياضياً معاملة الإشارة الرقمية في نفس المجال الزمني والترددى يحدث في زمن دائرى أو مجال تردد. ومعاملة الاشارات الدائمة تحدث على مجال خطى طالما بقى قياس الضوضاء فوق مستوى تردد Nyquist سوف تكون أصغر (تويلنج ومارس ١٩٨٤م).. وقد قام جاستافسون (١٩٧٧م) ولانشمار (١٩٨٢م) باشتقاق العلاقة التالية بين مستوى الضوضاء σ_k^2 لكل عينة بعد التهذيب والتمييز لبيانات الاختبار ذات الموجه المحدودة.

$$\sigma_k^2 = \sigma^2 \tau$$
 $\frac{\omega^{2k+1}}{(2K+1)\pi}$ (16)

حيث أن 0 < K في نظام الاشتقاق (0 = k) التهذيب بدون التمييز) σ . Low - Pass σ الاشتقاق الأمثل للضوضاء في العينات الاولية و σ فترة الاختبار (مقلوب تردد الاختبار).



شکل (۳٤) شکل (ω_N) Nyquist مسجل (ω_N) مسجل (ω_N) مسجل (ω_N) مسجل

وفى هذه الحالة يصبح الفصل بين الإشارة والضوضاء مثالى. وهذا الأثر سوف يتضح أكثر مع التحويل اللاخطى فى بناء الأبعاد الثلاثة لمركبات العلامات من ناتج ملاحظات الكاميرا، تحدث بعض التأثيرات اللاخطية. وعلى أيه حال فان تفصيل مركبات الأبعاد الثلاثة يبين العلامات الخاصة ببيانات الجسم الصلب تكون أيضاً لا خطية. وبذلك يمكن حدوث الفصل بين مكونات الإشارة المنخفضة والموجة العريضة ويجب أولاً إضافة المؤثرات الصوتية.

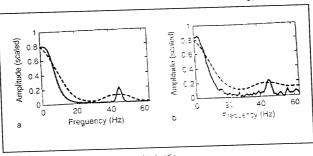
وحالما تم التهذيب فإنه يمكن عمل التمييز عن طريق الاختلافات ونظم الاستبقاءات، حتى بعد التحويل اللاخطى. وعلى أية حال فإن مدة التمييز والاستبقاء يجب أن تكون قليلة نوعاً ما للسماح بالتقريب الخطى لأعلى وأول المشتقات في الترتيب.

ويجب أن نلاحظ أن عملية المعاملة الحرة للبيانات الأولية قد لا تتبح الاستخدام الأمثل للمعلومات المتاحة على سبيل المثال فان خطوط الرؤية الواصلة بين الكاميرات وأجهزة الرصد لابد أن تتداخل في نقطة واحدة. أما الأخطاء التى نواجهها في هذه الحالة فقد تساعدنا على افتراض مواقع الخطأ

فى النظام خاصة إذا كان هناك أكثر من كاميرتى فيديو. ويعتبر ذلك فى صالح الأبعاد الثلاثة الخطى قبل التهذيب.

وعلى نحو مشابه فإن المعرفة المسبقة للمسافات بين العلامات يمكن استغلالها في القياس المباشر للموقع وقياس اتجاه الجسم الصلب وموقعه من الكاميرا. والمثال على ذلك هو التحويل الخطى المباشر المستخدم على نظام الابعاد الثلاثة للكاميرا حيث موقع واتجاه الهدف وعلاقاته بالآخر مع عدد معين من وحدات الباراميتر يمكن أن نحصل عليها من TIDIT باراميتر والتي تنتج أثناء التدرج في الموقع.

ونظرياً يعتبر أفضل اتجاه هو القيام بجميع عمليات المعاملة في نفس الوقت باستخدام أدوات النظام الحديث وقياس الباراميتر (ايكوف ١٩٧٤م، زودستوم وستوشيا ١٩٨٤م) وبهذه الطريقة نستطيع قياس القوة الموجهة لوضع الجسم الصلب وشبكة الاتجاهات والقوة الموجهة لسرعتها وعجلتها (على المحور الخطي أو الدائري) وذلك من خلال ملاحظة كل البيانات الخاصة بمجموعة العلامات. حتى إذا كانت بعض العلامات ليست دائماً في دائرة ملاحظة الكاميرات.



شكل (٣٥) التأثير غير الخطى فى المجال الزمنى وانحراف الطيف (a) حر التشويش، (b) الإشارة المشوشة قبل (الخط الثابت) وبعد (. . . .) الإشارة المربعة فى مجال الزمن

وبالإضافة لذلك فإن الشخص يمكنه إدماج قياسات العجلة والموقع . وتعتبر قياسات الموقع مفيدة بصفة خاصة بالنسبة للمجال ذا التردد المنخفض بينما تساهم بيانات العجلة في المجالات ذات الترددات العالية (لادن و ود١٩٩١م).

والأقسام التالية ستناقش بعض الاتجاهات الحالية بين عمليات المعاملة المستقلة والمتزامنة.

الاساليب البار اميترية : ومناسبة النموذج Parmetric Methods : Model Fiting

يبدأ الاختلاف بين النماذج الباراميترية والنماذج اللاباراميترية من وقت ظهور نظم الحاسبات عندما يعبر عن النماذج اللاباراميترية بمنحنى لوظيفة أو جدول أما النماذج الباراميترية فكانت تعطى بناء ولكن بعدد محدود من وحدات الباراميتر معروفة.

وفى مجال الإشارة الرقمية فان التمييز بين النوعين لاداعى له لأن كلا النوعين يعتمد على وحدات الباراميتر فى القياس. ولكن يبقى من الممكن التمييز بينهم على أساس عدد وحدات الباراميتر التى تستلزم كمية من البيانات المتاحة.. وبمعنى آخر على أساس درجات الحرية. وهكذا فان التناسب بين القطع المكافئ ومجموعة وبيانات الصوت عملية باراميترية بينما عملية عملية على Spline ومناسبتها للبيانات عملية باراميترية.

وفى بعض العمليات يتم المزج بين النماذج الباراميترية واللاباراميترية فى مجال التردد (انظر د. اميكو وفيريجنو ١٩٩٠ م – ١٩٩٢م).

وفى أسلوب القياس بالباراميتر يكون النظام الرياضى من عدد من الباراميتر المجهولة أو المعروفة جزئياً والمشكلة هنا هو كيفية قياس هذا العدد من الباراميتر من مجموعات خاصة متكررة من البيانات الصوتية. مثلاً إذا كانت الإشارة الصفرية ذات شكل معروف X(t) وتختفى وراء إشارة الضوضاء Y(t) بإضافة ضوضاء بيضاء ثابتة (انحراف α يعنى الصفر أو كمية غير

معلومة) وهي عملية تسمى التعقيب التوليفي في تكنولوچيا الرادار التي تعتمد على إيجاد القيمة القصوى للوظيفة ذات العلاقة التبادلية. $P(T) = \int x(t) y(t+T) dt,$ (17)

والقيمة القصوى يمكن إيجادها في مجال التردد لأن عدد اللفات في مجال الزمان بماثل عملية الضرب في مجال التردد. وباستخدام أساليب تحويلية سريعة يمكن اختزال عدد كبير من عمليات الكمبيوتر (اوبنهايم وشافر .(1919

وعمومأ فإن قياس الباراميتر تحت ظروف إضافة الضوضاء يمكن ترجمته إلى محاولة حل مشكلة النظام الخطي.

$$\overrightarrow{Aa} = \overrightarrow{y}$$
,(18)

n > m; $y = \infty$ وعادة مع m * n المعروفة لرتبة m * nکمیة الضوضاء الحقیقیة والغیر معروفة $(\epsilon 1,..., \epsilon_n)$ والتی $(Y_1,..., Y_n)$ -تعرف بالتحديد صفاتها وحيث (a,...... a_m) تحتوى على عدد الباراميترات

ومثال على ذلك أحكام القطع المكافئ $X=a_0+a_1t+a_2t^2$ من بيانات التشويش (Yi) $n \ge 1$ المخزنة في n - vector والقوة n والقوة الموجهة $(1,t^1,t^2)$ واحد لكل نقطة زمن (t,t) وهذه المصنوفة يمكن ربطها عن $\xi\left(\varepsilon\right)=0$ اذا كانت قيمة التشويش تعنى صفر وان n * 3 Matrix x A طريق بشبكة معروفة غير مفردة (٤٤) عَجَ فإن أفضل نظام للقياس هو كما يلي:

وفى أغلب الأحيان فإن N تكون مرفوعة لعامل النسبة الذى يمكن الحصول عليه من اختلاف الفرق بين الناتج O_{res}2 مثل ما يلى:

$$G^{2}_{res} = \frac{ \begin{array}{c} \Lambda & \Lambda \\ \hline \epsilon & \epsilon \\ \hline (\mathbf{n} \cdot \mathbf{m}) \end{array}} \dots \dots (21)$$

حيث أن
$$\begin{array}{c} \stackrel{}{\longleftarrow} \\ \stackrel{}{\longleftarrow} \end{array}$$
 الخطأ المناسب بين البيانات والنموذج، أو :
$$\begin{array}{c} \stackrel{}{\longleftarrow} \\ \stackrel{}{\longleftarrow} \end{array}$$
 = (I - AN blue A¹ N⁻¹)

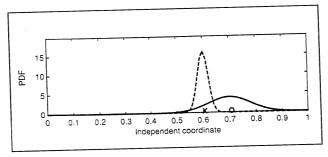
وحيث أن تباين المصفوفة (Coveriance Matrix يمكن قياسه مثل:

$$N_{blue} = \sigma_{res}^2 (A' N^{-1} A)^{-1}$$

وبالرغم من أن ناتج التربيعات التقليدية مناسب لبيانات الصوت أو التشويش قد يؤدى إلى الحصول على قياسات متتالية إلا أن تنوع القياسات قد يكون كبيراً جداً إذا كانت مصفوفة البيانات A شبه مفرده.

والاختلافات في بيانات الصوت يعتبر مثالا لحالة شبه الانفراد. ولذلك قد يكون من المفيد أن تسمح ببعض الانحراف في أمر القياس. والذي بدوره سوف يقلل في تنويعات القياس بصفة معقولة.

انظر الشكل (٣٦).



شکل (۳٦)

مثال لأساس وتباين الصناعة على بعد لتقدير البيانات. احتمال معامل الكنافة (PDF) لأفضل تقدير غير خطى (الخط الاسود) والمقوم وقع بالخط المقطع (...). وعلامة المتوسط الحقيقي صفر وعلامة المتوسط المؤسس (X)

تنقية Low - Pass في عملية التفريق يعتبر مثالاً على فرض مثل ذلك الانحراف. ومن أجل تقليل مستوى Stochastic error فإن علينا إدماج بعض المركبات المحددة.

وهذا يتطلب إزالة التشويش. الإشارات الأخيرة في الحقيقة هي شكل من الانحراف.

وهناك طريقة لفرض قليل من الانحراف بفرض عدد من المعوقات النسبية على النظام الخطي (١٦)

Ca = O,

حيث أن K*m matrix = C أما لتحديد مقدار الوزن المؤثر على هذا الانحراف بإضافة عامل وزن إضافي فإن تنظيم الباراميتر X يجب أن يكون أكبر بكثير من الصفر. وفي عملية التفريق مثلاً، يمكن فرض العائق على نطاق الاشتقاقات. والقياس الناتج هو:

 $\frac{\Lambda}{\text{a}_{\text{biased}}} = (A' \ N^{-1} \ A + \alpha \ C'C)^{-1} \ A' \ N^{-1} \ \mathbf{y} . \qquad \dots (25)$

وتوجد نماذج مشابهة في مجال التصوير الطبي (الاشعات الطبية) (, CT) MRI)

واستخدام عوائق للوزن في معادلة (١٩ – ٢٤) فإن لذلك أثراً في إيجاد العلاقة التبادلية بين عناصر $\frac{\Delta}{a}$ وأيضاً تقليل الأبعاد على $\frac{\Delta}{a}$ وغل الحقيقة عكن وصف كيفية تبسيط الشريحة تبعاً لهذه النماذج ولكن عندما m=n للنموذج البارميترى.

والسؤال يبقى ما مدى الانحراف المفروض إيجاده لتقليل مستوى التشويش فى القياس a_{biased} بالقدر الكافى دون الخلل بالإشارات أيضاً.

وهذه القضية التى تتعلق بالتنظيم المثالى واختيار القيم المناسبة لـ lpha سوف يطرح فى قسم المعادلة التالية للبيانات.

الاساليب اللاباراميترية

Nonparametric Methods

إن أسلوب أحكام الشريحة الزمنية وأساليب Fourier السريعة في مجال التردد غالباً ما تعتبر أساليب لاباراميترية لمعادلة الإشارة. ولكن هذه الأساليب تعتبر أيضاً باراميترية بالرغم من حقيقة أن النموذج الذي يراد أحكام بياناته عام وذلك يستدعى وجود عدة وحدات باراميترية غير معروفة.

وهناك تاريخ طويل لهذان الأسلوبان ولكن لا يسمح الفصل بذكره. ولكن يمكن للقارئ العودة للتاريخ الأصلى للموضوع مثل كتاب عام ١٩٨٩م الذى ألفه (أوبنهايم وشافر وعنوانه الكلام ومعادلة الإشارة).

كما أنه توجد عدة برامج كمبيوتر خاصة بالموضوع وتتيح المساعدة في عملية تنقية الباراميتر من الزمن المحدد أو متطلبات مجال التردد

(مثل RESEARCH . ATT . COM) الذي يمكن الرجوع إليه في الفهرس أو مخاطبته عن طريق القنوات التجارية.

أساليب مجال الزمن: Time Domain Method

إن مصطلح التنقية الرقمية له عدة معانى قد يختلط بعضها فى علم الميكانيكا الحيوية والمصطلح رسمياً يرجع لأى شكل من أشكال معاملة الاشارة الرقمية سواء فى ذلك إذا كانت تمهيد Low - Pass أو التفريق أو أى نوع من التحويل . وفى مجال الزمن فان مصطلح تنقية عادة ما يفسر فى نطاق ضيق على عكس التمهيد والتنبؤ . عند وجود مقدار محدد من وحدات قياس التشويش فى فترة زمنية $T_{min} T_{max}$ وعندما يقاس التحويل للزمن $T_{min} T_{max}$ التنقير ألى الحالة $T_{min} T_{max}$ التنقية تشير إلى الحالة مثلا فى أسلوب Kalman للتنقية فان القياسات السابقة والحالية تستخدم لقياس القيم الحالية للموقع ، السرعة والعجلة من بيانات التشويش وعند استخدام المعلومات المستقبلية أيضاً يتم تطبيق مصطلح التمهيد (فيوريتي وجبتو ۱۹۸۹م). إن أجهزة التنقية تستطع قياس البيانات الماضية والحالية والمعالية والمعالية والمعالية والمعالية والمعالية والمعالية والمعالية والمعالية خلال مجموعة من الإجراءات .

كثير من آساليب المجال الزمنى المعروفة تعمل جيداً اذا كانت البيانات الأولية يفترض فيها الثبات. ومن المهم على أيه حال إدراك أن هذا الفرض قد لا يكون صحيحاً فى جميع تجارب وعمليات الميكانيكا الحيوية.

ومن أجل تنقية رقمية مثلى نعود هنا للإشارة للتاريخ. وفي علم الميكانيكا الحيوية فإن استخدام وظائف الشريحة قد أصبح شائعاً منذ نشر كتب (سردان وديركيس ١٩٧٩م) وود (١٩٨٢م) وعلى أيه حال فليس هناك إشارات لاستخدام الشريحة في تاريخ المعادلة الرقمية للإشارات، وقد يرجع سبب ذلك إلى كون قاعدتها الأساسية تحليلية وشيوعها في الإحصاء كان بعيداً عن مجال تحديد تردد الزمن في مجال هندسة تحليل الإشارات.

وقد ظهرت حديثاً الصلة بين المجالين (كرافن ووهبة ١٩٧٩م – وولترنج وآخرون ١٩٧٧م) وهناك مركبات أخرى توجد في مجال التصميم الديناميكى (دورمان وبايس ١٩٨٠م).

أساليب مجال التردد: Frequency - Domain Method

في السابق أشرنا إلى أسلوب تنقية Wiener. وهنا قد أجريت عمليات التمهيد التنقية والتنبؤ والتفريق في مجال التردد. وعلى أية حال فإن جهوداً كبيرة قد بذلت من أجل خدمة التطبيقات العملية في الملاحة في الفضاء والمدفعية لتقريب هذه العمليات في مجال الزمن. فإذا كانت الاشارة والتشويش ليس لها علاقة تبادلية – مع وجود قوى كثافة معروفة $N(\Theta)S(\Theta)$ فإن جهاز تنقية Wiener هو الأمثل لتقليل حجم الخطأ وهو أيضاً يملك وظيفة التحويل (وولترنج ١٩٩٠م).

$$H(\omega) = \frac{S(\omega)}{S(\omega) + N(\omega)} \qquad (26)$$

على سبيل المثال يتبع نظام التفريق Kth ناتج الـ $(i \ m)$ $(j \ m)$ عندما تكون $(j \ m)$ هي المثلى وتبعاً لاستجابة تردد جهاز التفريق و $(j \ m)$ هي المثلى وتبعاً لاستجابة تردد جهاز التفويل المثلى في مجال $(j \ m)$ التردد ترتبط بـ (m) (m) في المعادلة $(j \ m)$ وهذا هو نتيجة اختبار المعيار الما

بالرغم من أن أسلوب تنقية Wiener قد يكون مثالياً من وجهة نظر مجال الرغم من أن أسلوب تنقية Wiener قد يكون مثالياً من وجهة نظر مجال التردد إلا أن له تأثيرات عكسية في مجال الزمن. واعتماداً على عمل الدرسن Anderssen وبلوم فيلد Bloomfield (١٩٧٤) قام هانز (١٩٨١م) بوصف عملية Fourier للتحويل السريع لقياس Pass للإشارات المنقاة ومشتقاتها. ومشكلة عدم ثبات البيانات قد أصبحت مؤكدة نظراً للطبيعة الدائرية لعملية .FFT والبيانات الدولية تم تعديلها عن طريق طرح الميل الخطى $a_0 + a_1 t$ قيمتها صفر. وبعد ذلك أصبحت البيانات تتخذ الاتجاه الدائرى المستمر في أول اشتقاقاتها بالعكس السلبي مثل:

 $X_i = Y_i$, $X_{2n+1-i} = y_i$; i = 1,...., n (27)

التمهيد والتفريق تم على مجموعة البيانات المقدمة $\{X_1\}$ في مجال التردد تبعاً لأسلوب Fourier في التحويل. ولسوء الحظ أن هذا الاتجاه $(i=1 \ \text{and} \ i=2n)$ يتطلب فرض قطع الاشتقاق الثانى على موانع التسجيل (المشتقاق الثانى الحقيقي لا صفرى في هذه النقاط أما تنقية البيانات $(i=1 \ \text{and} \ i=2n)$ ليسانات $(i=1 \ \text{and} \ i=2n)$ في مجال التردد قد نتج عنه طنيناً في إشارة المشتق الثانى ليس فقط على موانع التسجيل ولكن خلال مدى البيانات (وولترنج 19۸0م).

أما الأساليب البديلة التي تتجنب الحقائق الزائفة فيجب استخدامها تحت الظروف المناسبة وأيضاً هناك كتب عديدة تبحث في مجال الإشارة وتطوع أساليبا عديدة لها فهناك أساليب تعتمد على استخدام برامج الكمبيوتر متاحة في الأسواق كما أنه هناك أساليب يمكن منها الاختيار بين معايير تختلط فيها مجالات الزمن والتردد.

المعاملة المثلى للبيانات: Optimal Data Processing

إن العديد من الكتب تمد المستخدم بأساليب التحكم الكامل في استجابات. التردد أو الزمن وهنا تصبح المشكلة هي كيفية الاختيار بين تلك الاستجابات. وهذا بدوره يظهر لنا مشكلة أخرى وهي القياس الأمثل لاستجابات التنقية المطلوبة من البيانات ومثالاً على ذلك هو أسلوب تنقية Wiener التي ناقشناها في السابق عندما تم قياس مجالات الصوت والإشارة من البيانات أو تم افتراضها. وفي العلم الحديث فإن الأساليب المثلى قد تم طرحها للبحث خاصة في خدمة مجال ملاحة الفضاء.

وبذلك فإن استجابات التنقية يتم تحديدها وعدد وحدات الباراميتر يتم قياسها من البيانات على سبيل المثال يمكن أن تقرر استخدام جهاز تنقية Butter ولله الذي يعمل بنظام 0 بوظيفة تحويل ونحاول إيجاد تردد Worth مناسب 0 من البيانات لأن هذا النوع من الفلتر يسمى:

$$H_{\alpha}(\omega) = \frac{1}{1 + (\omega/\omega\alpha)^{2m}} \dots (28)$$

بفلتر (IIR) يعمل عادة بطريقة الإعادة للمعاملة المباشرة في مجال الزمن وحالته الآلية تعتبر مهمة. وهذه الحالة الأولية قد تؤثر على قيم الاشتقاق المكتسبة تباعاً من ألبيانات الممهدة. وهكذا قد يفضل البعض فلتر (FIR) الذي تكون فيه عملية التحكم في وضعه وتشغيله.

وقد قام هانز (۱۹۸۱م - ۱۹۹۰م) وولترنج (۱۹۸۵م-۱۹۸۹م-۱۹۹۰) بوصف الأساليب المثلى لقياس البيانات المهدة ومشتقاتها من تسجيلات بيانات الصوت. وقد قام هانز بتطبيق هذا الأسلوب على موديل FFT ووصف وولترنج ودورمان وبابسى هذه الأساليب وقاموا بتقديم برامج لتشغيل هذه الأساليب في مختلف المجالات.

ويفترض للوصول للكمال تحديد المعايير الواقعية حتى يتم الوصول بها للكمال. وهذه بدورها تستلزم افتراضات محددة عن البيانات (الإشارة والضوضاء) حتى يتاح معاملتها بأفضل أنواع الفلاتر أو المنقيات. وبسبب بعض عيوب بالنماذج فإن الفروض غير الواقعية، والسؤال الذي يجب طرحه هو ما مدى نشاط أو تحمل الأسلوب إذا لم يتم استيفاء فروض النموذج؟ مثلاً إشارات التردد مع إضافة ضوضاء بيضاء يمكن فرضها غالباً فماذا يحدث اذا كانت البيانات لا تحتوى على ضوضاء بيضاء أو إشارات ذات تردد عالى؟ ولهذا فما هى دلالة قياسات الجسم الصلب فى الحركات والقوى المشتركة مع الوضع فى الاعتبار طبيعة الجهاز الإنساني الذى لا يتسم بالصلابة؟ (ومثال لذلك سوف يناقش فى القسم القادم). فى الجوهر كثير من هذه الأساليب يمكن جعلها تقتصر على مشكلة التنظيم الأمثل لقياس الباراميترات كما هو مين مثل x فى المعادلة (x).

التوثيق العام المتبادل: Generalized Cross - Validation

فى أعمال كرافن ووهيه (١٩٧٩م) هناك اتجاه واحد امثل لتحديد ∞ من البيانات وهو ما يسمى بالتوثيق العام المتبادل (GCV) وفى جوهره يتطلب هذا الاتجاه قياس وظيفة الاحكام التى تعتمد على جميع نقاط البيانات ما عدا نقطة kth لبعض القيم المعطاه ل ∞ . والخطأ المتوقع عند ∞ هذه النقط يستخدم بعد ذلك فى تحديد الخطأ العام لـ (RMS) وهكذا (RMS) أفضل التنبؤات فى مجال إحساس RMS. وعلى النقيض من التوثيق المتبادل العادى (DCV) ومكل أو (CV) يستخدم نظام GCV عوامل الوزن لتحقيق مدد غير متساوية فى المتغير المستقل.

ومن المدهش حقاً أن موضوعى استخدام الشرائح فى الإحصاء والتنقية الرقمية فى الهندسة الكهربية قد اقتربا من بعضهما الآخر. ويظهر لنا أن سمات مجال التردد للشرائح المنتظمة يماثل إلى حد بعيد تلك التى يستخدمها نظام فلتر Butter Worth . ووظيفة أسلوب GCV تتحدد بالخطأ فى فرق الناتج وتأثير عرض موجه التوقف فى الفلتر . فإذا كانت (ω) ω هو استجابة الفلتر . (ω) هو المجال الداخل فإن المجال الناتج (ω) ω ومجال الخطأ (ω) ومحبان كما يلى:

 $y_{\infty}(\omega) = H_{\infty}(\omega) x(\omega), \dots (29)$ $E_{\infty}(\omega) = \xi H_{\infty} \{\omega - 1\} x(\omega),$

والقوة المتبقية لكل وحدة ترددية في موجة التوقف W_{stop} كما يلي:

$$\sigma_{\infty}^{2}(X) = \frac{1}{\omega_{\text{stop}}} \int_{0}^{\pi/\tau} / E(\omega) / 2 d\omega \dots (30)$$

$$\sigma^{2}_{\alpha} = \frac{1}{(\pi/\tau - \omega_{\alpha})} \int_{\omega_{\alpha}}^{\pi/\tau} |X(\omega)|^{2} d\omega, \dots (31)$$

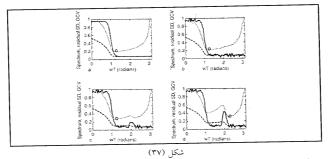
عندما تكون $_{\rm T}$ هي مدة الاختبار. أما الضوضاء البيضاء $_{\rm (w)}$ أساساً تكون مسطحة لأى $_{\rm X}$ $_{\rm W}$ أقل من أقصى تردد للإشارة. ولذلك $_{\rm C}$ سوف يكون ثابت أيضاً و GCV وظيفته يتم الحصول عليها بالتقسيم مرة أخرى على $_{\rm Stop}$ والقيمة المثلى تنتج باختبار هذه القيمة المحددة لـ $_{\rm X}$ التى عندها تصبح وظيفة الـ GCV في أدني مستوياتها.

 $H(_{(0)}) = 0$ وعملياً فان الفلاتر الخطية مع عرض موجه نهائى بين $H(_{(0)}) = 0$ و $H(_{(0)}) = 0$ ويمكن تعميم هذه الفكرة عن طريق وزن كل مكون من مكونات التردد. ويظهر أن أثر مصفوفة التنقية $A_{(0)} = 0$ في التحويل الخطى كما يلى:

يمكن استخدام Y_{∞} بين البيانات الأولية الداخلة والناتج المهد لهذا الغرض (كرافن ووهيه ١٩٧٩م) لأن الفلتر الأمثل يساوى عدد مكونات التردد وعرض موجه التوقف نسبيه إلى n - n لان إجمالى القوة المتبقية بمكن استخراجه في مجال الزمن ككمية من الفروقات المربعة بين البيانات الأولية والبيانات المههدة.

من أجل إشارة Pass - Low والضوضاء المضافة يكون الخط الأفقى فى المجال عالى التردد ينتج عن ذلك ما يشبه ما حدث فى الشكل (٣٧) وهذا فى مجال البيانات الأولية يتم رسمه بخط متواصل يعبر عن وظيفة التردد. بينما المقدار الباقى من تردد الانحرافات فى كل وحدة وقياس GCV يتم رسمه بالخط المنقط والمتقطع وهما يعبران عن وظائف تردد الفلتر تبعاً لتردد نظام -Ny. لأن بيانات التردد العالى تحتوى على ضوضاء مع طيف ثابت والمقدار الباقى للانحرافات يتماشى مع البيانات.

لتقليل تردد cut - off فان وظيفة s . d تبدأ في الانحراف في مجال الاشارة لأن هذا المجال يبدأ في التغيير مع التردد.



ولأن الإشارات الحقيقية التى نحصل عليها عن طريق تحليل حركة الأبعاد الثلاثة لن تتمكن من تحقيق فروض النموذج فالسؤال الذى يفترض طرحه هو كيف ستتمكن هذه العمليات من ممارسة العمل؟ يوضح ذلك الشكل $(a-\pi)$ وفي شكل $(a-\pi)$ لا تزال الضوضاء بيضاء ولكن في الشكلين $(a-\pi)$ تم إضافة قمة في مجال التردد العالى. لأنه في الحالة السابقة كانت هذه القمة أصغر من أن تظهر كصوت بأسلوب العدد أو الحساب ولكن ذلك يختلف في الحالة الثانية. وعلى أية حال فالفلتر لا يستطيع التمييز بين الإشارة أو الضوضاء، ففي النهاية من يستخدم الفلتر يفسر البيانات التى لها الاختبار الأخير.

Spline Package : GCVSPL مجموعة شرائح

بعض هذه المشاكل يمكن توضيحه وحله باستخدام مجموعة شرائح GCVSPL (وولترنج ١٩٨٦م) وفي هذه المجموعة نجد أن الحد الأدنى العالمي والمحلى لوظيفة GCV عن طريق إدخال القيم المراد استخدامها في البحث عن تنظيم مثال للباراميتر ∞ وهذه المجموعة يمكن استرجاعها بالبريد الاليكتروني.

وتحتوى مجموعة الشرائح المختارة من قبل حتى نظام 2m ويمكن أن نحسب خطياً (m=7) = مكعب (m=3) مخمس (m=7) مسبع (m=7) ومتسع (m=9) والذى يعتبر أكثر أنواع الترتيب التي يمكن الاعتماد عليها.

أما بالنسبة للشرائح الدورية فإن البديل لفلتر Butter Worth المضاعف يمكن إيضاحه عن طريق نظرية Fourier إذا تم تحديد الشريحة كما هو في التحويل الخطى (٠) h ، مع Fourier تحول (١) ط والذي يقلل وظيفة القيمة من أجل تنظيم ثابت للباراميتر. ، كما يلى:

$$\frac{1}{n} \sum_{i=1}^{n} |h(Xi) - Xi|^2 + \alpha \int \left| \frac{\partial^m h(x(t))}{\partial t^m} \right|^2 dt, xi = x(ti).$$
 (32)

المعادلة (٢٨) يمكن أن تشتق لأن الوظيفة المثلى للتحويل (١١) $_{
m H}$ مع

$$(0) \propto = (n \tau_{\infty})^{-1/2m^2} \tag{33}$$

وبالرغم من أن هذه العلاقة تصلح لشرائح المتنافسة إلا أن GCVSPL بالشريحة الطبيعية وجد أنها تؤدى بنفس الطريقة ما لم يكن مقدار التمهيد عالياً جداً.

Low Pass فإن GCVSPL ذا الشريحة لا يتصرف كفلتر مثالى GCVSPL وعلى أية حال فإن عرض الموجه المؤثر ينتج كنسب $\{x\in A \mid A > 1\}$. كما يبين أن $A \propto A$

$$A_{\alpha} = B(B +_{\alpha}E)^{-1} \tag{34}$$

حيث أن مصفوفات n * m و B موجه ومحددة وتتعلق بالمصفوقات C,N,A كما في المعادلة (٢٥). وبسبب الطبيعة المحددة للموجة في هذه المصفوقات فإن حساب $x \neq 0$ في معادلة ($x \neq 0$) وفي $x \neq 0$ تكفي ولا

تتطلب قلب المصفوقة كما في المعادلة (٣٥). والمقدار المتبقى من الانحراف في مجال الزمن (بنسبته إلى مقدار الانحراف في كل وحدة تردد في مجال التردد) ووظيفة GCV يعبر عنها كما يلى:

$$\sigma^{2} \propto = \frac{\left| \{1 - A_{\alpha}\}x \right|^{2}}{\text{Trace } \{I - A_{\alpha}\}}$$
 (35)

$$GCV_{\infty} = \frac{\left| \left\{ 1 - A_{\infty} \right\} x \right|^{2}}{\left| \operatorname{Trace} \left\{ 1 - A_{\infty} \right\} \right|^{2}}$$
 (36)

إن تشابه المعادلات (٢١) و (٢٢) ، (٣٤) مع $I = Trace \{1\}$ فإن ذلك يستدعى $I = Trace \{I - A\}$ بحيث يفسر الرقم المؤثر في درجة الحرية في تبسيط المشكلة و $I = Trace \{A = A\}$ على أنها البارميترات المؤثر $I = Trace \{A = A\}$ الإجمالي $I = I = Trace \{A = A\}$ ولأي قيمة I = I = I ولأي المراحق المراحق المراحق والمراحق والمراحق

ودلالة هذا التفسير يمكن توضيحها لتحديد الحالة وتمهيد ∞ ح ∞ ودلالة هذا الشرائح الطبيعية، إن الشرائح بعد ذلك تقلل إلى كمية متعددة الحدود (m-1) و ∞ Trace ∞ التفسير لـ Trace ∞ Trace ∞ التفايمة. بسبب هذا التفسير لـ Trace ∞ التم تستخدم للوصول للأسلوب الأمثل في نظام مجموعة GCVSPLE.

ومن أجل تحقيق أسلوب مثالى مضاعف في وظيفة GCV قد يكون من المفيد لتخطيط الكمية المتبقية للانحراف ومدى GCV كوظيفة لـ ∞ واستخدام الشريحة في هذا النظام يماثل استخدام فلتر Butter Worth وهذه العلاقة موضحة في المعادلة (∞) وفي أثناء التجربة وجدت العلاقة الخطية التالية بين { ∞ } Trace { ∞ }.

_ 197__

Trace
$$\{A_{\infty}\}= x\{n/2 + mk_n \omega_{\mu}\tau\}$$
 (37)

$$K_{\rm m} = \int_{0}^{\infty} \frac{dx}{1 + x^{2m}} \sqrt{\frac{1}{\pi}} \text{ For } m \longrightarrow \infty$$
 (38)

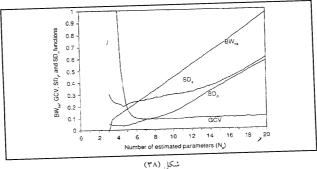
وقد وجدت هذه العلاقة تتحقق فقط فى القيم العالية لتنظيم الباراميتر وبعد ذلك أصبحت الشرائح متعددة، انظر $Bw_{\rm fr}$ شكل (M) وهذا يعنى أن الشرائح كعينة تحتاج ما يقرب من m/2 كعينات للوفاء بتأثير المركبات.

أما بالنسبة لبقية النقاط فإن الشرائح الطبيعية تؤدى عملها تقريباً كالشرائح الدورية وحتى انحراف (m-1). أما المركبات الوهمية فإنها سوف تعمل على الانحرافات الأعلى لتسجيل البيانات إذا كانت قيمة الانحرافات الأعلى لا صفرية في حدود التسجيل.

وعند حساب الشرائح لقيمة $_{\infty}$ المختارة من قبل المستخدم فإن مجموعة GCVSPL تستخدم وبديلاً لذلك يمكن استخدام المجموعة بأسلوب متكرر يكون فيه القيم المثالية أو القيم المطلوبة لـ $\{A_{\infty}\}$ موجودة أتوماتيكياً.

وتحتوى هذه المجموعة على عدة اختيارات أخرى مثل معاملة البيانات والسماح بوجود عدة عوامل للوزن إذا توفرت بعض المعلومات عن توزيع الضوضاء النسبي.

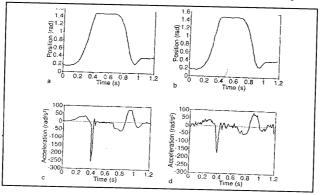
والسؤال المطروح هو ما مدى مثالية أو فعالية أى من الانحرافات التى نتجت عن هذه البيانات الممهدة؟ إن عملية الشرائح تمثل حلاً وسطاً للمناسبة بين مستوى البيانات (انحرافات O-th) والانحناء فى انحرافات mth (هانز ۱۹۸۱م) قد اقترح استخدام معايير مختلفة للتمهيد لكل انحراف ولكن مجموعة الشرائح لا توفر ذلك. وفى الواقع فإن تعقيد النتائج التى توصل إليها وولترنج وآخرون سنة (۱۹۸۷م) ولانج وآخرين (۱۹۹۰م) توضح أن مقدار التمهيد كان أقل من المطلوب. شكل (۳۸) وفى هذه الدراسات تم قياس المحور اللولبي بالنسبة لحركة قرب محور مثبت ولذلك فإن انتشار IHA الذي تم تقدير استخدامه كمعيار كلي لنوعية اكتساب البيانات وحلقة معاملة البيانات. وقد أظهر وولترنج (١٩٨٧م) أن IHA هو الانحراف الأول الذي يتطلب الموقع والسرعة لنقطة الرجوع في جسم متحرك وسرعة الدوران لهذا الجسم. وبالرغم من تحقيق تطور مؤثر يرجع سببه لأسلوب GCV المثالي في تمهيد بيانات موقع الضوضاء فإن تمهيداً أقوى قد يقلل مقدار الضوضاء في بيانات IHA باستخدام عامل من ٢ إلى ٣ (انظر SDn (SDs) البيانية في شكل (٣٩) للتعرف على موقع واتجاه الانتشار و(IHA).



تتاتج النهذيب من أجل تزامن المحاور اللولبية من تشويش بيانات العلامة الارضية (ولتررينج وآخرون ١٩٨٧م). موضع الاخطاء SD، واتجاء الاخطاء BD للانحراف الأول الذي يتطلب الموقع والسرعة لنقطة الرجوع في جسم متحرك وسرعة الدوران لهذا الجسم (HA)).

إن مدى ما يتحقق من مثالية لكل انحراف سوف يؤدى إلى تحسن فى مزايا أسلوب التمهيد والتفريق ومثال لذلك قدمه رولترنج (١٩٩٠م) كان مقدار من البيانات تم معاملتها بواسطة الشرائح الطبيعية GCV لأنماط مختلفة فى شكل (٣٩) a,d (قبال المواقع التى تم قياسها وعجلة البيانات يتم مقارنتها بشرائح GCV الطبيعية وما تحصل عليه من قياسات.

وسنجد طنيناً واضحاً يظهر فى الانحراف الثانى وهذا ينتج عن استخدام فلتر Low Pass على إشارة ذات تردد عريض. وبالرغم من اختفاء إشارات الانحراف الثانى على حدود التسجيل فإن مكعب شرائح GCV أظهر مكوناً ذو تردد عالى قوى لا يمكن رؤيته فى نظام شرائح GCV العالية ومن المحتمل أن يكون هذا تأثير الضوضاء على حدود التسجيل.



شکل (۳۹)

(b a) موضع البيانات، (d,c) بيانات العجلة المشتقة من ١٩٨٥) Dowling ، كلا المنحنين يسارا من تسجيلات غير عملية ويعرض المنحنى فى الجزء العلوى يمينا وضع تهذيب البيانات عن طريق GCV. والمنحنى (b) يعرض المشتقة الثانية لتهذيب وضع البيانات





- Anderssen, R.S. & Bloomfield, P. (1974)., Numerical differentiation procedures for nonexact data. Numerische Mathematik, 22, 157 - 182.
- 2 Busby, H.R., & Trujillo, D.M. (1985). Numerical experiments with a new differentating filter. Journal of Biomechanical Engineering, 107, 293 -299.
- 3 Cappozzo, A., & Berme, N. (Eds.) (1986). Biomechanics of human movement Applications to ergonomics, sports and rehabilitation. (Proceedings of a Study Institute and Summer Conference on Biomechanics of Human Movement at Formia, Italy). Worthington, OH: Bertec.
- 4 Craven, P., & Wahba, G. (1979). Smoothing noisy data with spline functions. Numerische Mathematik, 31, 377 403.
- 5 D'Amico, M., & Ferrigno, G. (1992). Comparison between the most recent techniques for smoothing and derivative assessment in biomechanics. Medical and Biological Engineering and Computing, 30, 193 - 204.
- 6 D'Amico, M., & Ferrigno, G. (1990). A technique for the evaluation of derivatives from noisy biomechanical displacement data by a model based bandwidth selection procedure. Medical and Biological Engineering and Computing, 28, 407 415.
- 7 Dohrmann, C.R. & Busby, H.R. (1990). A dynamic programming approach to smoothing and differentiating noisy data with spline functions. In A. Cappozzo & N. Berme (Eds.) Biomechanics of human movement Applications to ergonomics. sports and rehabilitation (PP. 248 - 262). Worthington, OH: Bertec.
- 8 Dowling, J.J. (1985). A modeling strategy for the smoothing of biomechanical data. In B. Johnsson (Ed.), Biomechanics X-B (pp. 1163 1167). Champaign, IL: Human Kinetics.
- 9 Eykhoff, P. (1974). System identification Parameter and state estimation. London: Wiley.
- 10 Fessler, J.A. (1991). Nonparametric fixed interval smoothing with splines. IEEE Transactions on Signal Processing, 39 (4), 852 - 859.

- 11 Fioretti, S., & Jetto, L. (1989). Accurate derivative estimation from noisy data: Astate space approach. International Journal of Systems Science 20 (1), 33 52.
- 12 Furnée, E...1. (1989). TV computer motion analysis systems The first two decades. Doctoral thesis, Delft University of Technology, The Netherlands. ISBN 90 9003095 6.
- 13 Furnée, E.H. (1990). PRIMAS:L Real time image based motion measurement system. In. J.S. Walton (Ed.), Proceedings Mini Symposium on Image Based Motion Measurement, 1356, (pp. 56 62). First World Congress of Biomechanics, San Diego, Ca. Bellingham, WA: Society of Photo Optical Engineers.
- 14 Gustafsson, L. (1977). ENOCH An integrated system for measurement and analysis of human gait. Doctoral thesis, Teknikum, Uppsala University, UPTEC 77 23R, Uppsala, Sweden.
- 15 Hatze, H., (1981). The use of optimally regularized Fourier series for estimating higher order derivatives of noisy biomechanical data. Journal of Biomechanics, 14 (1), 13 18.
- 16 Hatze, H., (1990). Data conditioning and differentiation Techniques. In A. Cappozzo & N. Berme (Eds.), Biomechanics of human movement Applications to ergonomics, sports, and rehabilitation (pp. 237 248). Worthington, OH: Bertec.
- 17 Jennings, L.S., & Wood, G.A. (1988). Co Joint data smoothing using splines. In A.E. Goodship & L.E. Lanyon (Eds.) ESB 1988 - European Biomechanics (Proc. 6th Meeting of the European Society of Biomechanics). London: Butterworths.
- 18 Kohn, R., & Ansley, C.F. (1987). A new algorithm for spline smoothing based on smoothing a stochastic process. SIAM Journal on. Scientific and Statistical Computing, 8 (1), 33 - 48.
- 19 Kohn, R., & Ansley, C.F. (1989). A fast algorithm for signal extraction, influence, and cross - validation in state - space models. Biometrika, 76 (1), 65 - 79.
- 20 Ladin, Z., & Wu, G. (1991). Combining position and acceleration measurements for joint force estimation. Journal of Biomechanics, 24 (12), 1173 1187.

- 21 Lange, A. de, Huiskes, R., & Kauer, J.M.G. (1990). Effects of data smoothing on the reconstruction of helical axis parameters in human joint kintematics. Journal of Biomechanical Engineering, 112, 107 - 113.
- 22 Lanshammar, H. (1982a). On practical evaluation of differentiation techniques for human gait analysis. Journal of Biomechanics, 15 (2), 99 105.
- 23 Lanshammar, H. (1982b). On precision limits for derivatives numerically calculated from noisy data. Journal of Biomechanics, 15, 459-470.
- 24 Lyche, T., Schumaker, L.L., & Sepehrnoori, K. (1983). FORTRAN subroutines for computing smoothing and interpolating natural spline. Advances in Engineering Software, 5, 2 5.
- 25 Oppenheim, A.V., & Schafer, R.W. (1989). Discrete time signal processing. Englewood Cliffs, Nj: Prentice Hall.
- 26 Söderström, T., & Stoica, P. (1989). System identification. London: Prentice Hall International (UK).
- 27 Soudan, K., & Dierck x, P. (1979). Calculation of derivatives and Fourier coefficients of human motion data, while using spline functions. Journal of Biomechanics, 12 (1) 21-26.
- 28 Teulings, H-L. & Maarse, F.J. (1984). Digital recording and processing of handwriting movement. Human Movement Science, 3 (1/2), 193-217.
- 29 Vaughan, C.L. (1982). Smoothing and differentiation of displacementtime data. An application of splines and digital filtering. International Journal of Biomedical Computing, 13, 345-386.
- 30 Woltring, H.J. (1984). On methodology in the study of human movement. In H. Whiting (Ed.) Human motor actions - Bernstein reassessed (pp. 35-73) Amsterdam: North - Holland.
- 31 Woltring, H.J. (1985). On optimal smoothing and derivative estimation from noisy displacement data in biomechanics. Human Movement Science, 4 (3), 229-245.
- 32 Woltring, H.J. (1986). A FORTRAN package for generalized cross validatory spline smoothing and differentiation. Advances in Engineering Software, 8 (2), 104-113.

- 33 Woltring, H.J. (1990) Model and measurement error influences in data processing (pp. 203-237). In A. Cappozzo & N. Berme (Eds.), Biomechanics of human movement - Applications to ergonmics, sports, and rehabilitation (pp. 203-237). Worthington, OH: Bertec.
- 34 Woltring, H.J. (1992). One hundred years of photogrammetry in bio-locomotion. In A. Cappozzo, M. Marchetti, & V. Tosi (Eds.), Bio-locomotion: Acentury of research using moving pictures (PP. 199-225). Rome: Promograph.
- 35 Woltring, H.J., de Lange, A., Kauer, J.M.G., & Huiskes, R. (1987). Instantaneous helical axis estimation via natural cross-validated splines. In G. Bergmann, A. Kölbel, & A. Rohlmann (Eds.), Biomechanics: Basic and applied research (pp. 121-128). Dordrecht: Martinus Nijhoff.
- 36 Wood, G.A. (1982). Data smoothing and differentiation procedures in biomechanics, Exercise and Sport Scienes Review, 10, 308-362.

الباب الخامس تطبيقات التحليل في الأبعاد الثلاثة في الرياضة

Application of three - Dimansional analysis to Sport



البابالخامس

تطبيقات التحليل في الأبعاد الثلاثة في الأنشطة الرياضية :

Application of Three Dimassional analysis to sport

يعتبر أمراً جوهرياً استخدام نماذج الميكانيكا الحيوية التنبؤية التى تطبق تكنيكات الأبعاد الثلاثة ونجاح استخدامها في التطبيقات الرياضية. يرجع المسبق في ملاحظة ووصف بيانات الزمان الفراغي إلى المدربين. العلماء والمدربين استخدموا الامكانات الفنية لتحليل الأبعاد الثلاثة لتحسين الاداء الرياضي. ومع ذلك لدراسة مكانة الأداءات بدون إزعاج استمرار المسابقات أو برامج التدريب، اكتسبت مداخل فنية ومنهجية علمية جديدة. وعن طريق قليل من الأمثلة، نحن نستعرض وضع التحليل الكمى للأبعاد الثلاثة - تقيد المنهجية في هذه الرسم المنظوري، والحدود الفنية الحاضرة والحاجة إلى تطويرها - بواسطة تحليل شكل العمل في تعليم قواعد ضربات التنس، والمتابعة عن طريق أمثلة في التزحلق على الماء Water Skiing، القفز بالزانة Table Tennis ، وتنس الطاولة Table Tennis.

* * *

•

الفصل الأول الفصل الأول

قواعد ضربات التنس <u>Basic Tennis strokes</u>

الفصلالأول

قواعد ضربات التنس Basic Tennis Strokes

هل هناك قواعد لضربات التنس؟ هل لاصطلاحات اللف من أعلى spin ، اللف الخلفى backspin ، اللف الخلفى backspin ، والقطع Chop ، لها معنى بدنى؟ هل يمكن وصف وتحديد قدرة اللاعب على تكرار الضربات، وخصائصه عن طريق مجموعات الإيقاع الفراغى؟ وهل يمكن وصفها بدقة؟ دى كبرماديس De Kermadec (FFT/ INSEP & Kermadee, 1985 - 1980)

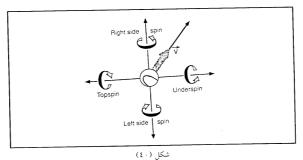
توصلوا إلى الإجابة عن بعض هذه الأسئلة باستخدام النماذج التخطيطية التشريحية في دراسات فيلم البطولة الفرنسية المفتوحة للتنس. واستخدمت كاميرتان مقاس ١٠٠٦مم بسرعة ١٠٠ كادر في الثانية وبزمن عرض ١٠٠٠١ من الثانية، وصور لاعبى القمة في العالم خلال مبارياتهم عن رولاندجاروز من الثانية، وصور لاعبى القمة في العالم خلال مبارياتهم عن رولاندجاروز لاعب. كل Roland Garros Stick digram من لتحديد نوعية مستوى الضربات لكل لاعب. كل منظر سجل وحلل وحفظ في شكل رسم تخطيطي عمولة تقسيم أو من المنظرين، رسم أي منظر قمة كاذب، والغرض هنا كان محاولة تقسيم أو تصنيف الحركات وتثبيت ديناميكية المقاييس الجسمية المتعددة لأغراض التعليم والتدريب.

مسار كرة التنس بعد الضربة عدلت بواسطة ديورى Durey (عام ١٩٨٧م) الموديل أفاد في تأسيس الحالات الضرورية لأجل التأثير الخاص للكرة. فمثلاً إنتاج دوران الكرة، عامل السرعة لشبكة مضرب التنس يجب ألا يكون عمودى على سطح كادر المضرب. الموديل جعل من المكن حساب البيانات الكينماتيكية للكرة والشبكة بعد الاصطدام، بواسطة القيم الأساسية لتلك البيانات قبل الاصطدام، ومن أجل التأثير العملى للكرة، تتطلب سرعة واتجاه المضرب من اللاعب التنظيم والتحكم في الشكل الكينماتيكي. كيف ينظم ويدير اللاعب هذه المجموعة لإنتاج نفس تأثير الكرة؟ لكل دوران ناتج مؤثر

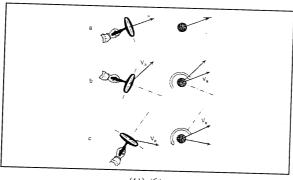
يحدد عن طريق اتجاه عامل الدوران، والذي له ثلاث مركبات. حدد ديورى Durey، دى كيرماديس ١٩٨٤ (١٩٨٤م) مستوى دوران الكرة وعرضاه فى اتجاه المستوى العمودى بالنسبة لعامل سرعة الكرة كما في شكل (٤٠) لإنتاج تأثير خاص للكرة، المضرب يجب أن يمتلك تحديد أفضل سرعة وأفضل اتجاه.

ومن أجل تأثير اللف من أسفل Underspin، كما فى الشكل (c - {1}) المضرب يجب أن يتحرك أسفل خلال مستوى كادر المضرب بخفة فى الاتجاه لأعلى.

من أجل تأثير اللف للقمة في الشكل (\cdot 3 - 6) المضرب يمتلك حركة لأعلى خلال اتجاه مستوى كادر المضرب لاسفل. ولإنتاج الكرة بدون اللف حركة المضرب سوف تكون في اتجاه عمودى على مستوى كادر المضرب، في الشكل (\cdot 3 - 18) عندما تكون ضربات اللاعبين مجمعة تبعاً لتلك المستويات المؤثرة كل من الثوابت والتنويعات يمكن تحديدها عن طريق نفس نوع التأثير . التصويبة المسطحة لليكونت Leconte في الشكل (\cdot 3 - 18) هي وحدة ويمكن تسميتها التصويبة الكرباجية whip shot



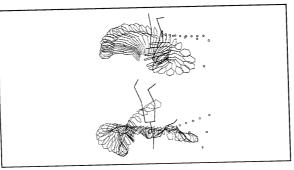
تعريف مستوى دوران الكرة في اتجاه المستوى العمودي بالنسبة لمتجه سرعة الكرة زارية متجه اللف جانباً يميناً هُ: زاوية متجه اللف للقمة ، • أُو زاوية اللف جانباً يساراً ١٨٠.



شكل (٤١) شكل (٤) الكرة بلا لف، (b) ألكرة بلا لف، (b) قمة لف الدوران، (c) الدوران باللف لاسفل، V_R سرعة التاج الكرة خلال اللف المسلماء V_B سرعة الكرة بعد الاصطدام).

تؤخذ الكرة لأعلى وتضرب أفقياً بعد انحراف المضرب. عند العكس، مكينروى Mc Enroe، شكل (1 6 – 6) طور ضربته المنفردة، المتداخلة المستوى التي عادة لا تنتج دوران. عرضت جميع الرسومات الخطية في هذه الورقة التالية المجموعة الزمنية في جدول (a) الإرسالات الحقيقية يمكن وصفها الورقة التالية المجموعة الزمنية في جدول (a) الإرسالات الحقيقية يمكن وصفها باصطلاحات مستوى الإرسال: Left Hand Slice, R: ght - hand Slice واللف Without للف لأعلى Cop - Spine - Top - Spine اللف المنافل واللف الإرسال من الجانب الأيمن. وعامة اللف المنافل المنا

إرسال Noah في الشكل (٤٦) من (c - a) مثال جيد للإرسال المؤدى على طول المستوى الأساسي الفردى، وفي نفس الوقت كثير من لاعبى القمة في العالم يؤدون هذا الإرسال. المناظر الثلاثة للتحليل أدت إلى أنه في الإمكان رؤية الحركة التي لم يمكن رؤيتها من حركة الكادر. وهم أيضاً مكنونا من إجراء مقارنات لمدى الثقة ومناسبة تلك المستويات لمناظر (القمة، الجانب، الخلف) فمثلاً:



شكل (٤٢) شكلين لضربة اليد اليمنى fore hand يدون لف الكرة: (a) هـ. ليكونت h. lecnte، منظر جانبي، و(b)ج مكيروي j. mc enroe

وضع الكرة عند لحظة الاصطدام بمقارنتها بوضع القدم أماماً. تعتمد نقطة الاصطدام على نوع الإرسال، بالإضافة إلى رمى الكرة يجب أن يكون مناسباً. وبمقارنة ذلك يقل عن ۱۹۸۰ (۱۹۸۰ م حيث مناسباً. وبمقارنة ذلك يقل عن على ثلاثة لاعبين، عبر مدخلهما عن الحالات الحقيقية للمسابقة وأكثر من ذلك الجمع والتركيز على مجموعات الحركة كالنواحي التكتيكية وعلاقتها بنماذج بمسار الحركة ديورى Durey (۱۹۸۷م) يكن هذا النموذج من تحليل المسارات الحقيقية ويخلق مسارات جديدة ممهدة. يمكن للفرد بهذه التقديرات الاستفادة من أى مسار للتصويب لأكثر من واحد بدون

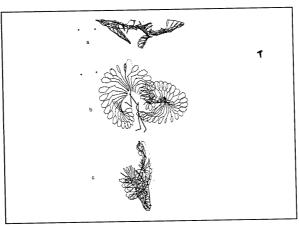
اللف. يعرض الشكل (b - a - ٤١) مثل لمقارنة الضربة الطائرة الساقطة باللف من أسفل Under Spin Drop بالخرى بدون اللف.

لعبة التنس طورت بالتدريج، واستمر اللاعبون باجتهاد لأداء أفضل الضربات. واليوم التحليلات الجديدة وجدت (مثل استخدام اليدين في مسك المضرب عن كورير Courer أجاسي Agassi سيليز Sanchez وسانشيز Final Competaion at Roland Garros في نهائيات مسابقة رولاند جاروز معاتب اختيار التكتيك والاعتبارات البيوميكانيكية بل أيضاً هي نتيجة للاعتماد الكبير على تغيرات اللعبة نفسها. استخدم التحليل ذو الأبعاد الثلاثة في هذه الدراسة لتحديد الصدمات Shocks وتماذج مسار الكرة ball trajectory models ووصف ومقارنة الصدمات لأفضل لاعبى القمة في العالم.

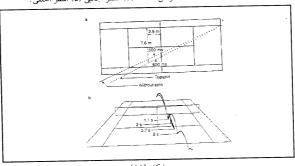
جدول (٥) الفترات الزمنية بين تسلسل أوضاع المضرب

فرق الزمن (ث)		الصور
١.	مطابق لجميع كادرات الفيلم	، إلى ٥
۲٠	مطابق لکل ثانی کادر	ه إلى ١٠
۳.	مطابق لكل ثالث كادر	۱۰ إلى ۱۰
٤٠	مطابق لكل رابع كادر	١٥ إلى ٢٠
١.	مطابق لجميع كادرات الفيلم قبل الاصطدام	ا . إلى - ٥
۲.	مطابق لکل ثانی کادر	ا - ٥ إلى - ١٠
۳٠	مطابق لكل ثالث كادر	ا - ١٠ إلى - ١٥
٤٠	مطابق لكل رابع كادر	ا - ١٥ إلى - ٢٠
٥٠	مطابق لكل خامس كادر	- ۲۰ إلى = ۲۰

ملحوظة: الوضع وضع عن طريق الصور التخطيطية المناسبة من أول كادر بعد الاصطدام (الوضع الارشادي)



شكل (٢٤) إرسال Y Noah : (a) المنظر من القمة، (b) المنظر الجانبي (c) المنظر الحلفي.



شكل (٤٤) فرصة الكرة الملفوفة: (a) مسار التمريرة الساحقة باللف لأعلى يمكن أن تكون منخفضة وأكثر قوة عن مسار التمريرة الساحقة بدون اللف. (b) الضربة الساحقة الساقطة باللف من أسفل أقصر ارتداداً من الضربة الساحقة الساقطة drop shot بدون اللف.

النزحلق على الماء <u>Waters Skiin</u>g

الفصلالثاني

التزحلق على الماء Waters Skiing

المثل الثانى هو التزحلق على الماء، وهنا اختلاف مراحل الوثب (قطع الموجة cut)، ورفع منصة القفز ramp والطيران (Flight) طورت الايجاد حالات نموذجية للوثب. نموذج كل مرحلة تأسس على ديناميكية الهواء aero dynamics، وديناميكية السوائل hydro dynamics، وميكانيكية الاصطدام. والهدف هو تطوير كل نموذج، لحساب الفعل المتداخل للمراحل المختلفة في الوثب، وأكثر من ذلك تنقية نموذج كل مرحلة.

وثبات سيد مسابقة الانزلاق Skimaster Competation المقامة عام ١٩٩٠ في Marseille - Marigane صورت باستخدام ست كاميرات فيديو.

وضعت كل كاميرا بطريقة لتغطية المراحل الثلاث للوثب. أخذ الفيلم من كاميرتين متحركتين على حاملين صنع ليمكن من حساب المناظر القمية لكل لاعب إنزلاق على الماء خلال مسار القطع. وضع لاعب الانزلاق في المستوى الأفقى مكن من وصف وتمييز القطع خلال الزمن T2, T1 بين (١ث) (٤)، (٤) والمسافة D1 بين (٣٥م)، (٢٥م) والزمن T2 بين (٣٠م)، (٤٠م).

والكاميرتين الأخرتين تعطينا الأبعاد الثلاثة للصورة للمنزلق على منصة القفز. سرعة مركز كتلة المنزلق عند آخذ الارتقاء انحصرت ما بين ٨٨كم/س، والعجيب أن أعلى سرعة لم تعضد بأعلى الوثبات. عند آخذ الارتقاء، زوايا متجه سرعة مركز ثقل كتلة لاعب الانزلاق بالنسبة للمدى الافقى من (٩) إلى (١٧,٥) كما في شكل (٤٥)، الزوايا الأكبر ليست لها علاقة بأفضل الأداءات. ولكن إذا قلت الزاوية عن ١١ قصر الوثب.

تشكل الزحافة بالنسبة لمتجه سرعة مركز ثقل لاعب الانزلاق خلال الطيران زاوية تنحصر ما بين ١٠ - ١٠. وأيضاً تتباين الزوية بدرجة كبيرة بين الوثبات، وهي تظل ثابتة خلال معظم مرحلة الطيران.

تتابين الزاوية خلال الأمتار الأولى القليلة بعد الارتقاء ولكن تثبت فيما بعد. الزاوية ٢٠٠ أو الأكبر انتجت أداء ردئ.

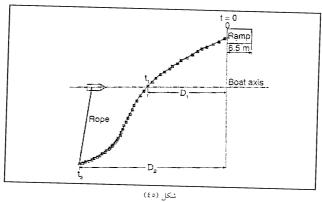
فى نموذج الطيران، قوة ديناميكية الهواء على الزلاقتين تكون نفس تلك المطبقة على جناح الطائرة: بالتسليم بأن الزاوية بين الزلاقة ومتجه سرعة مركز ثقل كتلة لاعب الانزلاق ثابتة خلال الطيران، النموذج صالح لإثبات مسافة الطيران. أهملت قوى ديناميكية الهواء المبذولة على جسم لاعب التزحلق على الماء.

باستخدام هذا النموذج، للحالات الأخرى في الطيران المصطنع. وجد أن أنسب زاوية للزلاقة بالنسبة للسرعة هي \ref{main} بصرف النظر عن مقدار السرعة. تقدر مسافة الطيران بمقدار \ref{main} 0 متر إذا كانت الزاوية \ref{main} 1, ومع ذلك أفضل الأداء يحدث عن طريق زيادة كل من السرعة وهذه الزاوية.

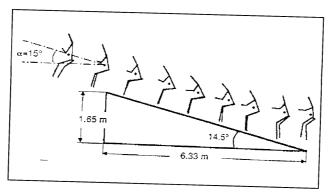
وضع الكاميرات جهز لمطابقة المعلومات من مرحلة القطع ومن مرحلة دفع منصة القفز. تحليل مرحلة الطيران في الأبعاد الثلاثة كان معقداً عن طريق معايرة الإجراءات بالنسبة إلى طبيعة كبر المساحة الأخرى في المعادلة.

بمعنى ٢٠متر طول، ٢٠ متر عرض و٦ متر إرتفاع وعلاقتها بمستوى الماء. النماذج صادقة بواسطة البيانات الحقيقية التي جمعت خلال البطولات الدولية واستخدمت لتقدير أنسب قيم لأفضل الأداءات.

* * *



سكن (۱۵۰ من القمة لقطع مسار لاعب التزحلق على الماء



شكل (٤٦) زاوية متجة سرعته مركز ثقل الكتلة بالنسبة للمستوى الافقى

الفصل الثالث الفصل الثالث

مُوذج القفز بالزانة <u>Pole Voult Model</u>

الفصلالثالث

نموذج القفز بالزانه Pole Voult Model

استخدمت النماذج النظرية في هذا الكتاب لهوبارد Hubbard (١٩٨٠) وجرينر Griner. هذه النماذج، اشتملت على تحسينات آلين Alain (١٩٨٧م) التي أثبتت صدق النتائج التي تم الحصول عليها من تحليل الأبعاد الثلاثة للوثبات الحقيقية.

تجسدت الصعوبة القصوى فى مقدار المسافة المكتسبة فى الفضاء لإتمام القفز، حيث يوجد هناك عملية جرى مركبة بالقفز لأعلى. لذلك استخدمت مجموعتين من الكاميرات الأولى استخدمت لتتبع الأبعاد الثلاثة لمسار لاعب القفز بالزانة عامة. والمجموعة الثانية للتركيز على حركة اللاعب.

مدرب فريق القفز بالزانه يجب أن يقرر مبكراً الاتجاهات الرئيسية التى يجب انجازها خلال عدة شهور والنتائج التى يمكن تقدير قيمتها فيما بعد. ولا يتسبب فى حدوث أى أخطاء. ولأن مدرب الفريق القومى الفرنسى للقفز بالزانه يؤمن بقيمة الميكانيكا الحيوية فى الرياضة لتطوير نموذج القفز بالزانه الذى يمكنه من تصنيع القفزات بالكمبيوتر، ثم سؤال هذا المدرب عن تطوير النموذج حتى يمكنه من تحديد أفضل أداء فردى يمكنه إنجازه ويبنى على الخصائص الميرفولوچية للقافزين، وذراع الرافعة للزانه، وسرعة الجرى، وآخذ الارتقاء. التصنيع يمكنه الإشارة إلى إمكانية التحسين فى اختيار مواد الزانه، والحالات النموذجية لأخذ الإرتقاء، وكيفية أداء اللاعب أفضل قفزة.

(مصداقية النموذج أدت إلى تحليل الأبعاد الثلاثة لأفلام القفزات خلال معسكر الفريق القومي الفرنسي.)

فى نموذج القفز بالزانه، رد فعل قوى المفصل، والعزوم، مثل رد فعل قوى الأرض، تحتاج لوضعها فى الاعتبار. بالإضافة إلى حتمية اشتماله على خصائص مرونة الزانه. لذلك، نموذج هوبارد Hubbard) للاعب القفز بالزانه تحسن بواسطة حصر العوامل عند كل مفصل وعندئذ ركبت

بنموذج الزانه لجرينر Griner (١٩٨٤م) وبصفه أولية مثلت الزانه كاعضاء لمتغيرات الطول ولكن بدون أى كتلة هذا التقريب كان ملائماً لان عزم "تصور الذاتى للزانه صغير جداً بمقارنته بعزم القصور الذاتى للاعب القفز بالزانه. ويعنى هذا ضمنياً أن الجزء الأكبر من طاقة الحركة Kinetic enargy يمكن تخصيصها للاعب القفز بالزانه.

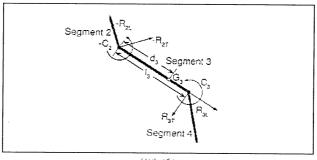
الأعضاء الثلاثة لجسم لاعب القفز بالزانه هي الذراعين arms، تركيبة الرأس والجذع head-tarse والرجلين Legs، رتبت الذراعين إلى جزئين اعتبرا أنهما غير ضروريتين، لأن طاقة حركة الذراع صغيرة.

النموذج الصغير للرجلين كان أكثر مناسبة، لأن سرعة كل الأجزاء يمكن أن تكون عاليه في بعض الأجزاء في القفز. مع ذلك. أكبر عدد من البيانات مشترك في النموذج البسيط وكان التحكم الكامل فيها صعب جداً.

خلال التحليل بهذا النموذج المختزل أول خطوة تؤخذ قبل أى تهذيب هي التجربة.

كل جزء تميز بالاتجاه، H_i والأطوال، Li تكون الأطوال ثابتة للثلاث أعضاء لجسم لاعب القفز بالزانة. مركز الكتلة Gi لكل عضو بالجسم يكون له مسافة Di من الجزء البعيد للعضو. تميزت الأعضاء الثلاثة لجسم لاعب القفز بالزانه. بثلاث كتل، Mi وبعزم القصور الذاتي للثلاثة أعضاء، Mi للمحور المار خلال Gi والعمودي على مستوى الحركة.

الفعل المتداخل بين الأعضاء تضمن عمل قوى كتل الاعضاء والتحكم الارادى لعزم الدوران المبذول عن طريق لاعب القفز بالزانه عند كل مفصل. أى قوة طولية، Ri، أى عزم، Ci، طبق على العضو الأول، الزانه، عن طريق العضو الثاني، الذراعين. أى قوة R2، طبق على العضو الثاني عن طريق الجزء الثالث. أى قوة R3، وأى عزم، C3، طبق على العضو الثالث عن طريق الجزء الرابع. وتكون كل قوة مجموعة من Rit (الطولية)، Rit (الانتقالية)، بالنسبة للعضو i، (الأول) (انظر شكل (٤٧)).



شکل (٤٧)

الفعل المتداخل للعضوَّ"، والرأس والجذع: R₂l، -R₂l، -R₂l قوى وعزم الكتفين: C₃، R₃t- R₃L قوى وعزمٌ مفصلي الفخذين: C3 مركز ثقل كتلة الجزء: L3 طول الجزء: d3- مسافة من مركز كتلة العضو ومركز المفصل.

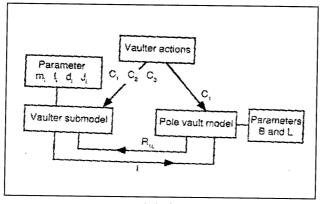
التطبيق الديناميكي للعلاقات بين الأعضاء الثلاثة للاعب القفز بالزانه أدت إلى تسع علاقات مختلفة كما في الجدول (٦) الثبات الرقمي لتلك العلاقات أدى بالحاسب الآلي مستخدماً اللوغارتم الكلاسيكي لرونج كوتا Runge - Kutta ، الأمر الرابع . التسع متغيرات المجهولة حسبت من التسع معادلات الخطية الموضحة في الجدول (٦) تبعاً لمصفوفة الارتباط. MH : K المركبة RiL استخرجت من النموذج الصغير للزانه كداله لي Ci ، Li عند كل خطوة .

قبل التحليل بالحاسب الآلي، يحتاج النموذج إلى مصداقيته عن طريق إدخال بيانات عملية وعندئذ القيم المنتجة تقارن بمقياس أخر. واستخدمت ثلاث كاميرات ذات سرعات ًعالية لتصوير ٣٠ فقرة بالزانه في تزامن واحد.

ادخلت متطلبات الرقمين للبيانات لإعطاء الحالات الأولى (انظر شكل (٤٨). أطوال أعضاء لاعب القفز بالزانه قيست من الفيلم، الكتلة، ومركز ثقل كتلة الوضع، وعزم القصور الذاتي حسب تبعاً لوينتير Winter (۱۹۷۹م) طول الزانه، Li، تم قياسه قبل كل فقرة: صلابة الزانة، B، قيست عن طريق مصنع الإنتاج. الحالات الأولى عند الارتقاء تم قيائها من الكاميرا الأولى المركزة على لاعب القفز بالزانه. وقيست الزاوية ومقدار السرعة والأوضاع والسرعة الزاوية للأعضاء، بينما العضو الرابع، والرجلين حددت عن طريق وضع مركز ثقل كتله الرجلين بعد تحليل الفيلم، وبإعادة بناء الأبعاد الثلاثة أصبح من الممكن تقويم ومقارنة القفز، فمثلاً لاعب القفز بالزانه عن طريق الانتقال من البيانات العملية (فيلم الكاميرا) إلى البيانات التى ستقارن بالموديل البيوميكانيكي خصائص الأوضاع الخمسة للارتفاء (t=0) الرجلين والجذع في خط واحد (t=0.25 S.)، الركبتين عند مستوى اليد =1) الرجلين عند مستوى اليد =1) (t=0.70)، الجسم تخلص من العارضة (t=0.70)، الجسم تخلص من العارضة

يعرض كل من الشكل (٤٩ - ه) البيانات الخام من تحليل فيلم ١٠٠ كادر في الثانية (من الكاميرا الجانبية) والشكل (٤٩ - b) المنظر المحسوب من المنظر الجانبي للكاميرا في نفس الأوضاع. هذا الحساب وضع الحركة في مستوى عمودى (بدون منظور) يعرض الشكل (٤٩ - c) اختزال القيم في الثلاثة أعضاء: العضو الأول، أعلى يد- منتصف الكتفين: العضو الثاني، منتصف الكتفين: والعضو الثالث منتصف مفصلى الفخذين: والعضو الثالث منتصف مفصلى الفخذين: والعضو الثالث منتصف مفصلى الفخذين وضبط النموذج يشتمل على مفصلى الفخذين ومركز ثقل كتلة الرجلين. وضبط النموذج يشتمل على تصنيع تهذيب قيم البيانات، والتحكم في حركة لاعب القفز بالزانه، وجعل تصنيع القفزه مطابق للقفز الحقيقية، اتجاه بذل العزوم.

Hubbard وتنظيم توقيتها خلال القفز حدد أولاً. استخدمت البيانات من Hubbard ووتنظيم وضبط القيم لتهذيب القفزة الحقيقية مع التصنيع نفسه. كل عزم C3, C2, C1 حون كذلك من توالى الزمن المبنى على أسس الدالات، إضعاف معامل اللزوجة ضبط عند نفس الوقت. محك المقارنة مبنى على تراكب كلا الرسومات التخطيطية المأخوذة من التصنيع والحقيقة شكل (0.).



شكل (٤٨) الفعل الداخلي لنماذج عمليات التحليلات الرقمية

اعتمدت دقة التصنيع على حدود النموذج المصغر للزانه، التى سلمت بعدم فقد الطاقة وهذا يؤدى إلى القفزات الأعلى من مثيلتها الحقيقية. شخصت قيم الأعضاء الثلاثة (Dt=100 ms) مع مرونة الزانه.

حددت القفزة عن طريق اختيار العزوم المطبقة عند المفاصل لذا، القفزه المصنعة تكون أعلى من القفزة الحقيقية بمتر. من خلال المنهجية العلمية لنقطة الرؤية. سوف يكون ضرورى العمل في تصنيع البيانات من التحليل الديناميكي العكسي (Mc Ginnis, 1983) لنفس البيانات الأساسية. إذن يمكننا أخذ نموذج لعشرة أعضاء من أجل لاعب القفز بالزانه مثل ما استخدمه كل من دابينا Dapena وبراف Braff (١٩٨٥).

ويكون من الملائم مقارنة قيم قوى رد الفعل والعزوم المطبقة عن طريق نظام الزانة ولاعب القفز بالزانه بصندوق القفز بالقيم المقاسة في صندوق القفز (Vaslin, Couetard & Cid, 1993).

774

عندما تزید صلابة الزانه، مسار مرکز ثقل الکتلة ینقل نحو ممر الجری، بعد ثبات ارتفاع القفزه وعدم تغیرها. فمثلاً الزانه التی صلابتها 0.0, 0.0 قمة مرونة مسار انتقالها 0.0 مر أفقیاً نحو ممر الجری بالمقارنة بقمة مرونة صلابة الزانه المساوی 0.0, 0.0 الارتفاع الاقصی لمرکز ثقل الکتلة یکون الأعلی بزیادة السرعة. فمثلاً، السرعة التی مقدارها 0.0, 0.0 (0.0 الاعلی بزیادة السرعة. فمثلاً، السرعة التی مقدارها 0.0 مراث (0.0 الاعلی اتفای الفقی ارتفاع مقداره 0.0 متر، بینما السرعة التی مقدارها 0.0 مراث وتر الزانه والمستوی الافقی، یزید الارتفاع الاقصی للمسار وینتقل نحو ممر الجری. فمثلاً مع طول 0.0 متر، سرعة مرکز النقل 0.0 مراث وزاویة الوتر فمثلاً مع منحنی القطع المکافئ (مسار المقذوف) لمرکز ثقل لاعب القفز بالزانه تمتلك مركبة مقدارها 0.0, 0.0, ومركبة أفقیة مقدار 0.0, منحنی قطع متكافئ لمركز ثقل كتلة جسم لاعب القفز زاویة 0.0, 0.0

يجب أن يكون الجذع عمودياً بقدر المستطاع عندما يدور لاعب القفز بالزانه ١٨٠ لمواجهة تخطى العارضة، الارتفاع الأقصى يمكن زيادته بحوالى استيمتر إذا وضع لاعب القفز بالزانه المقعدة عمودية أعلى الرأس. هذه المتطلبات هامة للتحكم في عزم الكتف. عند زيادة التواء الزانه، تنتقل القفز للضربة القفز ويجب على لاعب القفز بالزانه بذل أكبر جهد في الكتفين للحصول على أنسب قفزة. إذا أقل ذراع هذه الرافعة، لاعب القفز بالزانة ينخفض وينتقل في اتجاه ممر الجرى. فمثلاً، إذا أقل ذراع الرافعة من ٢٧٨ متر، وصل الارتفاع فقط إلى مقدار ٥٩،٩ متر وأقل من متر إلى ٧٦،٤ متر، وصل الارتفاع فقط إلى مقدار ٥٩،٩ متر وأقل من ١٦٠ متر، نتيجة الانتقال ١٠ سم وأقل من ٣٣سم. النتائج المصنعة أوضحت أن جميع اللاعبين يمكنهم تحسين أدائهم بواسطة القيم الأقصى للبيانات الأولية أو عن طريق تعديل توقيت مجموعات حركاتهم.

Table (6)
Elements of Matrix (M) and Vector (H)

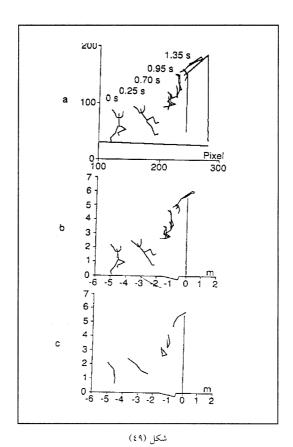
t t cos (t)	դ tլsin (B)	3 I ₁ cos (H	եյքլsin (B)	- 1 ₁ cos (θ	lalrix M - m ₂ t ₁ sin (H) ₁				<u> </u>
$\frac{1}{4}$, $\frac{1}{4}$ cos $\frac{1}{4}$, $\frac{1}{4}$ cos $\frac{1}{4}$, $\frac{1}{4}$ cos $\frac{1}{4}$, $\frac{1}{4}$ cos $\frac{1}{4}$	${}_1 \iota_1 \sin \ \theta_1 \ m_4 d_2 \sin \ \theta_2 \ m_4 l_5 \sin \ \theta_3 \ m_4 d_4 \sin \ \theta_4 \ m_4 \cos \ \theta_1$	$\frac{1}{3}$ $\frac{1}{1}$ cos $\frac{1}{1}$ $\frac{1}{1}$ cos $\frac{1}{1}$ $\frac{1}{1}$ cos $\frac{1}{1}$ $\frac{1}{1}$ $\frac{1}{1}$ cos $\frac{1}{1}$ $\frac{1}{1}$ cos $\frac{1}{1}$	$\mathfrak{n}_3 \mathfrak{t}_1 \sin \mathfrak{B}_1 \mid \mathfrak{m}_3 \mathfrak{t}_1 \sin \mathfrak{B}_2 \mid \mathfrak{m}_3 \mathfrak{d}_3 \sin \mathfrak{B}_3$	1 cos (H) m2 d2 cos (H)	m, d, sin (H)			J 2	(H) 2
m, l, cos 🕕 3	m, l, sin (H),	m ₃ d ₃ cos (H) ₃	y-m₃d₃sin (H)₃				J 3		(H) ₃
m ₄ d ₄ sin (H) ₄	m ₄ d ₄ sin (H) ₄					J 4			(H)
m₄ sin ⊞ ₁	m ₄ cos (H) ₁	m ₃ sin (H) ₂	m₃ cos (H)₁	m₂ sin ⊕₁	m₃ cos (H)₁				 :
		-cos (H) ₁	$\sin \ \left(H \right)_2$	cos (H) ₂	-sin (H) ₂		$d_2cos\left(oldsymbol{eta}_3oldsymbol{oldsymbol{eta}}_2 ight)$	J ₂	R _{2T}
		-sin (H) ₂	- cos (H) ₂	sin (H) ₂	cos (H) ₂		$d_2\cos(\theta_3\theta_2)d_3\sin(\theta_3\theta_2)$		R _{2L}
- cos (fl) ₃	sin (H)3	cos (H),	-sin ⊞₃			$(\theta_{4}\oplus \theta_{5})$ d ₄ sin $(\theta_{4}\oplus \theta_{5})$	l ₃ - d ₃		R3T
-sin ⊞₃	- cos (H) ₃	sin (H)3	cos (H),			$d_4 \sin{(\hat{\mathbb{H}}_4 \hat{\mathbb{H}}_3)}$			R _{3L}

= 22,

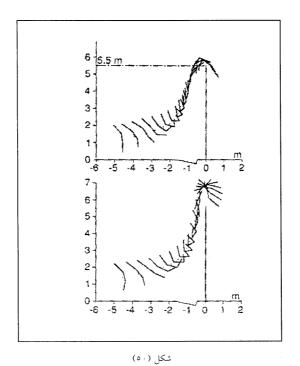
$$\begin{split} &d_{2}\;R_{1}L\;sin\left(\bigoplus_{2}-\bigoplus_{1}\right)-d_{2}\;R_{1}T\;cos\left(\bigoplus_{2}-\bigoplus_{1}\right)+C_{1}-C_{2}-\left(-a,\bigoplus_{2}\right)\\ &C_{2}-C_{3}-a_{2}\;\bigoplus_{3}\;&\\ &C_{3}-a_{3}\;\bigoplus_{4}\;&\\ &R_{1}L\;cos\;\Theta_{1}-Ritsin\;\Theta_{1}+m_{2}l_{2}\;cos\;\Theta_{1}\;\Theta_{1}\;^{2}+m_{2}\;d_{2}\;cos\;\Theta_{2}\;\Theta_{2}^{2}+2\;m_{2}\;sin\\ &\Theta_{1}\;\Theta_{1}\;i_{1}+m_{2}\;g\\ &R_{1}l\;sin\;\Theta_{1}+R_{1}\;t\;cos\;\Theta1+m_{1}^{2},\;sin\;\Theta_{1}\;\Theta_{1}^{2}+m_{2}\;d_{2}\;sin\;\Theta_{2}\;\Theta_{2}^{2}-2m_{2}\;cos\;\Theta_{1}\;\Theta_{1}\;i_{1} \end{split}$$

$$\begin{split} \text{Vector H} \quad m_3 \; \sum_{i=1}^2 \; l_i \; \cos \; \Theta_i \; \; \Theta_i{}^2 + m_3 \, d_3 \cos \; \Theta_3 \; \; \Theta_2{}^3 + 2 m_3 \sin \; \Theta_1 \; \; \Theta_i l_1 + m_3 \, g \\ \quad m_3 \; \sum_{i=1}^2 \; l_i \; \sin \; \Theta_i \; \; \Theta_i{}^2 + m_3 \, d_3 \sin \; \; \Theta_3 \; \Theta_2{}^3 \; - 2 m_3 \cos \; \Theta_1 \; \; \Theta l_i \\ \quad m_4 \; \sum_{i=1}^3 \; l_i \cos \; \Theta_i \; \; \Theta_i{}^2 + m_3 \, d_4 \cos \; \Theta_4 \; \; \Theta_2{}^4 + 2 m_4 \sin \Theta_i \; \; \Theta_1 + m_4 g \\ \quad {}^tm_4 \; \; \sum_{i=1}^3 \; l_i \sin \; \Theta_1 \; \; \Theta_1^2 + m_4 \, d_4 \sin \; \Theta_4 \; \; \Theta_2{}^2 - 2 m_4 \cos \; \Theta_i \; \; \Theta_i \; l_i \end{split}$$

- 777-



T. Vigneron ثلاث مناظر للقفز بالزانه \circ , \circ متر عن ت. فيجنيرون (c - a)



T. Vigneron أنسب ارتفاع للقفز بالزانه ٥,٥ م للاعب ت. فيجنيرون (b - a)

пæ

الفصلالرابع

نسجيل الزمان الفراغى فى ننس الطاولة Spatiotemporal Registration in Table Tennis

الفصلالرابع

تسجيل الزمان الفراغي في تنس الطاولة

Spatiotemporal Registration in Table Tennis

استخدم تحليل الأبعاد الثلاثة في تنس الطاولة لربط مختلف مراحل مجموعة حركة اللاعب بوضع الكرة على طول مسارها. نظام اختزال بيانات الابعاد الثلاثة يجب أن ينظر في اكتمال المساعدة الميكانيكية خلال الضربات الخاصة، وبخاصة تلك التي تؤثر على الكرة عن دورى، أورفيوللي & Durey ومراحم Orfeully Ramanantsoa, Ripol عن ريول عن ريبول Ripol من رامانانتساوا، ريولل، دورى ولاب عن ريول عن ريبول (١٩٩٩م)، أهم الفروض وجود دوران ثابت بين حركة اللاعب ووضع الكرة، من خلال الزمان المكاني لشكل العمل، ربما يكون وضع اللاعب لاقلال العدد الممكن من الضربات التي يمكنه الاختيار منها. حقيقة بعض الضربات تأخذ أقل زمن من الأخرى، وتستخدم تلك الضربات في حالات تتطلب الاستجابة السريعة. في هذه الحالة، يجب على اللاعب اتباع رتم رايقاع) يفرض عن طريق حدود الخصم استجابة معينة. يستمر اللعب على أساس هذه العلاقة بدون إضطراب.

عندما يربح أحد اللاعبين، يتميز بقصر بعضى مراحل الوصول للنقطة بينما أحد اللاعبين لا يمكن من إطاله الاستجابة، وتفقد النقطة.

صور فريق فرنسا لتنس الطاولة خلال مسابقاته فى الداخل، بواسطة كامرتين تصوير مقاس ١٦مم، وذات سرعة عالية عند ١٠هـ.ت، وتمتلك زمن إظهار ٢٠٠١، من الثانية . ووضعت كاميرة فيديو أعلى مسار كرة تنس الطاولة. (عرضت نتائج مباريات التي لعبها ج.ب. جاتين J.P. Gatien)

قمة مسار مضرب تنس الطاولة Padale Table Tennis أمكن استخدامه في توصيف مراحل الحركة المختلفة التي ثبتت بالنسبة لمسار الكرة (شكل ٥٠).

- 250-

-a (01) عرضت الأبعاد الثلاثة لحركة اللاعب في أربعة مراحل في شكل -a (7).

المرحلة الاولى:

من الصور ١ - ٥، مطابقة لإزاحة الكرة من ضربة اللاعب حتى الشبكة شكل (٥١ - a - d) بعد الضربة، يستمر المضرب بالتحرك لأعلى للنقطة التى عندها عادة تقف عند الصورة (٥).

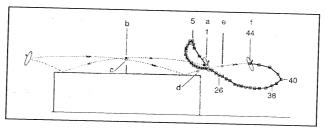
المرحلة الثانية:

- YTA-

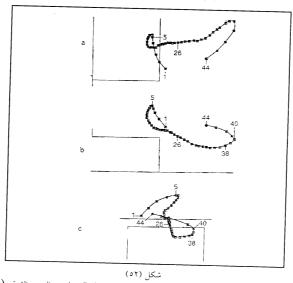
من الصورة ٥ إلى الصورة ٢٦، تتحرك الكرة من الشبكة، للأمام من b إلى خلف الشبكة عند c (شكل ٥١) وهنا تكون حركة المضرب لأسفل على طول المحور العمودي للمنضدة شكل (٥١ - ٢) وهو يكون خلفاً - وبعيداً ويشمل تقدم حركة الجسم كله.

وعند نهاية هذه المرحلة تثبت الحركة من تلقاء نفسها، والمضرب يستقر في المستوى الموازى للمنضدة عادة كما في شكل (b - 0).

فى المرحلة الثالثة من الصورة ٢٦ إلى الصورة ٣٨، تحركت الكرة من خلف الشبكة عند (٢) إلى النقطة (b) بعد الوثب شكل (٥١) وضع هذه النقطة دال على دوام المرحلة الرابعة. الحركة للخلف والابتعاد يتبعها مرجحة خلفية وهى تنقسم إلى حركة المضرب للنهاية، ونقطة الضربة الخافية المجانبية المعدد المعدد المعدد المعدد المعدد المعدد المعدد المعدد المعدد النقطة تعتمد على الكرة ترتد إلى النقطة بعد الشبكة بعد أول ارتداد. هذه النقطة تعتمد على المرحلة التالية والأخيرة.



شكل (٥١) تزامن العلاقة بين مراحل الحركة ومسار الكرة



صحار رأس المضرب بين ضريتين أماميتين لاداء ج.ب. جاتين a) j.p. Gatien منظر من القمة، (d) منظر جانبي، (C) منظر خلفي. اتساع زمن مرحلة الدفع للأمام ثابت (۸۰مم).

بالنسبة للضربة الخلفية Back Hand، تغير اتجاه الجانب الأعلى للمضرب لوضعه عند بداية هذه المرحلة شكل (٥٠ – b) هذا التغير في الاتجاه لوحظ أيضاً خلال الضرب الامامية For Hand وهي أيضاً أقل وضوحاً (شكل (٥٠).

المرحلة الرابعة والاخيرة:

من الصورة (٣٨ - ٤٤) تتحرك الكرة من النقطة (d) بعد الوثب إلى الضربة الجديدة (f) شكل (٥١). المرجعة لاسفل يمكن تقسيمها إلى جزئتين. الجزء الابتدائي، تحرك المضرب للإعداد للضرب التالية عن طريق الحركة الجانبية التي تقل عن (٨٠مم) بصرف النظر عن نوع الضربة، المسافة، أو التكنيك.

عندما يحتاج اللاعب لرد الفعل بسرعة، يحتاج أيضاً لمرحلة تمهيدية لهذه المرحلة حيث يكون معتدل أو مناسبه (من الصورة (٣٨ – ٤٨). هذه الملاحظات ثابتة ومناسبة لكل الضربات الأمامية والخلفية بصرف النظر عن الخصوم.

* * *

u≆

الفصلالخامس

حدود انتشار خليل الأبعاد الثلاثة مستقبلا المراجع الرموز والمصطلحات •

الفصل الخامس

حدود انتشار تحليل الابعاد الثلاثة مستقبلا

Curent Limitations of Future Hopes For 3- D Analysis of Sport Activities

تشخيص الزمان المكانى للحركة أو الرسم التخطيى والاعتبارات الكينماتيكية لوصفها، انتشرت منذ تطوير التصوير المساحى والرسم الديناميكى عن طريق مارى Marey وديمنى Demeny (١٨٨٥م).

ونحن نميز بين أساسين لاستخدام تكنيك وطرق تحليل الأبعاد الثلاثة لحركة جسم الإنسان في المجال الرياضي وأداء أبطال القمة. المدخل التخطيطي للدراسة الوصفية ومدخل النموذج للتنبؤ بالأداء خلال تصنيع الحاسب الآلي.

الخطوة الأساسية لتشخيص الأبعاد الثلاثة للحركة الرياضية ضرورية، لفهم نتائجها الموضوعية، المعلومة الكمية. فمثلاً، شرح باسهاب Dapena لفهم نتائجها الموضوعية، المعلومة الكمية. فمثلاً، شرح باسهاب Van Dapena في الوثب العالى، ودرس Pan الإرسال في التنس. وصنعت النماذج واستخدم الكمبيوتر لإيجاد البيانات بدون تغيير لتقسيم الحركات المركبة (المعقدة) إلى ضربات أساسية. وضعت في الاعتبار بصفة رئيسية المتغيرات الكينماتيكية و الأوضاع، الدورانات، الخ) فمثلاً Van Cheliiwe, Deporte و Pro- باكروانا التي تميز حركة الكب Pro- عركة الدوران للداخل endorotation خلال إرسال التنس. الخطوة الثانية هي توليد الفروض أو نظريات حركة جسم الإنسان من بيانات الأبعاد الثلاثة.

كما أن كل محاولة صنعت لمناسبة الزمان المكانى لتنس الطاول، بيناما متابعة علاقة الفروض بإزاحة قمة المضرب بمسار الكرة أخذت من الدراسات المختلفة المبنية على علم الأعصاب الرياضى. Sport Neuro Sci-

. . . .

فى التزحلق عدم تغير البيانات ارتبط بالانشطة الرياضية والأداءات، مختلف المبدعين سجلوا مشاكل كثيرة عامة ارتبطت بصدق النتائج بالمحتلف المبدعين سجلوا مشاكل كثيرة عامة ارتبطت بصدق النتائج أوتوليد Winter ، Grainger و Winter ، Grainger فقياس لحساب المتغيرات البيوميكانيكية من بيانات فيلم لأربعة أشخاص مقياس لحساب المتغيرات المبدخل الإحصائي، Takei ، عرض تخدلت في يومين مختلفين . أخذ المدخل الإحصائي ، المتغيرات الميكانيكية تصميم نموذج للقفز على الحصان، وكان هدفه تحديد أى المتغيرات الميكانيكية أفضل ارتباطأ بدرجا الحكام . ومن خلال ذلك أسست خطة التحليل ، والفرد يمكنه تصوير نفس مدخل الأبعاد الثلاثة لأجل الأداءات المتعددة في الجمباز . لتنافزج النالية استخدمت التحليل التجريبي للعناصر البدنية . النماذج التنبؤية بحثت بكثرة لتمسح بصنع إقرار الحركات والتي عادة تقود إلى أنسب الأداءات . لعمل ذلك ، جسم الانسان يجب أن يكون مناسباً كنظام ميكانيكي يشتمل على حلقات منفصلة ثابتة . عدد الحلقات يمكن أن تكون مرتفعة نسبياً . حدود النموذج ليس بعدد الحلقات فقط وإنما بعدد البيانات الصحيحة نسبياً . حدود النموذج ليس بعدد الحلقات فقط وإنما بعدد البيانات الصحيحة التحديد الحركة .

طور Dapena (۱۹۸۹م) نموذج جزئى من ١٥ حلقة للوثب العالى الأنسب: عدل البيانات المعينة خلال مرحلة الطيران في الوثب للاداء الأنسب.

Yeadon, Alta & بالمساعدين والمساعدين Yeadon (199٠) استخدموا نموذج من ١١ جزء ثابت بسبعة عشر درجات (199٠) استخدموا نموذج من ١١ جزء ثابت بسبعة عشر درجات حرية لوصف جسم الإنسان في الفضاء. باهمال مقاومة الهواء، دوران جسم الإنسان في الفضاء وصف عن طريق بقاء كمية الحركة الزاوية. وقدرت دقة النموذج عن طريق مقارنة الانحدار الكاذب للدورة الهوائية وزوايا اللف بعطابقة القيم التي تم الحصول عليها من بيانات فلم تسع دورات هوائية مع اللف. كانت أخطاء عمليات التحليل لاكبر من القياسات الجسمية. كان عمل Wilson , Neal تحديد الحركات في الفضاء. والآخرون مثل Yeadon

(۱۹۸۵م) تطور النماذج التى أخذت لحساب القوى الخارجية: تلك الدراسات كانت عادة محددة بثلاث أو أربع أعضاء. قدر ۱۹۸۱م) القوى كانت عادة محددة بثلاث أو أربع أعضاء. قدر ۱۹۸۱م) القوى والعزوم عند رسغ اليد خلال مرجحة الجلف، بينما Hydrodynamic لتقدير Hydrodynamic بنوذج هيدروديناميكي Hydrodynamic لتقدير عمل القوى علي ذراع السباح وأخيراً، Hubbard (۱۹۸۰م) و Durey عمل القوى علي ذراع السباح وأخيراً، المعل الداخلي للاعب وأداته في تحليل الحركة.

اليوم، تحليل الأبعاد الثلاثة يستفيد منه المدرب عن طريق السماح بالدراسة الصارمة للانشطة الرياضية والاداءات الحازمة. بالإضافة إلى تحسن أفضل لتفهم الحركات المعقدة، تحليل الأبعاد الثلاثة نسق اختبارات التدريب من خلال نماذج التنبؤ. تفاعل الفيديو أيضاً جعل من الممكن تحسين تدريب المدربين، والحكام والقضاه.

إذاً في المستقبل القريب بالتحديد التوقع الفني يقتحم الانجاز، ويمكننا توقع اعظم تنبؤ وأعظم دقة في قياسات الأبعاد الثلاثة، وتنقية نماذجا لتنبؤ، وتساوى الزمن الحقيقي لإعادة تركيب الأبعاد الثلاثة خلال المسابقة للعيون الخبيرة للحكام كمثل لاسعاد المشاهدين.

* * *





- 1 Dapena, J. (1988a). Biomechanical analysis of the Fosbury Flop, Part1. Track Technique, 104, 3307 3317.
- 2 Dapena, J. (1988b). Biomechanical analysis of the Fosbury Flop Port 2, Track Technique, 105, 3343 3350.
- 3 Dapena, J. (1989). Simulation of Modified Human airborne Movements. Journal of Biomechanics, 14, 81 89.
- 4 Dapena, J. & Braff, T. (1985). Atwo dimensional Method for the Prediction of Movements in Pole Voulting. in D.A. Winter, R.W Norman, R.P. Wells, K.C. Hayes, & A.E Patla (Eds.) Biomechanics IX.B (PP. 458-463), champaign, IL: Human Kinetics.
- 5 Daporte, E., Van Gheliiwe, B., & Hebbelinck, M. (1990). A Three dimensional Cinematographical analysis of arm and rocket at inpact in tennis. In N. Berne & A. Cappozzo (Eds), Biomechanics of Human Movement: Application in rehabilitation, Sports and ergonomics (pp. 460 467). OH: Bertec.
- 6 Durey, A. (1987). Vers des activités didactiques de Mise au Point de Modeles de Physique avec des Micro. Ordinateurs, Exemple: trajectoires, Frappes et rebonds de balles en rotation. Toward didactic activities of Perfect Physical Models Using Micro - Computers. Example: Trajectories Strokes, and bounces or rotating balls. Thése 'détat en Sciences physiques. Université paris7.
- 7 Durey, A., & De Kermadec, G. (1984). Tous les Coupe du Tennis et Leurs effects [All the Lennis Stokes and the effects of Spins]. Sciences et Vie Hors Série, Le Sport au quotidcen, 44 - 69.
- 8 Durey, A., & Orfeuil. F. (1989) Spins and Trajectories in Table Tennis, Table Tennis Scientist's Conference, Rome.

- 440

- 9 FFT/ INSEP (Producer). & De Kermadec, G. (Director). (1985) Roland Garros avec Martina Narratilova [Film]. Paris: INSEP.
- 10 FFT/ INSEP & (1986). Roland Garros avec John Mc Enroe [Film]. Paris: INSEP.
- 11 Grainger., J., Norman, R., Winter, D., & Bobet, J. (1983) Doyto day reproducibility of Selected biomechanical Variables Calculated From Film data. In Hideji Matsui & Kando Kobayashi (Eds) Biomechanics IVB (pp. 1238 - 1247). Champaign, IL: Human Kenetics.
- 12 Griner, G.M (1984). A Parameric Solution to elastic Pole Vaulting Pole Problem. Journal of Applied Mechanics, 51, 409 - 414.
- 13 Hubbard, M. (1980) Dynamics of the Pole Vault, Journal of Biomechanics, 13 (11), 965 976.
- 14 Marey, M. M., & Demeny. G (1885) Locomation Humaine, Mécanisme du Saut [Human Motion, Jumping Mechanism]. Comptes rendus des Séances de 'Lacademie des Sciences. Paris: Gauthier Villars.
- 15 Mc Ginnis, P.M. (1983). the inverse dynamics Problem in Pole Vaulting. Medicine & Science in Sports & Exercise, 15, 112.
- 16 Mc Ginnis, P.M. (1987). Performance Limiting Factors in the pde Vault. Medicine & Science & Exercise, 19, 518.
- 17 Mc Ginnis P.M. & Bergman, L.A. (1986). An Inverse dynamic analysis of the Pole Vault. International Journal of Sport Biomechanics, 2, 188 201.
- 18 Neal R. J., & Wilson, B. D (1985). 3 D Kinematics and Kinatics of the golf Swing. International Journal of Sport Biomachanics, 1, 221 -232.
- 19 Ramanantsoa, M.M., Ripoll, H. & Durey A(1991) Analyse du Mouvement et neuroscies: bilan et reflexions de recherches (Analysis of Movement and neuroscience results and research notes). Acts du

- Collaque national, Me thodologie et étude du Mouvement en Sport, ergonomie et Clinique.
- 20 Ripoll., H. (1989) Uncertainty and Visual Startegies in table Tennis, Perceptual and Motor Skills, 1989c. (68), 507 - 512.
- 21 Schleihauf, R.E., Gray, L., & Derose, J. (1983) Three dimensional analysis of hand Propulsion in. the Sprint Front Crawl Stroke. in. A.P. Holander, P. Huijing & G de Groot (Eds), International Series on Sport Saences. Vol- 14 (pp. 173 191).
- 22 Takei, Y. (1989). Techniques Used by elite Mal Gymnasts Perfarming a hand Spring Vault at the 1987 pan American games. International Journal of Sport Biomechanics, 5, 1 25.
- 23 Van Gheliiwe, B. De Ruysscher, I. & Graenhals, J. (1987) Pronation and endorotation of the rocket arm in a tennis Serve. in J. Bengt (Eds) Biomechanics VIB (pp. 667 673) Champaign, IL: Human Kinetics.
- 24 Van Gheliiwe, B., & Hebbelinck, M. (1985). the Kinamatics of the Service Movement in Tennis: A Three dimensional Cinematographic approach. in D.A. Winter, R.W. Norman R.P. Wells, K.C. Hayes, & A.E Patla (Eds), Biomechanics, XIB (pp. 521 526). Champaign, IL: Human Kinetics.
- 25 Vaslin, P. Couetard, Y. & Cid, M. (1993), July). Three dimensional dynamic analysis of the Pole Valt. Paper Presented at International Society of Biomechanics Congress. Paris.
- 26 Vaughan, C.L.A (1981). A Three dimensional analysis of the Forces and Forgues applied by a golfer during the downswing. In A. Morecki Fidelus, K. Kedzior, & A. Wif (Eds) Biomechanics IIIB (pp. 325 331) Baltimore: University Park Press.
- 27 Winter, D.A(1979) Biomechanics of human Movement. Toronto: Wiley.

- 28 Yeadon, M.R (1990a). the Simulation of aeial Movement I. the determination of orientation angles form Film data. Journal of Biomechanics, 23 (1), 59 66.
- 29 Yeadon, M.R. (1990b) the Simulation of aerial Movement 11 A mathematical inertia Model of the human body. Journal of Biomechanics 23 (1), 67 - 74.
- 30 Yeadon, M.R. (1990c). the Simulation of aerial Movement III. the determination of the angular Momentum of the human body. Journal of Biomechanics, 23 (1), 75 - 83.
- 31 Yeadon., M.R. Atha, J., & Hales, F.D. (1990) the Simulation of aerial Movement IV. Acomputer Simulation Model. Journal of Biomechnics, 23 (1): 85 89.

الرموز والمصطلحات

C.C.D. (charge - Coupled Device)	جهاز شحن مزدوج
C.V. (Cross - Validation)	تناقض المصداقية
D.L.T (Direct Linear Formation)	ا الانتقال الخطى المباشر
D.M.A. (Dedicated Direct Memory access).	مدخل الذاكرة المباشر
F.C.S (Fixed Coordination System)	النظام الإحداثي الثابت
G.U.I.s (Graphical User Interfaces)	استخدام الرسم البيانى المتداخل الأوجه
G.C.V. (General Contrast to ordinary Cross - Validation)	التباين العام المألوف لتناقض المصداقية
H.S.M.s (High Speed Monitors)	شاشات العرض السريعة
H.D.T.V (High Difinition Television)	الارتفاع بمواصفات التليفزيون
I.H.A.(the Instantaneous helical axis)	المحور اللولبي اللحظي
M.O.S. (Melal Oxide Semiconducor)	نصف موصل الأوكسيد
N.M. (Namber of Markes)	عدد العلامات
N.T.V. (Namber of Sensors)	عدد أجهزة الرصد
R.M.S. (Root Mean Sguare)	متوسط مربع الجذر التربيعي
R.M.S.E (Root Mean Square Error)	خطأ متوسط مربع الجذر التربيعي
SNR (Signal - Noise Ratio)	معدل إشارة التشويش
S.R. (Sampling Rate).	معدل الاختيارات والعينة

معجم

	A		- .					
Abduction	التقريب	Allocate	يوقع					
Active Marker باشرة	علامات غير مب	Analogy	قياس					
Addressable	موجهة	Annotated	علق على شرح					
Adduction	التبعيد	Arhitecture	أسلوب البناء					
Adversary	مقاومة، معاكسر	Assigned	خصص ، عین					
_		Avalable	مفتاح					
	В							
ية Basic Processing	المعاملة الاساس	Blod	نقطة حبر					
Blanking	فراغ	Broad Cast	يذيع، ينشر					
	\boldsymbol{c}							
Capturing	حساب	Consequences	نتيجة، عاقبة					
Capable	قادر على	Considered	مدروس					
Centroids	المركز المتوسط	Criterion	محك، عيار					
Compro mise	يسوى	Coaxial	الكامل ذو الموصلين					
نط Constraints	حبس، تقييد، ضغ	Corrspodence	مشاكل العلاقة					
		Problem						
D								
Data Acquisition	أسلوب اكتساب	Degradation	يزيل رتبة. تعرية					
	البيانات	Deliver	حور .					
Data Processing	معاملة البيانات	Digitze	رقمية					
Damaging	عطل، ضرر	Digit	عدد، أو رقم					
Damping	إضعاف	Dipict	لصق، يصور					
Decade	العشر سنوات	Discard	يطرح					
Dectrogniometer	المنقل الآلي	Disruptive	تعطیل، ممزق					
-	ں ق							

- 404

			\boldsymbol{E}			
	Encoded	يحول إلى رموز		Evalved	وَلَدَ	
		تلغرافية		Exploit	يشتغل	
	Entities	وجود		Exposure	إظهار، كشف	
	Eguivalent	متكافئ		Extension	البسط	
	Essentially	جوهري		External Rotation	الدوران للخارج	
			F			
	Flexion	التواء		Fossa	تجويف	
	Force Coupl	اذدواج القوة		Force estimation	تقدير القوة	
	Forced Movement	حركة قسرية		Frequency	تكرار	
	Gain	يربح، يكسب	\boldsymbol{G}			
	Gain	يربح، يكسب		Grabber	يمسك، ينتزع	
	Hardware	قرص التشغيل	H	Hue	تدرج اللون	
	Haul (;	المسافة التي ينتا		1140	ندرج اللوك	
	U	منها حمل ما				
		- 0 40				
	Illumination	إضاءة	I	Implies	مذكور ضمنا	
	Inbeded	تشرب		Implementation	أدو ات	
	Independent	مستقل		Improvement	تحسين، تهذيب	
	Illumination	إضاءة		Integer	يى ، يحول التيار	
•	مراء (IR) Infrared	أشعة تحت الح		Interscet	ير - يو يشطر، يقطع	
				Internal Rotation	الدوران للداخل	
			M			
	Marker Assign-	مهمة العلامات		Merge	يندمج	
	ment			ئىكة Mesh	ت ب تعشيق، عيون البا	
	Marker Detector للامة	الكاشف عن الع		Model	نموذج	
					J. J. J.	

Occlude Occurs Opteoelectronic الوسائل الاكترونية مجداف، طارة البدال Preferable Paddle تفضل علامات مباشرة Preoccupation إنشغال كامل Passive Markers استعداد مسبق Perspective الرسم المنظوري Provisions الصمامات الثنائية Pseudo- top قمة كاذبة Photodiods Predictive تنبؤى أحكام، دقة Precision قبل التجميع Representation تصوير، تمثيل Reassemble Recognition تميز، تعرف Response قبول، موافقة العلامات العاكسة -Retroreplectiv Mark Registration تسجيل، تقييد Repeatable القدرة على التكرار (الارتجاعية) Reproducibility القدرة على الانتاج منشار، قطع بمنشار Spatioteporal الزمان المكانى Saw Strateagtes استراتيجية Saw رأى، نظر رسم تخطيطي خط أو شريط Stripes Scheme دقة النظام Sensor جهاز الرصد System Accuracy Signify يدل على، تعنى Systems Limitations حدود النظم System Precision وضوح النظام أسلوب معاملة Signal Processing الإشارة مكان، موقع Site Sliced شريحة

T								
Three Dimensional	الأبعاد الثلاثة	Transformation	الانتقال					
Threshold Detection	الكشف المبدئي	Torso	الجذع					
Tridimensional	ثلاثي أبعاد							
$oldsymbol{V}$.								
Validation	مصداقية	Visible	منظور					
Video Camera	كاميرا الفيديو	Viscous	لزج					

رقم الإيداع ٩٨/٣٤٤٦ I.S.B.N 977 - 294 - 061- 2

طبع آهسون ٤ عطفة فيروز - متفرع من ش إسماعيل أباظة - لاظوغلى تليفون: ٣٥٤٤٥١٧ - ٣٥٤٤٣٥٣